ANALISIS PERBANDINGAN PERFORMA ARSITEKTUR VGG16 DAN RESNET50 DALAM KLASIFIKASI MULTI-KELAS PADA PENYAKIT TANAMAN PADI BERBASIS CONVOLUTIONAL NEURAL NETWORK (CNN)

SKRIPSI

DISUSUN OLEH

KRISNA ADITYA NPM. 2109020048



PROGRAM STUDI TEKNOLOGI INFORMASI
FAKULTAS ILMU KOMPUTER DAN TEKNOLOGI INFORMASI
UNIVERSITAS MUHAMMADIYAH SUMATERA UTARA
MEDAN

2025

ANALISIS PERBANDINGAN PERFORMA ARSITEKTUR VGG16 DAN RESNET50 DALAM KLASIFIKASI MULTI-KELAS PADA PENYAKIT TANAMAN PADI BERBASIS CONVOLUTIONAL NEURAL NETWORK (CNN)

SKRIPSI

Diajukan sebagai salah satu syarat untuk memperoleh gelar Sarjana Komputer (S.Kom) dalam Program Studi Teknologi Infomasi pada Fakultas Ilmu Komputer dan Teknologi Informasi, Universitas Muhammadiyah Sumatera Utara

KRISNA ADITYA NPM. 2109020048

PROGRAM STUDI TEKNOLOGI INFORMASI
FAKULTAS ILMU KOMPUTER DAN TEKNOLOGI INFORMASI
UNIVERSITAS MUHAMMADIYAH SUMATERA UTARA
MEDAN

2025

LEMBAR PENGESAHAN

Judul Skripsi

: ANALISIS

PERBANDINGAN

PERFORMA

ARSITEKTUR VGG16 DAN RESNET50 DALAM

KLASIFIKASI MULTI-KELAS PADA PENYAKIT

TANAMAN PADI BERBASIS CONVOLUTIONAL

NEURAL NETWORK (CNN)

Nama Mahasiswa

: KRISNA ADITYA

NPM

: 2109020048

Program Studi

: TEKNOLOGI INFORMASI

Menyetujui Komisi Pembimbing

Mhd. Basri, S.Si., M.Kom. NIDN. 0111078802

Ketua Program Studi

Fatma Sari Hutagalung, SKom., M.Kom.

NIDN. 0117019301

Dr. Al-Khowarizmi, S.Kom., M.Kom.

MDN. 0127099201

PERNYATAAN ORISINALITAS

ANALISIS PERBANDINGAN PERFORMA ARSITEKTUR VGG16 DAN RESNET50 DALAM KLASIFIKASI MULTI-KELAS PADA PENYAKIT TANAMAN PADI BERBASIS CONVOLUTIONAL NEURAL NETWORK (CNN)

SKRIPSI

Penulis menyatakan bahwa karya tulis ini adalah hasil karya sendiri, kecuali beberapa kutipan dan ringkasan yang masing-masing disebutkan sumbernya.

Medan, 5 Mei 2025

Yang membuat hernyataan

Krisna Aditya

NPM. 210902048

PERNYATAAN PERSETUJUAN PUBLIKASI KARYA ILMIAH UNTUK KEPENTINGAN AKADEMIS

Sebagai sivitas akademika Universitas Muhammadiyah Sumatera Utara, penulis bertanda tangan dibawah ini:

Nama : KRISNA ADITYA

NPM 2109020048

Program Studi : TEKNOLOGI INFORMASI

Karya Ilmiah : Skripsi

Demi pengembangan ilmu pengetahuan, menyetujui untuk memberikan kepada Universitas Muhammadiyah Sumatera Utara Hak Bebas Royalti Non-Eksekutif (Non-Exclusive Royalty free Right) atas penelitian skripsi penulis yang berjudul:

ANALISIS PERBANDINGAN PERFORMA ARSITEKTUR VGG16 DAN RESNET50 DALAM KLASIFIKASI MULTI-KELAS PADA PENYAKIT TANAMAN PADI BERBASIS CONVOLUTIONAL NEURAL NETWORK (CNN)

Beserta perangkat yang ada (jika diperlukan). Dengan Hak Bebas Royalti Non-Eksekutif ini, Universitas Muhammadiyah Sumatera Utara berhak menyimpan, mengalih media, memformat, mengelola dalam bentuk database, merawat dan mempublikasikan Skripsi penulis ini tanpa meminta izin dari penulis selama tetap mencantumkan nama penulis sebagai penulis dan sebagai pemegang dan atau sebagai pemilik hak cipta.

Demikian pernyataan ini dibuat dengan sebenarnya.

Medan, 5 Mei 2025

Yang membuat pernyataan

Krisna Adıtya

NPM. 2109020048

RIWAYAT HIDUP

DATA PRIBADI

Nama Lengkap : Krisna Aditya

Tempat dan Tanggal Lahir : Sarang Ginting, 17 Juli 2003 Alamat Rumah : Jl. Gunung Sibayak No.2

Telepon/Faks/HP : +6281264631850

E-mail : ozwellespencer49@gmail.com

Instansi Tempat Kerja : -

Alamat Kantor : -

DATA PENDIDIKAN

SD : Negeri 100707 Perkebunan Batang Toru TAMAT: 2015 SMP : SMP Negeri 1 Batang Toru TAMAT: 2018

SMA: SMA Negeri 1 Batang Toru TAMAT: 2021

KATA PENGANTAR



Assalamualaikum Warohmatullahi Wabarokatuh

Puji dan syukur penulis panjatkan ke hadirat Allah SWT yang telah melimpahkan rahmat dan karunia-Nya sehingga penulis dapat menyelesaikan skripsi yang berjudul "ANALISIS PERBANDINGAN PERFORMA ARSITEKTUR VGG16 DAN RESNET50 DALAM KLASIFIKASI MULTI-KELAS PADA PENYAKIT TANAMAN PADI BERBASIS CONVOLUTIONAL NEURAL NETWORK (CNN)" dengan baik dan tepat waktu. Skripsi ini disusun sebagai salah satu syarat untuk memperoleh gelar Sarjana pada Program Studi Teknologi Informasi. Penulis menyadari bahwa penyelesaian skripsi ini tidak terlepas dari bantuan, bimbingan, dan dukungan dari berbagai pihak. Oleh karena itu, penulis ingin menyampaikan ucapan terima kasih yang sebesar-besarnya kepada:

- Terutama dan yang paling utama Kepada kedua orang tua tercinta ayahanda Saleh Wijaya dan Ibunda Soyem yang selalu memberikan ketulusan doanya dan juga memberikan dukungan baik secara moril maupun materil, juga motivasi sehingga penulis dapat menyelesaikan Skripsi ini. Semoga Allah SWT senantiasa melimpahkan kesehatan, keberkahan, dan kebahagiaan kepada kedua orang tua penulis, Amiin.
- Bapak Prof. Dr. Agussani, M.AP., Rektor Universitas Muhammadiyah Sumatera Utara (UMSU), Semoga Allah SWT senantiasa melimpahkan kesehatan, keberkahan, dan kebahagiaan kepada beliau dan keluarga, Aamiin.
- 3. Bapak Dr. Al-Khowarizmi, S.Kom., M.Kom. Dekan Fakultas Ilmu Komputer dan Teknologi Informasi (FIKTI) UMSU, Semoga Allah SWT

- senantiasa melimpahkan kesehatan, keberkahan, dan kebahagiaan kepada beliau dan keluarga, Aamiin.
- 4. Ibu Fatma Sari Hutagalung, S.Kom., M.Kom. Ketua Program Studi Teknologi Informasi, Semoga Allah SWT senantiasa melimpahkan kesehatan, keberkahan, dan kebahagiaan kepada beliau dan keluarga, Aamiin.
- 5. Bapak Mhd. Basri, S.Si., M.Kom. sebagai Sekretaris Program Studi Teknologi Informasi selaku dosen pembimbing yang tidak hanya telah membimbing penulis dalam penyusunan skripsi ini, tetapi juga telah menjadi sosok orang tua kedua bagi penulis selama menempuh pendidikan. Kesabaran, dedikasi, dan kebijaksanaan beliau dalam membimbing penulis melampaui tugas sebagai seorang dosen. Beliau tidak hanya mengarahkan penulis dalam aspek akademis tetapi juga memberikan nasihat kehidupan yang sangat berharga. Di saat-saat sulit, beliau selalu hadir memberikan motivasi dan kepercayaan yang membuat penulis tetap bertahan dan berjuang. Bimbingan dan kasih sayang yang beliau berikan akan selalu penulis kenang dan menjadi bekal berharga dalam perjalanan hidup penulis selanjutnya. Semoga Allah SWT senantiasa melimpahkan kesehatan, keberkahan, dan kebahagiaan kepada beliau dan keluarga, Aamiin.
- 6. Kepada Abang dan Adik penulis yang senantiasa selalu memberikan dukungan dan doa kepada penulis hingga saat ini.
- 7. Ucapan terima kasih yang istimewa penulis berikan kepada Nadia Aprilia Siregar, partner yang selalu setia mendampingi dalam setiap langkah perjalanan penulis selama menempuh pendidikan ini. Kehadirannya memberikan kekuatan dan inspirasi yang tak terhingga di saat penulis menghadapi berbagai tantangan dalam penyelesaian skripsi ini. Kesabaran, pengertian, dan dukungan moralnya menjadi sumber semangat yang tidak pernah padam. Di tengah kesibukan dan tekanan, yang selalu hadir memberikan motivasi, mendengarkan keluh kesah, serta memberikan sudut pandang baru yang mencerahkan. Terima kasih atas waktu yang dikorbankan, perhatian yang tulus, dan kasih sayang yang selalu diberikan.

- Semoga apa yang telah kita lalui bersama menjadi awal dari perjalanan indah di masa depan, Aamiin.
- 8. Kepada teman teman yang mungkin masih Bersama penulis terkhususnya Wahyu Purnomo terima kasih karna telah memberikan pengalaman selama penulis menempuh Pendidikan. Harapan penulis semoga kita dipertemukan di waktu yang Allah kehendaki nanti, Aamiin.
- 9. Semua pihak yang terlibat langsung atau tidak langsung yang tidak dapat penulis ucapkan satu per satu yang telah membantu dalam penyelesaian skripsi ini semoga Allah membalas dengan kebaikan, Aamiin.

"The Measure of A Man is What He Does With Power"
-Plato

ANALISIS PERBANDINGAN PERFORMA ARSITEKTUR VGG16 DAN

RESNET50 DALAM KLASIFIKASI MULTI-KELAS PADA PENYAKIT

TANAMAN PADI BERBASIS CONVOLUTIONAL NEURAL NETWORK

(CNN)

ABSTRAK

Penelitian ini bertujuan untuk mengidentifikasi penyakit tanaman padi

menggunakan metode deep learning dengan membandingkan arsitektur VGG16

dan ResNet50. Dataset yang digunakan terdiri dari 2042 gambar citra penyakit

tanaman padi dari 4 kategori yaitu Brown spot disease, Blast disease, False smut

disease, Bacterial leaf blight disease, dan Healthy. Metode penelitian meliputi

pengumpulan dataset, pra-pemrosesan data, pembangunan model, pelatihan, dan

evaluasi. Hasil penelitian menunjukkan bahwa arsitektur ResNet50 memiliki

akurasi lebih tinggi sebesar 95,7% dibandingkan VGG16 yang mencapai 93,2%.

Tingkat presisi dan recall untuk ResNet50 juga lebih unggul pada semua kategori

penyakit. Penelitian ini berkontribusi pada pengembangan sistem deteksi dini

penyakit tanaman padi yang dapat membantu petani mengurangi kerugian hasil

panen.

Kata Kunci: Deep learning, klasifikasi penyakit padi, CNN, ResNet50, VGG16

viii

COMPARATIVE ANALYSIS OF THE PERFORMANCE OF VGG16 AND RESNET50 ARCHITECTURES IN MULTI-CLASS CLASSIFICATION OF RICE PLANT DISEASES BASED ON CONVOLUTIONAL NEURAL NETWORKS (CNN)

ABSTRACT

This study aims to identify rice plant diseases using deep learning methods by comparing the VGG16 and ResNet50 architectures. The dataset used consists of 2042 images of rice plant diseases from 4 categories, namely brown spot disease, blast disease, false smut disease, bacterial leaf blight disease, and healthy. The research methods included dataset collection, data pre-processing, model development, training, and evaluation. The results showed that the ResNet50 architecture had a higher accuracy of 95.7% compared to VGG16, which achieved 93.2%. The precision and recall rates for ResNet50 were also superior in all disease categories. This research contributes to the development of an early detection system for rice plant diseases that can help farmers reduce crop yield losses.

Keywords: Deep learning, rice disease classification, CNN, ResNet50, VGG16

DAFTAR ISI

DAF'	TAR ISI	X
DAF'	TAR TABEL	xii
DAF'	TAR GAMBAR	xiii
BAB	I	2
PEN	DAHULUAN	2
1.1	Latar Belakang Masalah	2
1.2	Rumusan Masalah	9
1.3	Batasan Masalah	9
1.4	Tujuan Penelitian	10
1.5	Manfaat Penelitian	10
BAB II	LANDASAN TEORI	12
2.1	Deep Learning	12
2.1	Convolutional Neural Network (CNN)	14
2.3	Visual Geometry Group (VGG16)	27
2.4	Residual Network (ResNet50)	32
2.5	Transfer Learning	38
2.6	Perbandingan CNN, VGG16, dan ResNet50	40
2.7	Python	41
2.8	Tensorflow	42
2.9	Keras	43
2.10	Anaconda Python	44
2.11	Penelitian terdahulu	44
BAB II	I METODOLOGI PENELITIAN	60
3.1	Pendekatan Penelitian	60
3.2	Populasi dan sampel penelitian	60
3.3	Metode Pengumpulan Data	61
3.2.1	Data Sekunder	61
3.2.2	Studi Pustaka	61
3.4	Prosedur penelitian	61
3.5	Perangkat penelitian	64
3.6	Waktu penelitian	66
BAB IV	/ HASIL DAN PEMBAHASAN	67

4.1	Hasil Penelitian	67
4.2	Pembahasan	96
4.2.1	Analisis Perbandingan Model	96
4.2.2	Analisis Kesalahan (Error Analysis)	97
4.2.3	Interpretasi Hasil	97
BAB	V	100
KESI	IMPULAN	100
5.1	Kesimpulan	100
5.2	Saran	101
DAFTA	AR PUSTAKA	102
LAMPI	IRAN	106
Sourc	ee Code	106
SK P	embimbing Skripsi	112
Bimb	ingan Proposal	113
Bimbingan Skripsi		114
LoA Jurnal		

DAFTAR TABEL

Tabel 2.1 Algoritma Convolutional Neural Network	14
Tabel 2.2 Penelitian Terdahulu	50
Tabel 3.1 Kebutuhan Perangkat Keras	63
Tabel 3.2 Kebutuhan Perangkat Lunak	64
Tabel 3.3 Waktu Penelitian	65
Tabel 4.1 Perbandingan antara kedua model	83

DAFTAR GAMBAR

Gambar 2.1 Struktur Deep Learning
Gambar 2.2 Arsitektur Convolutional Neural Network
Gambar 2.3 Max Pooling
Gambar 2.4 Arsitektur VGG16
Gambar 2.5 Arsitektur ResNet50
Gambar 2.6 Transfer Learning
Gambar 2.7 Tensorflow API
Gambar 3.1 Prosedur Penelitian
Gambar 4.1.1 Import Library
Gambar 4.1.2 Pemrosesan Dataset
Gambar 4.1.3 Data Pre-processing
Gambar 4.1.4 Proses Encoding
Gambar 4.1.5 Normalisasi Data71
Gambar 4.1.6 Mengkategorikan Gambar
Gambar 4.1.7 Menampilkan Gambar Berdasarkan Kelas
Gambar 4.1.8 Training test_split
Gambar 4.1.9 Augmentasi Data
Gambar 4.1.10 Model ResNet5074
Gambar 4.1.11 Optimasi training model
Gambar 4.1.12 Hasil epochs
Gambar 4.1.13 Hasil epochs kedua
Gambar 4.1.14 Model VGG16
Gambar 4.1.15 Optimasi training VGG1679
Gambar 4.1.16 Hasil epochs VGG1680
Gambar 4.1.17 Hasil epochs kedua VGG1681
Gambar 4.1.18 Hasil evaluasi model ResNet5082
Gambar 4.1.19 Hasil Evaluasi model VGG1683
Gambar 4.1.20 Waktu interfensi ResNet5084
Gambar 4.1.21 Waktu interfensi VGG1685
Gambar 4.1.22 Confusion matrix85
Gambar 4.1.23 Hasil confusion matrix ResNet5086

Gambar 4.1.24	Hasil confusion matrix VGG16	88
Gambar 4.1.25	Classification report	90
Gambar 4.1.26	Classification report ResNet50	91
Gambar 4.1.27	Grafik ResNet50	92
Gambar 4.1.28	Classification report VGG16	93
Gambar 4.1.29	Grafik VGG16	94

BABI

PENDAHULUAN

1.1 Latar Belakang Masalah

Padi (*Oryza Sativa*) merupakan tanaman pangan yang memiliki peran vital dalam menjaga ketahanan pangan global, khususnya di kawasan Asia. Tanaman padi sangat penting untuk kehidupan orang di Indonesia dan sebagian besar negara Asia lainnya. Beras adalah biji-bijian penting yang secara signifikan berkontribusi pada ketahanan pangan global selama setengah abad terakhir (Udayananda et al., 2022). Beras adalah sumber utama karbohidrat. Nasi telah melekat dalam budaya Indonesia sehingga banyak orang percaya bahwa mereka belum makan jika tidak mengonsumsi nasi, meskipun mereka telah mengonsumsi makanan lain. Fenomena serupa juga terlihat di negara-negara Asia lainnya seperti Tiongkok, India, Jepang, dan Korea, di mana beras adalah bagian penting dari makanan sehari-hari mereka. Selain berkontribusi pada kehidupan masyarakat Asia dalam hal pangan, padi memiliki makna sosial, ekonomi, dan bahkan politik. Ketersediaan dan harga beras sering kali menunjukkan stabilitas sosial dan ekonomi di banyak negara Asia, termasuk Indonesia. Pemerintah di berbagai negara Asia secara aktif mengawasi produksi, distribusi, dan harga beras untuk menjamin ketahanan pangan nasional. Namun pertanian padi menghadapi berbagai tantangan, dan salah satu yang paling signifikan adalah serangan penyakit, Serangan penyakit pada tanaman padi dapat menyebabkan kerugian besar bagi petani dan mengancam ketahanan pangan.

Beras adalah makanan pokok di banyak negara, terutama di Asia, penurunan produksi beras akibat serangan penyakit dapat menyebabkan kelangkaan pasokan

di pasar, yang pada gilirannya menyebabkan kenaikan harga beras. Kenaikan harga ini dapat mempengaruhi daya beli masyarakat, terutama kelompok berpenghasilan rendah. Kelangkaan beras dapat menyebabkan konflik sosial dan ketidakstabilan politik dalam keadaan ekstrim. Dari perspektif kesehatan masyarakat, upaya pengendalian penyakit tanaman yang menggunakan bahan kimia seperti pestisida dapat menimbulkan risiko kesehatan jika tidak dikelola dengan baik. Residu pestisida pada beras dapat membahayakan konsumen, sementara paparan langsung terhadap pestisida dapat membahayakan petani dan pekerja pertanian. Menurut Badan Pusat Statistik luas panen padi pada 2024 diperkirakan sekitar 10,05 juta hektare, mengalami penurunan sebanyak 167,25 ribu hektare atau 1,64 persen dibandingkan luas panen padi di 2023 yang sebesar 10,21 juta hektare. Produksi padi pada 2024 diperkirakan sebesar 52,66 juta ton GKG, mengalami penurunan sebanyak 1,32 juta ton GKG atau 2,45 persen dibandingkan produksi padi di 2023 yang sebesar 53,98 juta ton GKG. Produksi beras pada 2024 untuk konsumsi pangan penduduk diperkirakan sekitar 30,34 juta ton, mengalami penurunan sebanyak 757,13 ribu ton atau 2,43 persen dibandingkan produksi beras di 2023 yang sebesar 31,10 juta ton.

Penyakit pada tanaman padi memiliki dampak yang sangat signifikan terhadap sektor pertanian, khususnya di negara-negara yang mengandalkan padi sebagai tanaman pangan utama. Aspek produksi bukanlah satu-satunya aspek yang terkena dampak ini, itu mencakup aspek ekonomi, sosial, dan bahkan politik. Penyakit pada tanaman padi dapat secara langsung berdampak pada penurunan hasil panen, atau dalam kasus terburuk, kegagalan panen total. Ini tentu saja berdampak langsung pada pendapatan petani, yang sering kali sudah berada dalam

kondisi ekonomi yang tidak stabil. Selain itu, karena beras merupakan makanan pokok bagi sebagian besar penduduk di banyak negara Asia, penurunan produksi padi akibat serangan penyakit dapat mengancam ketahanan pangan nasional.

Penyakit tanaman padi merupakan ancaman besar bagi mata pencaharian petani. Serangan penyakit dapat mengurangi hasil panen secara signifikan, bahkan dapat menyebabkan kegagalan panen total. Permasalahan yang sering muncul adalah banyak tanaman padi yang rentan terhadap serangan hama dan penyakit selama masa tanam (Tamara et al., 2024). Beberapa hama dan penyakit yang dapat menyerang tanaman padi antara lain: *Bacterial leaf blight* (BLB), *False smut, Blast disease* dan *Brown spot*. Hal ini berdampak langsung pada pendapatan petani, yang sudah berada dalam kondisi ekonomi yang tidak stabil. Penyakit tanaman menyebabkan kerugian finansial karena tidak hanya berkurangnya hasil panen tetapi juga biaya produksi untuk mengendalikan penyakit, seperti membeli pestisida atau fungisida. Situasi seperti ini dapat menyebabkan petani terlilit hutang atau bahkan meninggalkan pekerjaan mereka. Akibatnya, kelangsungan hidup sektor pertanian padi dapat terancam.

Implementasi *machine learning* merupakan solusi yang tepat untuk mengidentifikasi penyakit pada tanaman padi. Salah satu algoritma yang populer dalam *Deep Learning* adalah *Convolutional Neural Network* (CNN) (Mudzakir & Arifin, 2022). Untuk menganalisa penyakit pada tanaman padi tersebut digunakan algoritma *Convolutional Neural Network* (CNN) menggunakan Arsitektur VGG16 dengan Arsitektur ResNet50. Kedua arsitektur tersebut akan dibandingkan performanya dengan melihat nilai akurasi, *Precision, recall*, dan *f1-score* dari

masing – masing model arsitektur. VGG16 adalah sebuah arsitektur deep learning yang memiliki 16 layers (Windiawan et al., 2021). VGG16 telah berhasil mencapai tingkat akurasi yang tinggi dalam pengenalan gambar pada berbagai tugas, termasuk dataset ImageNet, yang terdiri dari jutaan gambar dari ribuan kelas yang berbeda (Rizki & Marina, 2019). Pada penelitian lain perbandingan performa Arsitektur VGG16 dan VGG19 yang dilakukan oleh (Weny Indah Kusumawati & Adisaputra Zidha Noorizki, 2023)Model VGG16 mencapai tingkat akurasi sebesar 98% dengan waktu training selama 73,405 detik, VGG16 menunjukkan performa yang lebih baik dalam hal recall dan f1-score dibandingkan dengan VGG19 yang mencapai akurasi sebesar 97% dengan waktu training selama 78,098 detik. Dalam penelitian ini VGG16 terbukti memiliki performa yang lebih unggul dibandingkan dengan VGG19. Hal ini di perkuat pada penelitian yang dilakukan oleh (Adiningsi & Saputra, 2023.) dengan menggunakan Arsitektur VGG16 Hasil training menunjukkan akurasi sebesar 81,61% dan validasi akurasinya 90,74%. Pada uji data 50 citra daun mendapatkan hasil akurasi 92% dengan 46 data yang terklasifikasi dan 4 data citra yang salah terklasifikasi. Dari hasil penelitian terdahulu yang telah dilakukan sebelumnya cukup untuk menunjukkan bahwa Arsitektur VGG16 diklaim baik dalam melakukan klasifikasi citra.

Sementara itu ResNet adalah arsitektur *Convolutional neural network* (CNN) yang menggunakan *skip connections* (koneksi lompatan) yang membantu menyelesaikan masalah gradien yang hilang, sehingga mampu meningkatkan proses pelatihan dan dan pengujian (Memon et al., 2024). ResNet50 adalah pemenang tantangan ImageNet pada tahun 2015 dan umumnya digunakan sebagai tulang punggung untuk berbagai tugas *computer vision*. Model ini digunakan untuk

tugas – tugas klasifikasi gambar, oleh karena itu dipilihnya model ResNet50 ini untuk mengidentifikasi penyakit pada tanaman padi yang diharapkan keandalannya dalam segi akurasi dan performa dapat dibandingkan dengan model VGG16 yang telah disebutkan diatas. Pada penelitian yang dilakukan oleh (Memon et al., 2024a)model ResNet50 yang dilatih mencapai akurasi pelatihan 99,49% dengan precision 96,6% dan F1 score 99,5% yang dilakukan untuk identifikasi penyakit daun yang berbeda pada tanaman. Hal ini juga diperkuat pada penelitian yang dilakukan oleh (Elpeltagy & Sallam, 2021) pada model yang dilatih untuk memprediksi COVID-19 arsitektur ResNet50 mencapai nilai accuracy 97,7% pada dataset CT Scan dan 97,1% pada dataset X-Ray. Hasil ini menunjukkan bahwa modifikasi yang dilakukan oleh arsitektur ResNet50 kinerjanya meningkat dibandingkan dengan model aslinya.

Penelitian ini berfokus pada klasifikasi multi-kelas pada penyakit tanaman padi diantaranya yaitu bercak coklat (brown spot disease), bercak daun (blast disease), gosong palsu (false smut disease), hawar daun bakteri (bacterial blast disease) dan juga daun yang sehat. Terdapat perbedaan pada penelitian sebelumnya seperti pada penelitian yang dilakukan oleh (Habib Hawari et al., 2022) melakukan penelitian mengenai klasifikasi penyakit tanaman padi menggunakan Algoritma CNN menggunakan 3 jenis penyakit daun padi yaitu Brown spot disease, Bacterial blast disease, leaf brown. Adapaun penelitian yang dilakukan oleh (Mannepalli et al., 2024) melakukan penelitian untuk mendiagnosis penyakit pada tanaman padi menggunakan Arsitektur VGG16 dengan 3 kategori antara lain Bacterial leaf blight, Rice blast, Brown spot.

Penelitian ini memilih metode berbasis *Convolutional Neural Network* (CNN) dikutip dari (Habib Hawari et al., 2022) melalui (Oktaviana, et al., 2021) CNN telah dinilai menunjukkan keunggulan yang luar biasa dalam berbagai penerapan di dunia nyata dibandingkan dengan metode machine learning yang lain. Oleh karena itu CNN dipilih kemampuannya yang luar biasa untuk mengekstraksi fitur visual yang kompleks dari gambar daun tanaman padi yang terinfeksi penyakit. Berbeda dengan metode pembelajaran mesin konvensional seperti *Support Vector Machine* (SVM), *K-Nearest Neighbors* (KNN), atau *Random Forest* yang memerlukan ekstraksi fitur secara manual, tetapi CNN mampu belajar secara otomatis untuk mengidentifikasi pola visual yang terkait dengan berbagai jenis penyakit padi.

Arsitektur VGG16 dan ResNet50 dipilih untuk penelitian ini karena kedua model ini memenangkan tantangan *ImageNet* sebelumnya dengan memberikan hasil yang sama dalam hal akurasi prediksi (Dhankhar, n.d). Dengan desainnya yang sederhana, VGG16 menggunakan susunan lapisan konvolusi berurutan 3×3 kecil di seluruh jaringan untuk membangun representasi fitur yang kompleks (Mannepalli et al., 2024). Metode ini memungkinkan VGG16 dengan sangat baik menangkap detail tekstur dan pola lokal, yang sangat penting untuk menemukan gejala penyakit pada daun padi seperti bercak, perubahan warna, atau lesi.

Sementara, ResNet50 menyediakan solusi untuk masalah *vanishing* gradient yang sering terjadi pada jaringan neural yang sangat dalam melalui inovasi integration of residual connections atau biasa dikenal sebagai *skip-connections* yang merupakan inti dari ResNet50 (Murimi, 2023). Kemampuan ini

memungkinkan ResNet50 untuk belajar representasi daun padi yang terinfeksi yang lebih abstrak dan kompleks. Ini mungkin menawarkan kinerja yang lebih baik untuk situasi di mana perbedaan antar jenis penyakit sangat kecil atau ketika diperlukan pemahaman kontekstual yang lebih luas dari citra secara keseluruhan.

Ketersediaan model *pre-trained* yang merupakan model yang telah dilatih sebelumnya yang sudah ada dalam kumpulan yang besar seperti *ImageNet* (Memon et al., 2024). *ImageNet* merupakan dataset yang biasa digunakan untuk melatih arsitektur deep learning yang terditi dari jutaan gambar dari 1000 kelas yang berbeda (Rismiyanti & Luthfiarta, 2021). Mengingat keterbatasan jumlah data penyakit tanaman padi yang tersedia untuk pelatihan melalui *transfer learning*, kemampuan untuk mengidentifikasi pola dasar yang sudah dipelajari dari jutaan gambar umum dapat disesuaikan untuk kasus khusus identifikasi penyakit tanaman padi yang diharapkan dapat meningkatkan efisiensi pelatihan dan potensi performa model.

Perbandingan antara kedua arsitektur ini sangat penting untuk industri pertanian presisi teknologi yang semakin berkembang di Indonesia. Sangat penting untuk memiliki sistem deteksi penyakit otomatis yang tepat dan efektif mengingat pentingnya padi sebagai sumber makanan utama. Pada akhirnya, ini dapat menghasilkan peningkatan produktivitas pertanian padi di seluruh negara. Studi sebelumnya telah menunjukkan bahwa kedua arsitektur ini bekerja dengan baik dalam berbagai kasus klasifikasi citra.

Atas dasar pentingnya deteksi dini penyakit tanaman padi, maka penelitian ini membandingkan kinerja Arsitektur VGG16 dengan ResNet50 dapat membantu

memahami sejauh mana keunggulan masing-masing model dalam klasifikasi citra penyakit tanaman padi. Analisis ini bertujuan untuk memberikan wawasan yang signifikan tentang akurasi, efisiensi, dan waktu komputasi kedua Arsitektur tersebut, sehingga dapat membantu para peneliti, petani, dan praktisi teknologi. Dari fenomena tersebut maka penulis mengangkat topik penelitian yang berjudul "ANALISIS PERBANDINGAN PERFORMA ARSITEKTUR VGG16 DAN RESNET50 DALAM KLASIFIKASI MULTI-KELAS PENYAKIT TANAMAN PADI BERBASIS CONVOLUTIONAL NEURAL NETWORK (CNN)" Penelitian ini berkonsentrasi pada perbandingan dua algoritma yang populer di bidang deep learning untuk mengklasifikasikan gambar penyakit padi: VGG16 dan ResNet50.

1.2 Rumusan Masalah

Berdasarkan uraian dari latar belakang masalah, maka rumusan masalah yang menjadi pokok bahasan dalam penelitian ini adalah Bagaimana perbandingan performa arsitektur VGG16 dalam klasifikasi multi-kelas pada penyakit tanaman padi dengan arsitektur ResNet50 berbasis *Convolutional neural network* (CNN).

1.3 Batasan Masalah

Adapun batasan masalah dalam melakukan penelitian ini adalah :

- Data citra penyakit tanaman padi bersumber dari *Kaggle* rentang tahun 2023
 2024.
- 2. Jenis data citra penyakit padi yang digunakan yaitu bercak coklat (brown spot disease), bercak daun (blast disease), gosong palsu (false smut

disease), hawar daun bakteri (bacterial blast disease), dan daun sehat dengan pencahayaan normal.

1.4 Tujuan Penelitian

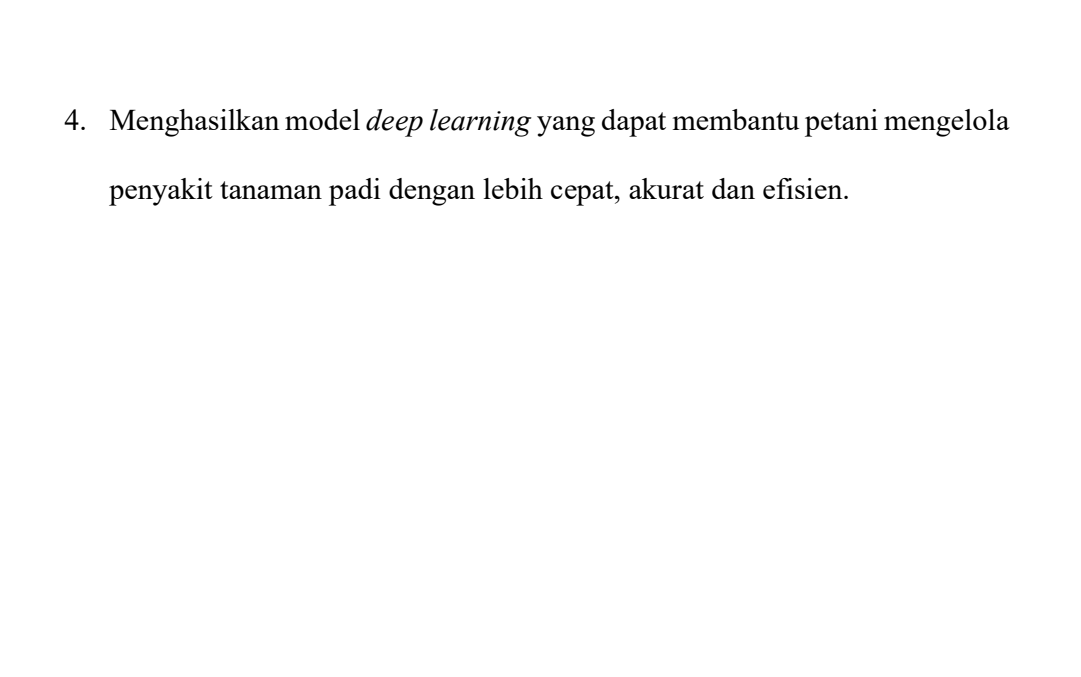
Penelitian ini bertujuan untuk:

- Mengetahui kinerja arsitektur VGG16 dan ResNet50 dalam mengklasifikasikan jenis-jenis penyakit pada tanaman padi menggunakan metode Convolutional Neural Network (CNN).
- Membantu menemukan arsitektur yang paling efektif dan efisien dalam klasifikasi penyakit pada tanaman padi.
- Mengetahui perbandingan metrik evaluasi seperti akurasi, presisi, recall,
 F1-score, dan waktu pemrosesan.
- 4. Membuat model *deep learning* yang lebih efisien untuk pengelolaan penyakit tanaman padi.

1.5 Manfaat Penelitian

Adapun manfaat dari penelitian ini yaitu:

- Memberikan informasi tentang kinerja model VGG16 dan ResNet50 dalam mengenali jenis penyakit pada tanaman padi.
- 2. Membantu menemukan model CNN yang efektif dan efisien untuk mendeteksi penyakit pada tanaman padi.
- Memberikan informasi perbandingan akurasi, presisi, recall, f1-score dan waktu pemrosesan sebagai dasar untuk memilih model yang paling baik dalam mendeteksi penyakit tanaman padi.



BAB II LANDASAN TEORI

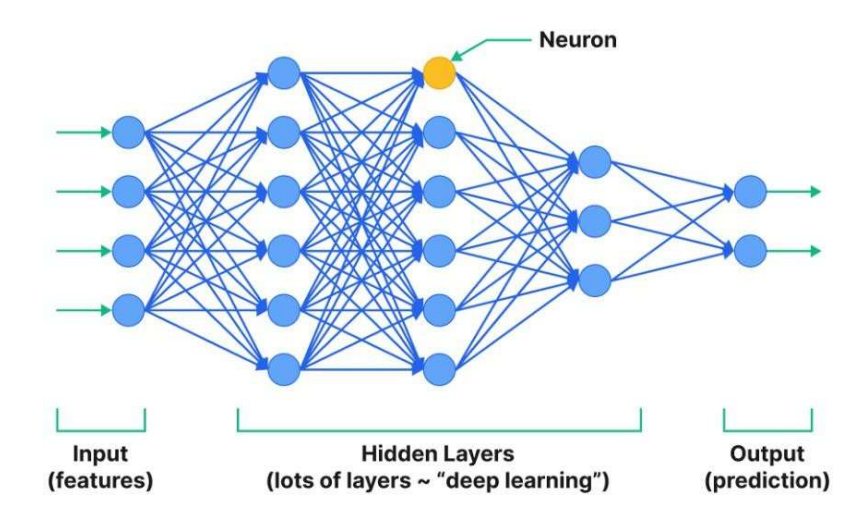
2.1 Deep Learning

Deep learning adalah sebuah cabang dari machine learning dan kecerdasan buatan yang saat ini dianggap sebagai teknologi inti dari Revolusi Industri Keempat (Industri 4.0) (Sarker, 2021). Jaringan saraf tiruan dalam deep learning terdiri dari banyak lapisan tersembunyi yang memungkinkan sistem untuk menangkap pola kompleks dalam data, baik itu gambar, suara, atau teks yang memungkinkan komputer untuk belajar dari banyak data dan membuat keputusan otomatis tanpa instruksi yang jelas dari manusia. Karena kemampuannya untuk belajar dari data, teknologi Deep Learning yang berasal dari Artificial neural network (ANN), telah menjadi topik hangat dalam konteks komputasi, dan diterapkan secara luas di berbagai bidang aplikasi seperti kesehatan, pengenalan visual, analisis teks, cyber security, dan masih banyak lagi.

Deep learning telah berkembang secara signifikan, terutama dalam menangani menangani dataset gambar dan mencapai akurasi yang tinggi. Dalam konteks deep learning, CNN memiliki kemampuan untuk mengidentifikasi fitur-fitur penting secara mandiri selama fase pelatihan, mengurangi ketergantungan pada campur tangan manusia untuk ekstraksi fitur (Sarker, 2021). Deep Learning telah menerima banyak perhatian dalam beberapa tahun terakhir yang lebih luas dalam kategori Machine Learning.

Tujuan *deep learning* adalah untuk memungkinkan pembelajaran dari ujung ke ujung, mencapai generalisasi yang kuat, meningkatkan akurasi, menskala kan *dataset* yang besar, dan mengotomatiskan ekstraksi fitur. Tujuan utamanya adalah

membuat sistem cerdas yang kuat yang dapat melakukan tugas-tugas dunia nyata yang kompleks dalam berbagai bidang seperti pemrosesan bahasa alami, pemrosesan gambar, pengenalan suara, dan *computer vision*. Secara umum *deep learning* memiliki tiga jenis struktur dari layer utama, berikut gambarannya:



Gambar 2.1 Struktur Deep Learning

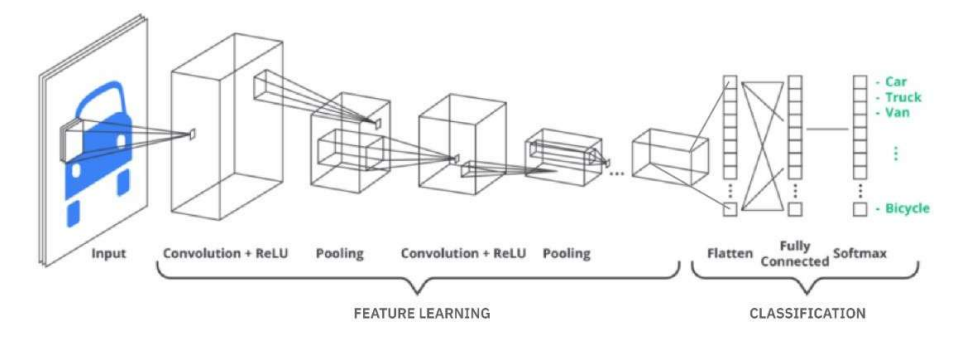
Sumber: https://www.dicoding.com

Struktur dari layer pertama dalam deep learning adalah Input Layer atau lapisan input yang berfungsi untuk menerima data atau input dari luar. Setiap neuron yang ada pada input layer merepresentasikan satu variabel atau fitur dari data yang masuk ke jaringan. Selanjutnya Hidden Layer atau lapisan tersembunyi terdiri dari neuron yang saling berhubungan. Neuron-neuron dalam hidden layer memproses input yang diterima dari layer sebelumnya dengan melakukan operasi matematika menggunakan bobot (weights) dan fungsi aktivasi tertentu. Hidden layer berfungsi untuk penyaring fitur yang membantu jaringan dalam mempelajari pola – pola yang kompleks pada data.

Output layer atau layer output adalah layer terakhir dalam deep learning yang berfungsi untuk menghasilkan output yang diproses sebelumnya oleh hidden layer. Jumlah neuron yang ada pada output layer bergantung pada tugas yang ingin diselesaikan. Dan untuk hasil akhir terdapat loss-layer yaitu komponen terakhir dalam jaringan syaraf yang berfungsi untuk menghitung kesalahan antara prediksi model dengan label yang sebenarnya.

2.1 Convolutional Neural Network (CNN)

Convolutional neural network (CNN) adalah jaringan syaraf yang dibuat untuk memproses data berbentuk gambar. CNN menggunakan lapisan konvolusi untuk mengekstrak fitur dari gambar. Menurut (Kairul Azmi, 2023), Convolutional Neural Network (CNN) adalah salah satu jenis arsitektur neural network yang biasa digunakan pada data image. CNN terdiri dari 2 lapisan arsitektur yaitu Feature Learning dan Classification layer berikut terlihat pada gambar dibawah:



Gambar 2.2 Arsitektur Convolutional Neural Network

Sumber: https://medium.com

Pada proses feature learning di mana Convolutional neural network (CNN) mengekstraksi pola-pola penting dari data masukan. Pada tahap ini terdapat

beberapa lapisan utama, termasuk *Convolution, ReLU*, dan *Pooling*. Lapisan *Convolution* mengidentifikasi pola sederhana, seperti garis atau tepi pada gambar, dengan fungsi aktivasi ReLU menghilangkan nilai negatif, sehingga jaringan hanya mempertahankan informasi yang relevan. Menggabungkan data juga mengurangi dimensi data, meningkatkan efisiensi jaringan, dan mengurangi sensitivitas terhadap perubahan posisi fitur dalam gambar. Proses ini diulang secara bertahap sehingga jaringan dapat mengenali pola yang lebih kompleks, seperti bentuk atau komponen tertentu dari suatu objek.

Tahap classification adalah tahap di mana fitur yang telah diekstraksi digunakan untuk menentukan kelas data input. Proses ini dimulai dengan lapisan Flatten, yang mengubah peta fitur tiga dimensi menjadi vektor satu dimensi yang dapat diproses lebih lanjut. Vektor ini kemudian dilanjutkan ke lapisan Fully Connected, yang menggabungkan data dari semua fitur untuk membantu membuat keputusan akhir. Akhirnya, lapisan Softmax menghasilkan probabilitas untuk setiap kelas. Kelas dengan probabilitas tertinggi digunakan sebagai hasil prediksi. Proses ini memastikan bahwa karakteristik yang telah dipelajari diolah menjadi klasifikasi yang tepat dan spesifik. Bagian dari lapisan CNN dijelaskan pada tabel 2.

Tabel 2.1 Algoritma Convolutional Neural Network

Tahap	Proses	Tujuan
Input layer	Data masukan berupa gambar dalam	Memberikan data awal
	bentuk matriks piksel (contoh: RGB	yang akan diproses oleh
	atau <i>grayscale</i>).	jaringan.

Convolution	Aplikasi filter (kernels) pada	Mendapatkan peta fitur
layer	gambar untuk mengekstraksi fitur	awal dari data masukan.
	sederhana seperti tepi atau pola.	
Activation	Fungsi aktivasi Rectified Linear	Membuat jaringan lebih
(ReLU)	Unit menghilangkan nilai negatif	efisien dengan
	dalam peta fitur dengan	mempertahankan nilai-
	mengubahnya menjadi nol.	nilai positif.
Polling	Mengurangi dimensi peta fitur	Mengurangi ukuran data
	melalui metode seperti Max Pooling	sambil mempertahankan
	(mengambil nilai maksimum dalam	informasi penting.
	area kecil).	
Iterasi	Proses Convolution, ReLU, dan	Membentuk representasi
	Pooling dilakukan beberapa kali	fitur yang lebih tinggi
	untuk mengekstraksi fitur yang	(misalnya, objek
	semakin kompleks.	lengkap).
Flatten	Peta fitur berdimensi tiga diubah	Menyiapkan data untuk
	menjadi vektor satu dimensi.	tahap klasifikasi.
Fully	Lapisan neuron yang)
		Mengolah fitur menjadi
connected	menghubungkan semua fitur yang	representasi akhir untuk
	telah diekstraksi, menggabungkan	prediksi kelas.
G C	informasi untuk membuat prediksi.	
Softmax	Fungsi aktivasi yang menghasilkan	Menentukan kelas akhir
	probabilitas untuk setiap kelas.	berdasarkan probabilitas
		tertinggi.
Output	Keluaran berupa prediksi kelas	Memberikan hasil akhir
	(contoh: mobil, truk, sepeda).	klasifikasi gambar.

a. Input Layer

Lapisan pertama jaringan saraf bertanggung jawab untuk menerima data,

seperti teks atau gambar, dalam bentuk yang diatur. Data yang dimasukkan

ke dalam CNN berupa matriks piksel; contohnya, matriks dua dimensi untuk

gambar grayscale atau matriks tiga dimensi untuk gambar berwarna

(dengan saluran RGB). Lapisan ini hanya mengirimkan data ke lapisan

berikutnya, seperti lapisan convolution, tetapi tidak melakukan perhitungan

atau pembelajaran.

b. Convolution layer

Pada lapisan ini, filter (atau kernel) digunakan untuk mengidentifikasi pola

sederhana seperti tepi, garis, atau tekstur pada data yang dimasukkan. Proses

dimulai dengan menggerakkan atau mengkonvolusi filter melalui gambar

input. Setiap kali filter "melalui" bagian gambar, ia menghitung nilai titik

produk antara filter dan area gambar yang sesuai. Nilai ini disimpan dalam

peta fitur, juga dikenal sebagai feature map. Feature Map dapat yang akan

dihasilkan didapat dari rumus berikut.

 $n_{out} = \binom{n_{in} - k + 2p}{s} + 1$ (2.1)

Keterangan:

 n_{out}

: Ukuran dari Feature Map.

 n_{in}

: Ukuran dari matrix masukan.

k

: Ukuran dari matrix filter.

17

p : Ukuran padding

s : stride

Berikut adalah rumus operasi konvolusi:

$$FM[i]_{j,k} = (\sum_{m} \sum_{n} N_{[j-m,k-n]} F_{[m,n]}) + bF$$
 (2.2)

Keterangan:

 $FM[i]_{j,k}$: Matrix dari *feature map* ke – i.

N : Matrix dari citra masukan.

F : Matrix dari filter konvolusi.

bF : Nilai bias pada filter.

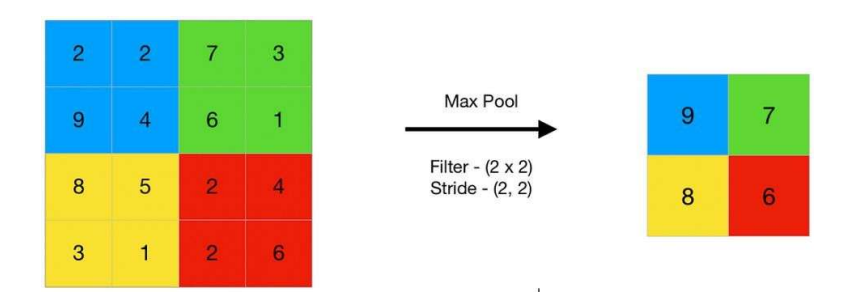
j, k : Posisi pixel pada matrix citra masukan.

m, n: Posisi pixel pada matrix filter konvolusi.

Setelah proses konvolusi selesai, langkah selanjutnya adalah menerapkan fungsi aktivasi menggunakan *Rectified Linear Unit* (ReLU). Pada tahap ini, fungsi ReLU akan memproses setiap piksel pada *feature map*, dengan mengubah nilai piksel yang kurang dari 0 menjadi 0, sementara nilai lainnya tetap dipertahankan. Fungsi ini dapat ditulis secara matematis sebagai $f(x) = \max(0, x)$. Perkenalan non-linearitas pada model adalah tujuan dari prosedur ini, yang akan memungkinkan jaringan untuk mempelajari representasi data yang lebih kompleks.

c. Pooling Layer

Fungsi dari pooling layer adalah untuk secara progresif mengurangi ukuran spasial representasi untuk mengurangi jumlah parameter dan komputasi dalam jaringan, dan karenanya juga mengontrol overfitting. Tidak ada pembelajaran yang terjadi pada lapisan penyatuan (LeChun, 1989). Pooling Layer digunakan untuk mengurangi ukuran feature map. Jenis pooling yang digunakan adalah max pooling, yang berarti memilih nilai maksimum pada suatu jendela tertentu. Proses ini mirip dengan layer convolution, yang menggeser jendela ke seluruh permukaan gambar, tetapi menggunakan jendela sebagai referensi untuk memilih nilai maksimum pada suatu area tertentu. Feature map dengan nilai maksimum yang dipilih akan dihasilkan sebagai output dari prosedur ini.



Gambar 2. 3 Max Pooling

d. Fully-connected layer

Fully-connected layer menggabungkan fitur yang diekstraksi dari lapisan sebelumnya, mengoptimalkan hubungan antar fitur, dan membuat keputusan akhir seperti regresi atau klasifikasi. Semua neuron di lapisan sebelumnya terhubung ke setiap neuron, memungkinkan model untuk

mempelajari pola yang kompleks. Selain itu, lapisan *fully-connected* berfungsi sebagai titik transisi ke lapisan *output*, di mana prediksi akhir dibuat berdasarkan data yang telah dipelajari.

e. Hidden layer

Proses *hidden layer* meliputi menerima *input* dari lapisan sebelumnya, menghitung kombinasi linear dengan bobot dan bias, menerapkan fungsi aktivasi untuk menangani non-linearitas, dan mengirimkan hasilnya ke lapisan berikutnya. *Hidden layer* mengolah data untuk mengekstraksi fitur kompleks dan menghasilkan representasi yang lebih informatif. Adapun rumus perhitungannya sebagai berikut:

$$z_{-}in_{i} = \sum_{i=1}^{n} X_{j} * V_{j,i} + V_{0,i}$$
 (2.3)

Dimana:

z_ini : Masukan untuk node hidden layer ke-i dengan jumlah node n

 X_i : Node X ke-j.

 $V_{j,1}$: Bobot V untuk X_j dan node Z_i .

Vo : Bias V untuk z_in_i.

Setelah perhitungan selesai, masukkan fungsi aktivasi ReLU untuk semua hasil perhitungan, dan nilai keluaran Z akan dihasilkan.

f. Output layer

Setelah proses di *hidden layer* selesai, *output* dikirim ke lapisan berikutnya atau ke lapisan *output* untuk menghasilkan prediksi. Adapun rumus perhitungannya sebagai berikut :

$$y_{i}n_{i} = \sum_{j=1}^{m} Z_{j} * W_{j,i} + W_{o,i}$$
 (2.4)

Dimana:

 $y_i i n_i$: Masukan untuk node hidden layer Z ke-I dengan jumlah node m.

 Z_i : node Z ke-j.

 $W_{j,i}$: Bobot W untuk Z_j dan node Y_i .

 W_0 : Bias W untuk y_in_i .

Setelah perhitungan selesai, masukkan fungsi aktivasi *Softmax* untuk semua hasil untuk mendapatkan nilai keluaran Y. Rumus yang digunakan untuk menghitung fungsi *softmax* adalah sebagai berikut :

$$Y_{i} = \frac{e^{y} - in_{i}}{\sum_{i=1}^{m} e^{M}}$$
 (2.5)

Dimana:

 Y_i : Keluaran untuk output layer ke-i.

 $y - in_i$: Masukan untuk node layer ke-i.

M: Semua masukan untuk output layer sejumlah m.

2.2.1 Backpropagation

Dalam pelatihan jaringan saraf, *backpropagation* adalah algoritma yang digunakan untuk mengoptimalkan bobot dan bias dengan meminimalkan kesalahan prediksi. Algoritma ini bekerja dengan menghitung gradien dari fungsi kehilangan terhadap parameter model (bobot dan bias). Kemudian, menggunakan teknik penurunan gradien atau variasinya, parameter tersebut diperbarui.

a. Forward pass

Pada tahap forward pass, *input X* diteruskan melalui jaringan untuk menghasilkan output prediksi. Misalnya, jika X adalah vektor input dan z_i adalah output dari neuron ke-i di layer output, maka output dari neuron tersebut dapat dihitung sebagai:

$$Z_i = \sum_j W_{ji} x_j + b_i \tag{2.6}$$

Dimana:

 W_{ji} : bobot yang menghubungkan neuron j di layer

sebelumnya dengan neuron i di layer output,

 b_i : bias pada neuron ke-i,

 x_i : output dari neuron sebelumnya.

Untuk mendapatkan probabilitas kelas, setelah menghitung z_i fungsi aktivasi softmax diterapkan pada output:

$$Y_i = \frac{e^{zi}}{\sum_k e^{zi}} \tag{2.7}$$

Di mana Y_i adalah kemungkinan untuk kelas ke-i, dan z_k adalah output logit untuk semua kelas. Pada tahap ini, jaringan memperkirakan kemungkinan untuk setiap kelas.

b. Menghitung loss (fungsi loss)

Setelah mendapatkan output probabilitas Y_i dari softmax, langkah berikutnya adalah menghitung loss atau kesalahan prediksi menggunakan fungsi categorical cross-entropy:

$$L = -\sum_{i} t_{i} \log(Y_{i})$$
 (2.8)

Dimana:

- Nilai target kelas ke-i adalah t_i , yang merupakan satu-hot encoding label kelas yang benar. Dengan kata lain, jika kelas benar adalah kelas 2, maka $t_2 = 1$, dan jika kelas lain adalah $t_i = 0$.
- Y_i adalah probabilitas prediksi untuk kelas ke-i.

c. Backward pass

Setelah melakukan forward pass dan menghitung *loss*, langkah berikutnya adalah backward pass. Algoritma *backpropagation* digunakan untuk menghitung gradien dari fungsi *loss* terhadap semua bobot dan bias dalam

jaringan. *Chain rule*, atau aturan rantai, digunakan dalam proses ini untuk menyebarkan gradien kesalahan dari lapisan *output* ke lapisan sebelumnya.

Menghitung gradien loss (Softmax)
 Gradien loss pada output neuron Yi pada layer output yaitu :

$$\frac{\partial L}{\partial Y_i} = Y_i - t_i \tag{2.9}$$

Dimana:

L adalah nilai loss (categorical cross-entropy),

 Y_i adalah output dari probabilitas softmax untuk kelas ke-i,

 t_i adalah label untuk target kelas ke-i (one-hot-encoding).

Turunan fungsi categorical cross-entropy menghasilkan rumus ini:

$$L = -\sum_{i} t_{i} \log(Y_{i}) \tag{2.10}$$

Ketika diturunkan terhadap Y_i hasilnya adalah:

$$\frac{\partial L}{\partial Y_i} = -\frac{t_i}{Y_i} \tag{2.11}$$

Namun, ketika *softmax* digunakan sebagai fungsi aktivasi output, turunan sederhana dihasilkan oleh kombinasi *softmax* dan *cross-entropy*:

$$\frac{\partial L}{\partial z_i} = Y_i - t_i \tag{2.12}$$

Di mana z_i adalah nilai sebelum softmax.

• Menghitung gradien terhadap $logit(Z_i)$ Sebelum softmax, hasil perhitungan linear adalah $logit(Z_i)$:

$$z_i = \sum_i W_{ij} x_j + b_i \tag{2.13}$$

Turunan loss L terhadap logit Z_i yaitu :

$$\frac{\partial L}{\partial z_i} = Y_i - t_i \tag{2.14}$$

Gradien ini menunjukkan seberapa besar pengaruh kesalahan prediksi pada *logit*.

Menghitung gradien terhadap bobot (W_{ji})
 Untuk menghitung gradien loss terhadap bobot (W_{ji}), akan digunakan chain rule:

$$\frac{\partial L}{\partial W_{ji}} = \frac{\partial L}{\partial z_i} \cdot \frac{\partial z_i}{\partial W_{ji}} \tag{2.15}$$

Dimana:

Turunan loss L terhadap logit z_i adalah hasil dari langkah sebelumnya,

Output dari neuron dilayer sebelumnya x_j .

Substitusi kedua nilai akan menghasilkan:

$$\frac{\partial L}{\partial W_{ii}} = (Y_i - t_i) \cdot x_j \tag{2.16}$$

Artinya:

Mengalikan *error* pada *output* $(Y_i - t_i)$ dengan nilai input neuron sebelumnya x_j untuk menghitung gradien loss terhadap bobot W_{ji} .

• Menghitung gradien Bias (b_i)

Metode yang serupa digunakan untuk menghitung gradien loss terhadap bias b_i :

$$\frac{\partial L}{\partial b_i} = \frac{\partial L}{\partial z_i} \cdot \frac{\partial z_i}{\partial b_i} \tag{2.17}$$

Dimana:

$$\frac{\partial L}{\partial Z_I} = Y_i - t_i,$$

 $\frac{\mathbf{d}z_i}{\mathbf{d}b_i} = 1$, karena bias tidak bergantung dengan variabel yang lain.

Hasilnya:

$$\frac{\partial L}{\partial x_i} = Y_i - t_i \tag{2.18}$$

d. Proses hidden layer

Dengan menggunakan *chain rule* atau aturan rantai, proses *backward pass* menyebarkan gradien ke lapisan sebelumnya jika terdapat *hidden layer*:

$$\frac{\partial L}{\partial z} = \sum_{i} \frac{\partial L}{\partial \overline{z}} \cdot W_{ji} \cdot \sigma'(z_j)$$
 (2.19)

Dimana:

 $\frac{\partial L}{\partial z_i}$ adalah gradien pada layer output,

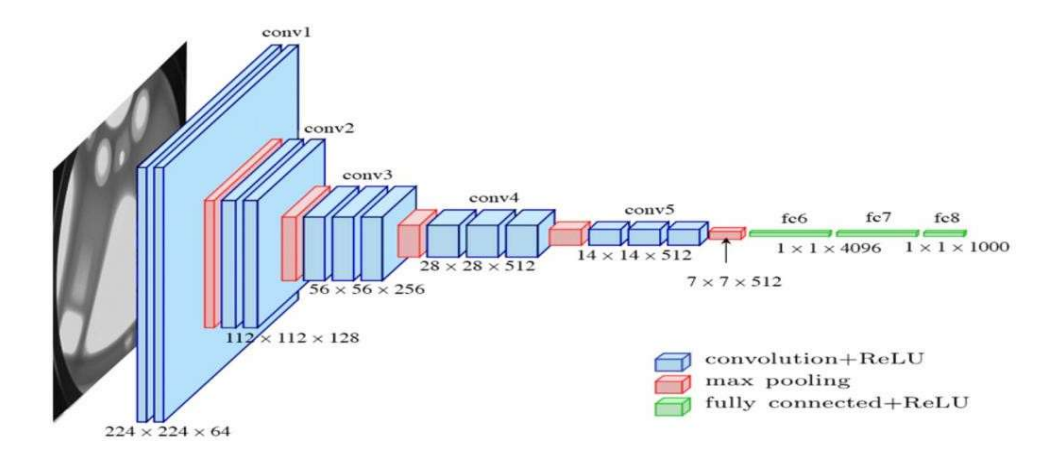
 W_{ji} adalah bobot yang menghubungkan neuron j (hidden layer) ke neuron i (output layer),

 $\sigma'(z_i)$ adalah turunan fungsi aktivasi di hidden layer.

2.3 Visual Geometry Group (VGG16)

VGG16 adalah salah satu arsitektur jaringan konvolusi dalam (Convolutional Neural Network atau CNN) yang dirancang untuk pengenalan gambar dan klasifikasi objek. Tim *Visual Geometry Group* di Universitas Oxford mengembangkan VGG16. Dipresentasikan pada tahun 2014 dalam makalah ilmiah berjudul "Very Deep Convolutional Networks for Large-Scale Image Recognition" (Simonyan et al., 2014). *Simoyan dan Zisserman* menciptakan model ini

mengevaluasi jaringan dan meningkatkan kedalamannya. Gambar dilewatkan melalui tumpukan *convolution layer* menggunakan filter yang sangat kecil (3x3) yang menunjukkan peningkatan yang signifikan pada konfigurasi sebelumnya (Simoyan et al., 2014). Berikut arsitektur dari VGG16:



Gambar 2.4 Arsitektur VGG16

Arsitektur VGG16 terdiri dari lapisan konvolusi, *pooling*, dan seluruhnya terhubung yang dimaksudkan untuk pengenalan gambar. Pada langkah awal, jaringan menerima gambar berukuran 224 x 224 x 3, yang menggambarkan gambar berwarna dengan tiga saluran RGB. *Input* ini kemudian diproses melalui lima blok utama, masing-masing terdiri dari beberapa lapisan konvolusi diikuti dengan satu lapisan *max pooling*. Lapisan konvolusi menggunakan kernel 3 x 3 dengan *padding* yang sama untuk mempertahankan dimensi spasial, sementara lapisan *pooling* menggunakan *kernel* 2 x 2 dengan *stride* 2 untuk menghasilkan gambar berwarna dengan tiga saluran RGB.

Dalam blok pertama (conv1), terdapat dua lapisan konvolusi dengan 64 filter, yang menghasilkan *output* 112 x 112 x 64 setelah *pooling* maksimum. Di blok kedua (conv2), terdapat dua lapisan konvolusi dengan 128 filter, yang

menghasilkan *output* 56 x 56 x 128. Di blok ketiga (conv3), terdapat tiga lapisan konvolusi dengan 256 filter, dan outputnya setelah *pooling* adalah 28 x 28 x 256. Blok keempat, atau conv4, memiliki tiga lapisan konvolusi dengan 512 filter, yang menghasilkan *output* 14 x 14 x 512. Blok kelima, atau conv5, juga memiliki tiga lapisan konvolusi dengan 512 filter, dan setelah digabungkan, menghasilkan *output* berukuran 7 x 7 x 512.

Setelah melewati lima blok ini, hasilnya diratakan (flattening) menjadi vektor berukuran 1 x 25088 yang kemudian diproses oleh tiga lapisan yang benar-benar terhubung (FC). Lapisan pertama (FC6) dan kedua (FC7) memiliki 4096 neuron dengan fungsi aktivasi ReLU, dan lapisan terakhir (FC8) memiliki 1000 neuron dengan fungsi aktivasi Softmax, yang menghasilkan kemungkinan 1000 kelas, seperti yang terlihat pada dataset *ImageNet*.

Untuk memperkenalkan non-linearitas, fungsi aktivasi ReLU digunakan pada seluruh lapisan konvolusi dan penuh terhubung. Namun, untuk klasifikasi multi-kelas, lapisan *output* menggunakan *Softmax*. Arsitektur ini memungkinkan VGG16 mengekstraksi fitur gambar secara bertahap, mulai dari pola sederhana hingga kompleks, menjadikannya salah satu arsitektur yang paling populer untuk tugas pengenalan gambar.

a. Convolution layer

Pada lapisan konvolusi, mengalikan filter dengan *input* dan menjumlahkan hasilnya untuk setiap posisi piksel adalah tugas yang dilakukan. Rumus konvolusi adalah sebagai berikut:

$$Z(i,j,k) = \sum_{m=0}^{H-1} \sum_{n=0}^{W-1} \sum_{c=0}^{C-1} \sum_{c=0}^{C-1} X(i+m,j+n,c) \cdot W(m,n,c,k) + b_k$$
(2.20)

Dimana:

- Z(i, j, k) adalah nilai output pada posisi (i, j) untuk filter ke-k,
- X(i+m,j+n,c) adalah nilai pada posisi (i+m,j+n) dari input gambar pada saluran ke-c,
- W(m, n, c, k) adalah bobot filter yang memiliki ukuran $H \times W \times C$, Dimana H adalah tinggi filter, W adalah lebar filter, dan C adalah jumlah saluran input
- b_k adalah bias untuk ulter ke-k.
- H, W adalah ukuran kernel filter (VGG16, ini adalah 3×3 .
- C adalah saluran pada input. Misalnya : 3 untuk gambar RGB.

Untuk memperkenalkan non-linearitas, sebuah aktivasi (misalnya fungsi ReLU) diterapkan setelah menghitung hasil konvolusi.

b. Max Pooling

Pada lapisan *max pooling*, tugas yang dilakukan adalah menentukan nilai maksimum dari area tertentu, biasanya berukuran 2 × 2 2×2, untuk mengurangi dimensi spasial, yaitu lebar dan tinggi gambar. Rumus max *pooling* adalah:

$$ZZ(i,j,k) = \max_{m,n} \{X(s \cdot i + m, s \cdot j + n, k)\}$$
 (2.21)

Dimana:

- *Z*(*i*, *j*, *k*) adalah nilai output pooling pada posisi (*i*, *j*) untuk saluran ke-*k*.
- $X(s \cdot i + m, s \cdot j + n, k)$ adalah nilai input pada area pooling.
- s adalah stride pooling.

m, n adalah indeks dalam area pooling.

Pooling membuat dimensi spasial lebih kecil, memungkinkan jaringan untuk lebih berkonsentrasi pada karakteristik utama daripada detail spasial yang sangat kecil.

c. Fully connected layer

Output dari lapisan konvolusi dan pooling akan diratakan menjadi vektor dan diproses oleh fully connected layer. Di sini, proses yang dilakukan adalah perkalian matriks antara vektor input dan bobot; kemudian, bias ditambahkan:

$$Z = W \cdot X + b \tag{2.22}$$

Dimana:

- Z adalah output dari lapisan fully connected.
- W adalah bobot matrix dengan dimensi ($N_{output} \times N_{input}$) dimana N_{output} adalah jumlah neuron dilapisan matrix tersebut dan N_{input} adalah panjang input.
- *X* adalah vektor input dari hasil lapisan sebelumnya yang telah diratakan.
- *b* adalah vektor bias.

d. Fungsi Softmax

Setelah skor dihitung oleh lapisan yang penuh terhubung, fungsi *Softmax* digunakan untuk mengkonversi skor menjadi probabilitas yang berkisar antara 0 dan 1. Rumusnya adalah sebagai berikut:

$$P(y = i \mid X) = \frac{exp(Z_i)}{\sum_{j=1}^{C} exp(Z_j)}$$
 (2.23)

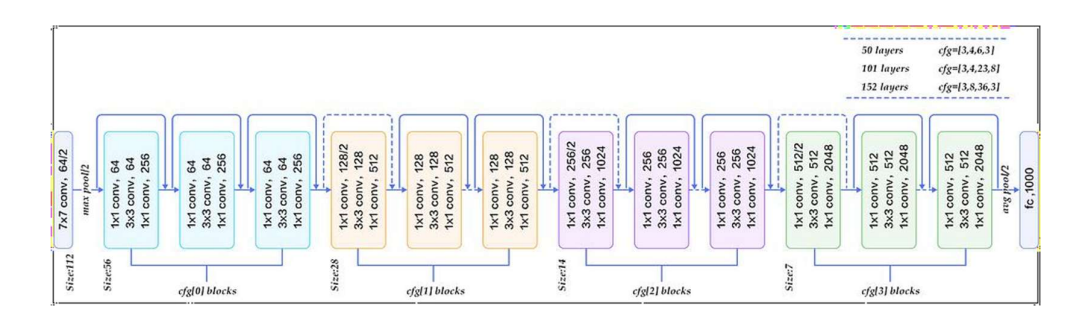
Dimana:

- $P(y = i \mid X)$ adalah probabilitas gambar X termasuk dalam kelas i.
- Z_i adalah skor untuk kelas i.
- C adalah jumlah total kelas (1000 untuk ImageNet).
- $exp(Z_i)$ adalah fungsi eksponensial diterapkan pada skor untuk setiap kelas.

Fungsi *Softmax* memudahkan pemilihan kelas dengan prediksi probabilitas tertinggi karena memastikan bahwa hasil model adalah probabilitas totalnya adalah 1.

2.4 Residual Network (ResNet50)

ResNet50 adalah model pembelajaran mendalam yang menggunakan koneksi lompatan untuk mengatasi masalah gradien yang hilang, yang dapat menghambat pelatihan model pembelajaran mendalam (Suleman et al., 2024). ResNet50, versi 50 lapisan dari jaringan ResNet, diperkenalkan pada tahun 2015 oleh *Kaiming He* dan rekannya dalam paper mereka "Deep Residual Learning for Image Recognition". ResNet adalah salah satu arsitektur jaringan saraf dalam yang sangat populer dan kuat untuk tugas pengenalan gambar. Berikut arsitektur dari ResNet50:



Gambar 2.5 Arsitektur ResNet50

ResNet50 adalah versi *Residual Networks* yang memiliki lima puluh lapisan. Dalam model ini, *blok bottleneck* terdiri dari blok *residual* yang terdiri dari tiga lapisan konvolusi: 1×1 *convolution* untuk mengurangi dimensi, 3×3 *convolution* untuk mengekstraksi fitur, dan 1×1 *convolution* untuk mengembalikan dimensi. Setiap blok memiliki *shortcut connection* yang memungkinkan input melompati beberapa lapisan, yang mempermudah pemahaman fungsi *residual* dan menghindari masalah *vanishing gradient*.

Arsitektur ResNet50 terdiri dari empat tahap utama. Tahap pertama memiliki tiga blok *residual*, tahap kedua memiliki empat blok, tahap ketiga memiliki enam blok, dan tahap keempat memiliki tiga blok. Setiap langkah dimulai dengan *convolution* atau *pooling*, yang mengurangi dimensi ruang. Untuk menghasilkan vektor dengan probabilitas 1000 kelas, penggabungan rata-rata global digunakan untuk mengubah ukuran *output* menjadi 1 × 1 × 2048 1 × 1 × 2048. ResNet50 dibuat untuk klasifikasi gambar berskala besar dengan parameter yang efisien dan akurat, mirip dengan kumpulan ImageNet.

a. Residual Block

ResNet, menggunakan koneksi *residual* untuk mengatasi masalah ketika jaringan terlalu dalam. Dalam kasus seperti ini, *Vanishing Gradient* Gradien menjadi sangat kecil, sehingga sulit untuk memperbarui bobot selama pelatihan. Meskipun jumlah lapisan bertambah, akurasi model menurun.

$$H(x) = F(x) + x \tag{2.24}$$

Dimana:

- H(x) adalah output akhir dari residual block.
- F(x) adalah transformasi fitur hasil dari operasi seperti convolution,
 Batch Normalization, dan ReLU.
- *x* adalah input awal.

b. Bottleneck Block

ResNet50 menggunakan *Bottleneck block* dengan 3 lapisan konvolusi diantaranya :

- 1. Convolution 1 x 1 : memiliki fungsi untuk mengurangi julah channel atau dimensi fitur.
- 2. Convolution 3 x 3: memiliki fungsi untuk mengekstrak fitur dari data.
- 3. *Convolution* 1 x 1 : memiliki fungsi untuk mengembalikan jumlah *channel* ke ukuran semula.

$$F(x) = W_3 \cdot ReLU(BN(W_2 \cdot ReLU(BN(W_1 \cdot X)))) \qquad (2.25)$$

Dimana:

- W_1, W_2, W_3 adalah matrix bobot untuk konvolusi 1 x 1, 3 x 3, 1 x 1.
- BN adalah Batch Normalization.
- ReLU adalah fungsi aktivasi.

c. Dimensi Output

Dimensi *output* adalah ukuran data (atau tensor) yang dihasilkan setelah operasi jaringan saraf tertentu, seperti *convolution, pooling*, atau lapisan yang lengkap. Ini penting karena menunjukkan bagaimana ukuran data berubah saat melewati setiap lapisan jaringan neural.

$$O = \frac{I - K + 2P}{S} + 1 \tag{2.26}$$

Dimana:

- *O* adalah ukuran output (height/width).
- I adalah ukuran input.
- K adalah ukuran kernel.
- *P* adalah padding.
- *S* adalah stride.

Sebagai contoh:

Input 224 x 224, kernel 7 x 7, padding 3, stride 2

$$0 = \frac{224 - 7 + 2(3)}{2} + 1 = 112 \tag{2.27}$$

Output: 112 x 112

d. Backpropagation

Selama *backpropagation*, menghentikan koneksi membantu menjaga aliran gradien. Gradien dihitung sebagai

$$\frac{\partial L}{\partial x} = \frac{\partial L}{\partial H} \cdot \left(1 + \frac{\partial F(x)}{\partial x}\right) \tag{2.28}$$

- *Shortcut* Gradien (1-1): Memberikan jalur langsung untuk gradien tanpa melalui transformasi F(x).
- Transformasi Gradien $\binom{\partial F(X)}{\partial x}$ Gradien dari fungsi transformasi non-linear.

e. Parameter bottleneck

Parameter *bottleneck block* adalah jumlah bobot (weights) yang perlu dioptimalkan dalam sebuah *bottleneck block* dalam arsitektur ResNet50 tanpa mengurangi kemampuan jaringan untuk mengekstraksi fitur.

$$Total\ Parameter = (C_{in} \times C_{mid}) + (C_{mid} \times C_{mid} \times K^2) + (C_{mid} \times C_{out}) \qquad (2.29)$$

Dimana:

- Cin adalah jumlah channel input.
- *C_{mid}* adalah jumlah channel intermediate.
- *Cout* adalah jumlah channel output.
- K^2 adalah tambahan untuk bias untuk setiap filter (misalnya 3 x 3).

Contoh :
$$C_{in} = 256$$
, $C_{mid} = 64$, $C_{out} = 256$:

Total Parameters =
$$(256 \times 64) + (64 \times 64 \times 9) + (64 \times 256)$$

= $16,384 + 36,864 + 16,384 = 69,632$

f. Fungsi Loss

ResNet50 dilatih dengan fungsi *loss categorical cross-entropy*. Berikut fungsinya:

$$L = -\sum_{i=1}^{C} yi \log(\hat{y}i)$$
 (2.30)

Dimana:

- *C* adalah jumlah kelas.
- *yi* adalah label sebenarnya untuk kelas *i* (0 atau 1).
- (\hat{y}_i) adalah probabilitas prediksi untuk kelas i.

2.5 Transfer Learning

Transfer learning adalah teknik machine learning yang sering digunakan dalam deep learning, khususnya untuk masalah dengan data terbatas. Metode transfer learning menggunakan model terlatih dari tugas-tugas terkait sebelumnya yang sebanding untuk melatih model saat ini (Asmaul, 2022). Convolutional Neural Network (CNN) yang telah dilatih sebelumnya yang digunakan dalam transfer learning dioptimalkan untuk satu tugas dan mentransfer pengetahuan ke mode yang berbeda (Nevavuori, 2019).

Transfer learning telah dibahas dengan beberapa nama dalam literatur sejak tahun 1990-an dimulai: Learning to learn (Caruana, 1995), Life-long learning (Silver, 2002), Knowledge transfer (Huang, 2013), Inductive transfer (Ruckert, 2008), Multitask learning (Caruana, 1997), Knowledge consolidation (Silver, 2013), Context-sensitive learning (Silver, 2007), Knowledgebased inductive bias (Caruana, 1993), Meta learning (Bengio, 1991), dan Incremental or cumulative learning (Thrun, 1991).

Model dalam *transfer learning* belajar dari satu tugas dan kemudian memecahkan masalah yang terkait dengan tugas lain. Misalnya, model yang sudah dilatih untuk mengidentifikasi objek dalam foto dapat digunakan untuk mengidentifikasi wajah atau emosi dalam foto.

Gambar 2.6 Transfer Learning

MACHINE LEARNING MODEL 2

Sumber: https://dqlab.id

Transfer learning memiliki beberapa keuntungan yang sangat baik untuk machine learning. Pertama, transfer learning menghemat waktu dan sumber daya karena memungkinkan penggunaan pre-trained model yang sudah dilatih dengan dataset besar, yang mengurangi kebutuhan untuk komputasi dan waktu pelatihan. Kedua, karena pre-trained model telah mempelajari fitur umum yang relevan, teknik ini bekerja lebih baik dengan dataset kecil. Hal ini memungkinkan model memiliki akurasi yang tinggi dengan sedikit pelatihan ulang.

Ketiga, transfer learning mengurangi risiko overfitting karena model dapat memanfaatkan pengetahuan yang telah dipelajari sebelumnya, terutama dalam kasus dataset terbatas. Ini juga membantu model membuat generalisasi lebih mudah, sehingga mereka dapat menemukan pola umum yang dapat diterapkan pada berbagai tugas baru. Keuntungan tambahan adalah fleksibilitas transfer learning, yang dapat diterapkan pada berbagai bidang, seperti natural language processing dan computer vision.

39

2.6 Perbandingan CNN, VGG16, dan ResNet50

CNN dasar mudah dilatih dan hemat sumber daya komputasi, memiliki arsitektur sederhana dengan kurang dari sepuluh lapisan, dan tidak dapat menangkap fitur kompleks. Dengan filter konvolusi 3×3 yang konsisten (Mannepalli et al., 2024), struktur yang homogen dan mudah dipahami, dan 138 juta parameter, VGG16 meningkatkan kedalaman menjadi 16 lapisan. Dengan 50 lapisan, ResNet50 mengatasi vanishing gradient dengan skip connections (Murimi, 2023.), tetapi hanya dengan 25 juta parameter karena desain blok bottleneck yang efisien.

CNN dasar cepat dilatih dalam proses pelatihan tetapi cepat mencapai titik jenuh pada dataset kompleks. VGG16 membutuhkan waktu yang lebih lama untuk dilatih, rentan terhadap overfitting, dan konvergensi yang lebih lambat. Training yang lebih efektif, masalah vanishing gradient yang lebih sedikit, dan ketahanan terhadap overfitting diperoleh dengan ResNet50 dengan koneksi skip. Meskipun CNN dasar cukup baik untuk tugas sederhana dalam klasifikasi citra, ia hanya dapat digunakan pada dataset kompleks. ResNet50 biasanya mengungguli VGG16 dalam menangkap fitur detail, terutama tekstur dan pola lokal, tetapi VGG16 juga dapat mempelajari representasi hierarkis yang lebih dalam.

Untuk klasifikasi penyakit tanaman padi, CNN dasar sulit mengidentifikasi perbedaan kecil antara penyakit tetapi efektif dengan perangkat terbatas. Meskipun ukurannya besar, VGG16 berpotensi lebih baik dalam mendeteksi gejala penyakit tertentu seperti bercak atau perubahan warna. ResNet50 memungkinkan pengenalan pola kompleks dengan efisiensi parameter yang lebih baik, membuatnya lebih sesuai untuk penggunaan praktis.

Tabel 2.2 Perbandingan CNN, VGG16 dan ResNet50

Aspek	CNN	VGG16	ResNet50
Jumlah Lapisan	Biasanya <10	16	50
Jumlah Parameter	Relatif Sedikit <5	~138 Juta	~25 Juta
	Juta		
Arsitektur Utama	Konvolusi	Blok Konvolusi	Block Bottleneck
	Sederhana +	3x3	dengan Skip
	Pooling		connection
Keunggulan	Sederhana dan	Menangkap detail	Menangkap
	Mudah dilatih	tekstur dengan	representasi
		baik	abstrak kompleks
Tantangan	Terbatas untuk	Rentan	Arsitektur yang
	fitur kompleks	overfitting,	lebih rumit
		komputasi berat	
Kecepatan	Cepat	Lambat	Moderat
Inferensi			
Kebutuhan	Rendah	Tinggi	Moderat
Memori			
Top-5 Akurasi	~80 - 85%	~90%	~92.9%
ImageNet			
Aplikasi Optimal	Tugas klasifikasi	Tugas yang	Klasifikasi objek
	sederhana	memerlukan	kompleks
		detail visual	

2.7 Python

Python adalah bahasa pemrograman tingkat tinggi yang dibuat untuk membuat penulisan dan membaca kode mudah. Python awalnya dibuat oleh Guido van Rossum pada akhir tahun 1980-an dan dirilis pertama kali pada tahun 1991. Itu dimaksudkan untuk menjadi penerus bahasa ABC yang memiliki kemampuan yang

lebih baik untuk menangani kesalahan dan mendukung pengembangan skala besar. Terinspirasi dari grup komedi Inggris "Monty Python's Flying Circus", nama *Python* sendiri mencerminkan etika bahasa yang menyenangkan dan santai.

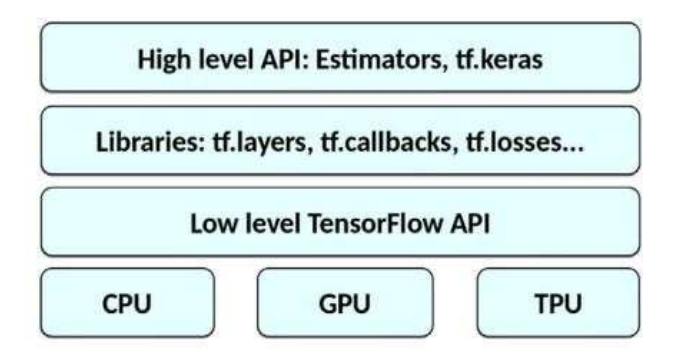
Python adalah bahasa pemrograman yang telah mendapatkan popularitas karena kesederhanaan, keterbacaan, dan fleksibilitasnya. Karena sintaksisnya yang sederhana, yang mirip dengan bahasa Inggris sehari-hari, Python menawarkan titik masuk pemrograman yang mudah diakses (Kovac, 2024). Selain itu, pustaka Python yang luas, termasuk panda, NumPy, dan SciPy, menawarkan sumber daya yang kuat untuk machine learning, visualisasi, dan analisis data, menjadikannya alat yang sangat baik untuk melakukan penelitian.

2.8 Tensorflow

TensorFlow adalah kerangka kerja open source yang digunakan untuk membangun dan melatih model pembelajaran mesin, terutama pembelajaran mendalam. TensorFlow, yang pertama kali dirilis pada tahun 2015, telah menjadi salah satu alat paling populer untuk pengembang kecerdasan buatan (AI). TensorFlow adalah platform machine learning yang kuat dengan tools yang mudah digunakan untuk mengembangkan dan menguji arsitektur deep learning (Akgun, 2022).

TensorFlow, sebuah pustaka perangkat lunak atau kerangka kerja yang dikembangkan oleh Google, memungkinkan untuk dengan cepat menerapkan teknik machine learning dan deep learning (Monica, 2022). TensorFlow memiliki banyak API yang dapat disesuaikan untuk memenuhi kebutuhan pengembangan untuk berbagai tingkat keahlian, dari pemula hingga tingkat lanjut. TensorFlow

memiliki banyak lapisan, dan API tingkat rendah berinteraksi dengan CPU, GPU, dan TPU seperti yang ditunjukkan pada gambar berikut :



Gambar 2. 7 Tensorflow API

Source: Akgun, 2022

TensorFlow memiliki API yang dibagi menjadi tiga bagian utama. API tingkat tinggi, seperti tf.keras, memberikan kemudahan penggunaan, Libraries, seperti tf.layers, dan API tingkat rendah memberikan kontrol penuh atas operasi komputasi. TensorFlow juga mendukung eksekusi pada CPU, GPU, dan TPU untuk meningkatkan kinerja pelatihan model.

2.9 Keras

Keras adalah *library open-source* yang dibuat dengan *Python* yang digunakan untuk membangun dan melatih model *deep learning*. Dengan antarmuka yang sederhana, *library* ini memungkinkan pengguna membuat model *neural network* dengan cepat tanpa mengetahui detail teknis yang rumit. Selain mendukung berbagai arsitektur *neural network*, seperti *Convolutional Neural Networks* (CNN) dan *Recurrent Neural Networks* (RNN), Keras memungkinkan pengguna untuk

membangun model secara fleksibel menggunakan komponen seperti lapisan (layers), optimizers, dan loss functions. Ini memungkinkan Keras untuk digunakan dalam berbagai aplikasi machine learning.

2.10 Anaconda Python

Anaconda Python adalah platform sumber terbuka gratis yang memungkinkan untuk menulis dan mengeksekusi kode dalam bahasa pemrograman Python. Platform ini dibuat oleh continuum.io, merupakan sebuah perusahaan yang mengkhususkan dalam pengembangan Python. Anaconda Navigator adalah antarmuka grafis pengguna (GUI) yang digunakan untuk mengelola lingkungan Python dan R, serta paket-paket terkait data science, machine learning, dan analisis data. Navigator memiliki berbagai fitur utama, seperti manajemen paket dan lingkungan yang memungkinkan pengguna untuk menginstal, memperbarui, dan menghapus paket-paket Python atau R dengan antarmuka yang mudah digunakan.

Navigator mendukung pembuatan lingkungan virtual untuk mengisolasi proyek, sehingga konflik antar-paket dapat dihindari. Selain itu pengguna juga dapat mengakses alat-alat populer seperti *Jupyter Notebook, Spyder, RStudio,* dan VS Code dengan cepat.

2.11 Penelitian terdahulu

Penelitian terdahulu yang dilakukan oleh (Mannepalli et al., 2024) membahas tentang Diagnosis penyakit tanaman padi menggunakan VGG16. Tujuan utama dari penelitian ini yaitu mengembangkan metode baru untuk diagnosis penyakit hawar daun bakteri, hawar daun, dan bercak coklat pada daun padi dengan menggunakan jaringan syaraf tiruan (CNN) VGG16. Hasil yang diperoleh dari penelitian ini

menunjukkan bahwa setelah dilakukan pengujian, penerapan model VGG16 mendapatkan hasil akurasi yang sangat baik yaitu sebesar 97.77%.

Pada penelitian yang dilakukan oleh (Handayani et al., 2024) yang membahas tentang penggunaan algoritma VGG16 dan VGG19 untuk klasifikasi jenis kelamin berdasarkan radiografi *sefalometrik* pada orang dewasa di Indonesia. Tujuan dari penelitian ini adalah melakukan penyelidikan efektivitas model *deep learning* dalam memprediksi jenis kelamin secara akurat. Tantangan yang ada dalam penelitian ini adalah menyoroti Kumpulan data yang tidak seimbang dalam mengklasifikasikan ciri – ciri laki – laki secara akurat. Hasil yang diperoleh dari penelitian yang telah dilakukan menunjukkan model VGG16 memiliki akurasi identifikasi jenis kelamin sebesar 93% untuk Perempuan dan 73% untuk laki – laki yang menghasilkan akurasi rata – rata sebesar 89% untuk kedua jenis kelamin. Sedangkan pada model VGG19 mencapai akurasi sebesar 100% dalam mengidentifikasi ciri – ciri *sefalometrik* pada Perempuan secara akurat dalam 21 sampel contoh. Model VGG19 menunjukkan akurasi keseluruhan sebesar 93% dalam menganalisis kedua jenis kelamin. Untuk jenis kelamin Perempuan, akurasinya mencapai 95%, sedangkan untuk laki – laki, akurasinya mencapai 80%.

Penelitian yang dilakukan oleh (Swain & Tripathy, 2024) membahas tentang mendeteksi lubang dan penilaian kerusakan jalan menggunakan *machine learning* dan teknik *image processing* khususnya menggunakan metode *Convolutional neural network* (CNN) dan *transfer learning*, secara signifikan meningkatkan kecepatan dan akurasi . Tujuan utama dari penelitian ini adalah mengotomatisasi deteksi lubang dengan meningkatkan kualitas gambar dan pada akhirnya data

meningkatkan keselamatan di jalan raya. Hasil yang diperoleh dari penelitian ini mendapatkan akurasi sebesar 99.23% dengan $transfer\ learning$ dan 98.46% tanpa menggunakan $transfer\ learning$. Penelitian yang dilakukan oleh (Xu et al., 2024) membahas tentang pengembangan jaringan saraf tiruan (CNN) berbasis VGG16 untuk screening kanker paru – paru yang tepat menggunakan CT Scan, Tujuan dari penelitian ini yaitu berfokus pada efektifitas algoritma $deep\ learning$ dalam meningkatkan deteksi dan diagnosis kanker paru – paru dini dengan membandingkan kinerja model penelitian sebelumnya. Hasil yang didapatkan dari penelitian ini yaitu AUC ($Area\ Under\ the\ Curve$) pada model menunjukkan kemampuan diagnostik yang sangat baik dengan AUC sebesar 0.963 ± 0.004 . dengan akurasi klasifikasi mencapai nilai rata – rata sebesar $91.7\%\pm0.004$, $positive\ predictive\ value\ (PPV)$ sebesar $86.8\%\pm0.015$, $negative\ predictive\ value\ (NPV)$ sebesar $93.1\%\pm0.003$, sensitivitas model sebesar $77.6\%\pm0.01$, spesifisitas mencapai $96.2\%\pm0.005$ dan $F1-Score\ sebesar\ 81.9\%\pm0.008$.

Pada penelitian yang dilakukan oleh (Basha et al., 2024) yang membahas tentang deteksi dan segmentasi pada tumor otak menggunakan Teknik *deep learning* dan *machine learning*, terutama berfokus pada gambar MRI. Tujuan dari penelitian ini untuk membantu para *professional* di bidang Kesehatan dalam membuat diagnosis yang tepat dan mengurangi Tingkat kematian yang terkait dengan tumor otak. Dari penelitian yang telah dilakukan menunjukkan bahwa model VGG16 mencapai akurasi yang tinggi yaitu 99.6% dan sensitivitas 99.61% dengan tingkat kesalahan yang rendah yaitu 3.2% dibandingkan dengan model lain seperti InceptionV3 dan ResNet50 yang memiliki tingkat kesalahan yang lebih tinggi yaitu sekitar 38% dan 22%.

Studi yang dilakukan oleh (Bella Dwi Mardiana et al., 2023) membahas klasifikasi tanaman herbal yang secara khusus berfokus pada kesalahan identifikasi karena kurangnya pengetahuan dikalangan Masyarakat umum. Tujuan dari penelitian yang dilakukan untuk mengklasifikasikan 10 (sepuluh) jenis tanaman herbal menggunakan model *deep learning* menggunakan arsitektur VGG16 dengan *Transfer Learning*. Hasil dari penelitian ini menghasilkan akurasi sebesar 96.73% dan validasi sebesar 95.63% dengan memanfaatkan *dataset* gambar sebanyak 3500. Ketika menggunakan Teknik *augmentasi* data, akurasi pengujian yang didapatkan sebesar 97%.

Setelah membahas beberapa penelitian terdahulu mengenai VGG16, maka selanjutnya beralih pada bahasan penelitian terdahulu mengenai ResNet50 yang merupakan salah satu model yang populer dalam pengenalan gambar dan klasifikasi objek. ResNet50 dikenal sebagai arsitektur pembelajaran mendalam yang lebih baik karena relatif mudah dioptimalkan dan dapat mencapai akurasi yang lebih tinggi (Elpeltagy & Sallam, 2021). Penelitian terdahulu yang dilakukan oleh (Cambay et al., 2024) membahas pengembangan model *deep learning* yaitu ResNet50. Tujuan dari penelitian ini adalah mendeteksi otomatis dan klasifikasi penyakit pencernaan menggunakan gambar endoskopi yang berfokus pada peningkatan kinerja dan akurasi diagnostik pada kondisi seperti maag dan polip. Hasil dari penelitian ini yaitu model ResNet50 menunjukkan akurasi klasifikasi sebesar 92% untuk ketiga dataset, diantaranya *Kvasir dataset*, *Wireless capsule endoscopy* (WCE) dataset dan *Kvasir V2 dataset*. Sementara itu untuk dataset *Wireless capsule endoscopy* (WCE) mendapatkan akurasi sebesar 99,13%.

Pada penelitian yang dilakukan oleh (Wan et al., 2024)membahas tentang deteksi pertumbuhan pada ganggang biru dan hijau di badan air dengan meningkatkan model arsitektur ResNet50. Tujuan dari penelitian ini adalah untuk meningkatkan feature extraction atau ekstrasi fitur dan kenieja klasifikasi dalam mengatasi tantangan yang berkaitan dengan ekstraksi fitur yang tidak efektif dan kesalahan pada klasifikasi. Hasil dari peningkatan model arsitektur ResNet50 memperoleh accuracy 98.26%, Precision 95.81%, F1-Score 95.70% dan Recall 95.59%. jika dibandingkan dengan model lain seperti MobileNetV2 mendapatkan accuracy sebesar 91.37% dan Recall 87.38%. model ShuffleNetV2 mendapatkan accuracy sebesar 96.10% dan Recall 93.12%. model DenseNet121 mendapatkan accuracy sebesar 96.41% dan Recall 93.37%. model ResNet50 yang di tingkatkan lebih unggul dibandingkan dengan model lainnya.

Penelitian yang dilakukan oleh (Li et al., 2024) yang membahas tentang klasifikasi dan deteksi cacat las menggunakan berbagai model *deep learning* seperti ResNet50. Tujuan dari penelitian ini antara lain mendeteksi dan klasifikasi cacat las alami menggunakan teknik pencitraan *Magneto-Optical* (MO) dengan fokus pada peningkatan akurasi dan kinerja klasifikasi melalui metode *Principal Component Analysis* (PCA) dan arsitektur *deep learning* yaitu ResNet50. Hasil yang diperoleh dari penelitian ini yaitu model ResNet50 mendapatkan akurasi keseluruhan yang tinggi sebesar 99% untuk *natural weld defects* dengan akurasi yang spesifik sebesar 99% untuk *cracks* dan 98% untuk *fores*. Akurasi dari keseluruhan model CNN sebesar 97%. Hasil ini menunjukkan bahwa model ResNet50 unggul dalam mengklasifikasikan cacat las.

Penelitian yang dilakukan oleh (Chen et al., 2024) menggunakan teknik pembelajaran mendalam, khususnya melalui analisis data MRI, untuk mengklasifikasikan penyakit Alzheimer (AD). Tujuan dari penelitian ini adalah untuk membedakan penyakit Alzheimer (AD) dari individu kognitif normal (CN), serta untuk meningkatkan akurasi dan keandalan deteksi AD dalam pencitraan medis. Hasil dari penelitian ini menunjukkan bahwa model ResNet50 memiliki keunggulan dalam klasifikasi penyakit Alzheimer karena mempertahankan akurasi tinggi dalam membedakan antara kelompok AD dan kelompok Mild Cognitive Impairment (MCI) dan MCI dan CN, masing-masing. Hasil ini menunjukkan bahwa model ResNet50 memiliki akurasi 98,91% dalam klasifikasi antara AD dan CN.

Studi yang dilakukan oleh (Pamungkas et al., 2023) menggunakan Jaringan Syaraf Tiruan (CNN) untuk mengklasifikasikan penyakit jagung berdasarkan gambar daun. Penelitian ini berfokus pada perbandingan kinerja dua model, EfficientNet-B0 dan ResNet-50, dalam menentukan empat klasifikasi penyakit jagung: Blight, Common Rust, Grey Leaf Spot dan Healthy. Tujuan dari penelitian ini adalah untuk meningkatkan akurasi identifikasi penyakit jagung untuk membantu petani menghindari kerugian panen. Hasil penelitian menunjukkan bahwa model ResNet50 mencapai accuracy sebesar 93%, precision 93%, recall 92% dan F1-score 92%. Sementara pada model EfficientNet-B0 mendapatkan accuracy sebesar 94%, precision 93%, recall 91% dan F1-score 92%. Model EfficientNet-B0 sedikit lebih unggul dibandingkan dengan model ResNet50 dalam mengklasifikasikan penyakit jagung.

Penelitian yang dilakukan oleh (Deng et al., 2022) menyelidiki efisiensi diagnostik model pembelajaran mesin yang berbeda, seperti ResNet50, forest random (RF), dan Deep Learning Ensemble (DS), dalam membedakan karsinoma tiroid papiler (PTC) dari nodul tiroid lainnya. Fokus penelitian adalah menilai potensi penggunaan data teks dan pencitraan untuk meningkatkan akurasi diagnosis tiroid karena kemiripan nodul tiroid menyebabkan kesulitan dalam diagnosis diferensial. Tujuan utama penelitian ini adalah untuk menilai kemampuan model diagnostik untuk menemukan PTC. Tujuannya adalah untuk meningkatkan akurasi diagnosa. Hasil menunjukkan bahwa model deep learning Ensemble (DS) berhasil mengobati 572 pasien dengan 38 kesalahan diagnosa. Ini termasuk dua belas kasus PTC yang salah dianggap sebagai jenis nodul lainnya, tiga belas kasus FTC, empat kasus MTC, dan sembilan kasus adenoma yang salah dianggap sebagai PTC dengan sensitivitas 85,87%, spesifisitas 97,18%, akurasi 93,77%, dan area di bawah kurva karakteristik operasi penerima (AUC) sebesar 0,982. Model random forest (RF) berhasil mendiagnosis 529 kasus karsinoma tiroid papiler (PTC) dengan 81 kesalahan diagnosa. Kesalahan tersebut mencakup 16 kasus PTC yang salah diidentifikasi sebagai nodul lainnya, 18 sebagai karsinoma tiroid folikuler (FTC), 26 sebagai karsinoma tiroid meduler (MTC), satu kasus gondok nodular, dan 26 kasus adenoma yang salah didiagnosis sebagai PTC. Model RF memiliki akurasi 86,72%, sensitivitas 64,67%, tingkat kesalahan diagnosis 13,28%, dan spesifisitas 96,24%. Sementara itu, model ResNet50 mendiagnosis 546 gambar dengan 64 kesalahan diagnosa, termasuk 35 kasus PTC yang salah dianggap sebagai jenis nodul lainnya, 16 kasus FTC, satu kasus MTC, satu kasus gondok nodular, dan 11 kasus adenoma yang salah dianggap sebagai PTC. dengan sensitivitas 84,24%,

spesifisitas 91,78%, akurasi 89,57%, dan AUC 0,955, tetapi mengalami 64 kesalahan diagnosa. Temuan ini menunjukkan keunggulan model ensembel DS dalam klasifikasi karsinoma tiroid papiler (PTC). Berikut adalah tabel penelitian terdahulu yang mendukung kerangka teoritis pada penelitian ini:

Tabel 2.3 Penelitian Terdahulu

No	Judul	Metode	Hasil
1.	Diagnosis of	Convolutional Neural	Hasil yang diperoleh
	bacterial leaf blight,	Network ((CNN),	yaitu penerapan model
	leaf smut, and brown	VGG16.	VGG16 mendapatkan
	spot in rice leafs		hasil akurasi yang
	using VGG16.		sangat baik yaitu
	(Praveen Kumar		sebesar 97.77%.
	Mannepallia,		
	Ayonija Pathreb,		
	Gunjan Chhabrac,		
	Priyanka Anup		
	Ujjainkard, Shrutika		
	Wanjarie, 2024).		
2.	Classification of	VGG16 dan VGG19	Hasil yang diperoleh
	Indonesian adult		dari penelitian yang
	forensic gender		telah dilakukan
	using cephalometric		menunjukkan model
	radiography with		VGG16 memiliki
	VGG16 and		akurasi identifikasi
	VGG19: a		jenis kelamin sebesar
	Preliminary		93% untuk Perempuan
	research. (Vitria		dan 73% untuk laki –
	Wuri Handayania,b,		laki yang
	Ahmad		menghasilkan akurasi

	Yudiantoc,d, Mieke		rata – rata sebesar
	Sylvia M.A.Rd,e,		89% untuk kedua
	Riries		jenis kelamin.
	Rulaningtyasf,g and		Sedangkan pada
	Muhammad Rasyad		model VGG19
	Caesarardhi, 2024).		mencapai akurasi
			sebesar 100% dalam
			mengidentifikasi ciri –
			ciri sefalometrik pada
			Perempuan secara
			akurat dalam 21
			sampel contoh. Model
			VGG19 menunjukkan
			akurasi keseluruhan
			sebesar 93% dalam
			menganalisis kedua
			jenis kelamin. Untuk
			jenis kelamin
			Perempuan,
			akurasinya mencapai
			95%, sedangkan untuk
			laki – laki, akurasinya
			mencapai 80%.
3.	Automatic detection	VGG16 Pre – Trained	Hasil yang diperoleh
	of potholes using	network dan	dari penelitian ini
	VGG-16 pre-trained	Convolutional Neural	mendapatkan akurasi
	network and	Network (CNN).	sebesar 99.23%
	Convolutional		dengan transfer
	Neural Network.		learning dan 98.46%
	(Satyabrata Swain,		tanpa menggunakan
			transfer learning.

	Asis Kumar		
	Tripathy, 2024).		
4.	Precision lung	VGG16 – Based	Model VGG16
	cancer screening	Convolutional Neural	mencapai akurasi
	from CT scans using	Network (CNN).	yang tinggi yaitu
	a VGG16-based		99.6% dan sensitivitas
	convolutional neural		99.61% dengan
	network. Hua Xu,		tingkat kesalahan
	Yuanyuan Yu , Jie		yang rendah yaitu
	Chang, Xifeng Hu,		3.2% dibandingkan
	Zitong Tian and		dengan model lain
	Ouwen Li, 2024).		seperti InceptionV3
			dan ResNet50 yang
			memiliki tingkat
			kesalahan yang lebih
			tinggi yaitu sekitar
			38% dan 22%.
5.	Mask region-based	Convolutional Neural	Model VGG16
	convolutional neural	Network (CNN), VGG16	mencapai akurasi
	network and	dan Segmentasi.	yang tinggi yaitu
	VGG-16 inspired		99.6% dan sensitivitas
	brain tumor		99.61% dengan
	segmentation. Niha		tingkat kesalahan
	Kamal Basha,		yang rendah yaitu
	Christo Ananth, K.		3.2% dibandingkan
	Muthukumaran,		dengan model lain
	Gadug Sudhamsu,		seperti InceptionV3
	Vikas Mittal5 &		dan ResNet50 yang
	Fikreselam Gared,		memiliki tingkat
	2024).		kesalahan yang lebih

			tinggi yaitu sekitar
			38% dan 22%.
6.	Herbal Leaves	Convolutional Neural	Hasil dari penelitian
	Classification Based	Network (CNN), Pre-	ini menghasilkan
	on Leaf Image Using	Trained VGG16.	akurasi sebesar
	CNN Architecture		96.73% dan validasi
	Model VGG16.		sebesar 95.63%
	(Bella Dwi		dengan memanfaatkan
	Mardiana, Wahyu		dataset gambar
	Budi Utomo, Ulfah		sebanyak 3500.
	Nur Oktaviana,		Ketika menggunakan
	Galih Wasis		Teknik augmentasi
	Wicaksono, Agus		data, akurasi
	Eko Minarno, 2023).		pengujian yang
			didapatkan sebesar
			97%.
7.	Automated	ResNet50 Based	Hasil dari
	Detection of	Explainable Deep	penelitian ini yaitu
	Gastrointestinal	Feature Engineering	model ResNet50
	Diseases Using	Model.	menunjukkan akurasi
	Resnet50*-Based		klasifikasi sebesar
	Explainable Deep		92% untuk ketiga
	Feature Engineering		dataset, diantaranya
	Model with		Kvasir dataset,
	Endoscopy Images.		Wireless capsule
	(Veysel Yusuf		endoscopy (WCE)
	Cambay, Prabal		dataset dan Kvasir V2
	Datta Barua, Abdul		dataset. Sementara itu
	Hafeez Baig, Sengul		untuk dataset Wireless
	Dogan, Mehmet		capsule endoscopy

	Baygin, Turker		(WCE) mendapatkan
	Tuncer and U. R.		akurasi sebesar
	Acharya, 2024)		99,13%.
8.	An Improved	ResNet50	Hasil dari peningkatan
	ResNet50 for		model arsitektur
	Environment Image		ResNet50
	Classification.		memperoleh accuracy
	(Jiacheng Wana,		98.26%, Precision
	Bingchan Lib, Kun		95.81%, F1-Score
	Wanga, Xixi Tenga,		95.70% dan <i>Recall</i>
	Tao Wanga , Bo		95.59%. jika
	Maoa, 2024).		dibandingkan dengan
			model lain seperti
			MobileNetV2
			mendapatkan
			accuracy sebesar
			91.37% dan <i>Recall</i>
			87.38%. model
			ShuffleNetV2
			mendapatkan
			accuracy sebesar
			96.10% dan <i>Recall</i>
			93.12%. model
			DenseNet121
			mendapatkan
			accuracy sebesar
			96.41% dan <i>Recall</i>
			93.37%. model
			ResNet50 yang di
			tingkatkan lebih

			unggul dibandingkan
			dengan model lainnya.
9.	Automatic Detection	Magneto – Optical	Hasil yang diperoleh
	and Classification of	Imaging dan ResNet50.	dari penelitian ini
	Natural Weld		yaitu model ResNet50
	Defects Using		mendapatkan akurasi
	Alternating		keseluruhan yang
	MagnetoOptical		tinggi sebesar 99%
	Imaging and		untuk natural weld
	ResNet50. (Yanfeng		defects dengan akurasi
	Li, Pengyu Gao,		yang spesifik sebesar
	Yongbiao Luo,		99% untuk <i>cracks</i> dan
	Xianghan Luo,		98% untuk <i>fores</i> .
	Chunmei Xu,		Akurasi dari
	Jiecheng Chen,		keseluruhan model
	Yanxi Zhang,		CNN sebesar 97%.
	Genxiang Lin and		Hasil ini menunjukkan
	Wei Xu, 2024).		bahwa model
			ResNet50 unggul
			dalam
			mengklasifikasikan
			cacat las.
10.	Automated	Soft-NMS dan Imporved	Hasil ini menunjukkan
	Alzheimer's disease	ResNet50 integration.	bahwa model
	classification using		ResNet50 memiliki
	deep learning		akurasi 98,91% dalam
	models		klasifikasi antara AD
	with Soft-NMS and		dan CN.
	improved ResNet50		
	integration. (Yusi		
	Chen, Lizhen Wang		

	f, Bijiao Ding e,		
	Jianshe Shi e, Tingxi		
	Wen d, Jianlong		
	Huang, Yuguang Ya,		
	2024).		
11.	Leaf Image	Convolutional Neural	Hasil penelitian
	Identification: CNN	Network (CNN),	menunjukkan bahwa
	with EfficientNet-B0	EfficientNet-B0 dan	model ResNet50
	and ResNet-50 Used	ResNet50.	mencapai accuracy
	to Classified Corn		sebesar 93%,
	Disease. (Wisnu		precision 93%, recall
	Gilang Pamungkas,		92% dan F1-score
	Muchammad Iqbal		92%. Sementara pada
	Putra Wardhana,		model EfficientNet-
	Zamah Sari, Yufis		B0 mendapatkan
	Azhar, 2023).		accuracy sebesar
			94%, precision 93%,
			recall 91% dan F1-
			score 92%. Model
			EfficientNet-B0
			sedikit lebih unggul
			dibandingkan dengan
			model ResNet50
			dalam
			mengklasifikasikan
			penyakit jagung.
12.	Differential	ResNet50, Random	Hasil menunjukkan
	diagnostic value of	Forest dan DS Ensemble	bahwa model deep
	the ResNet50,	models.	learning Ensemble
	random forest, and		(DS) berhasil
	DS ensemble models		mengobati 572 pasien

for papillary thyroid carcinoma and other thyroid nodules. (Chengwen Deng, Dongyan Han, Ming Feng, Zhongwei Lv and Dan Li. 2022).

dengan 38 kesalahan diagnosa. Ini termasuk dua belas kasus PTC yang salah dianggap sebagai jenis nodul lainnya, tiga belas kasus FTC, empat kasus MTC, dan sembilan kasus adenoma yang salah dianggap sebagai PTC dengan sensitivitas 85,87%, spesifisitas 97,18%, akurasi 93,77%, dan area di bawah kurva karakteristik operasi penerima (AUC) sebesar 0,982. Model random forest (RF) berhasil mendiagnosis 529 kasus karsinoma tiroid papiler (PTC) dengan 81 kesalahan diagnosa. Kesalahan tersebut mencakup 16 kasus PTC yang salah diidentifikasi sebagai nodul lainnya, 18 sebagai karsinoma tiroid folikuler (FTC), 26 sebagai karsinoma

	tiroid meduler (MTC),
	satu kasus gondok
	nodular, dan 26 kasus
	adenoma yang salah
	didiagnosis sebagai
	PTC. Model RF
	memiliki akurasi
	86,72%, sensitivitas
	64,67%, tingkat
	kesalahan diagnosis
	13,28%, dan
	spesifisitas 96,24%.
	Sementara itu, model
	ResNet50
	mendiagnosis 546
	gambar dengan 64
	kesalahan diagnosa,
	termasuk 35 kasus
	PTC yang salah
	dianggap sebagai jenis
	nodul lainnya, 16
	kasus FTC, satu kasus
	MTC, satu kasus
	gondok nodular, dan
	11 kasus adenoma
	yang salah dianggap
	sebagai PTC.

BAB III

METODOLOGI PENELITIAN

3.1 Pendekatan Penelitian

Penelitian ini menggunakan metode Convolutional Neural Network (CNN) untuk mengklasifikasikan berbagai kelas penyakit pada tanaman padi dengan melakukan analisis komparatif antara dua arsitektur jaringan syaraf tiruan, yaitu VGG16 dan ResNet50. Convolutional Neural Network (CNN) dikenal memiliki kemampuan unggul dalam memproses gambar dan mengenali pola. CNN sangat baik untuk tugas-tugas pengenalan citra karena dapat belajar dan mengekstraksi fitur dari data gambar secara otomatis, mengurangi ketergantungan pada ekstraksi fitur secara manual, yang sering kali memakan waktu dan tidak efisien.

3.2 Populasi dan sampel penelitian

Sampel penelitian ini diambil dari gambar-gambar yang menunjukkan penyakit pada tanaman padi yang dapat diakses melalui platform Kaggle. Dalam total, terdapat 2095 gambar daun padi yang dipilih, yang mencakup beberapa jenis penyakit, yaitu 300 Sampel Bercak coklat (*brown spot disease*), 634 Sampel Bercak daun (*blast disease*), 149 sampel Gosong palsu (*false smut disease*), 349 sampel Hawar daun bakteri (*bacterial blast disease*) dan juga 663 Sampel Daun yang sehat (*healthy*). Relevansi foto dengan tujuan penelitian, ketersediaan data yang memadai, dan kualitas foto yang memenuhi standar yang telah ditentukan adalah beberapa kriteria yang menentukan pemilihan sampel. Dengan cara ini, diharapkan bahwa penelitian dapat memberikan hasil yang lebih akurat dan dapat diandalkan tentang mengidentifikasi penyakit tanaman padi.

3.3 Metode Pengumpulan Data

3.2.1 Data Sekunder

Data sekunder berupa gambar yang diperoleh melalui platform *Kaggle* yang memiliki rentang waktu 11-12-2023 sampai dengan 07-07-2024 dan data gambar yang diperoleh sebanyak 2095. Data yang diambil dalam rentang waktu 7 bulan memiliki tujuan agar memberikan ruang untuk mengumpulkan data yang lebih beragam yang nantinya dapat meningkatkan akurasi dan hasil yang diharapkan untuk membandingkan kedua model yang digunakan.

3.2.2 Studi Pustaka

Studi Pustaka pada penelitian ini dilakukan untuk mengumpulkan, menganalisis, dan merangkum berbagai penelitian dan teori yang telah dilakukan sebelumnya. Penelitian ini memiliki beberapa tujuan penting untuk studi pustaka. Studi pustaka juga membantu menjelaskan metodologi yang digunakan dalam penelitian dengan mencari referensi seperti dari penelitian sejenis, artikel jurnal, skripsi maupun thesis baik berbentuk fisik maupun elektronik dalam upaya pemecahan masalah.

3.4 Prosedur penelitian

Prosedur penelitian adalah serangkaian langkah dan tahapan yang digunakan sebagai kerangka pemikiran untuk menyelesaikan masalah penelitian. Dalam prosedur ini, terdapat alat-alat yang digunakan untuk pengumpulan dan pengolahan

data, serta tahapan yang membantu dalam penyelesaian masalah dan penulisan laporan penelitian. Prosedur penelitian dapat digambarkan sebagai berikut :



Gambar 3.4 Prosedur Penelitian

Berikut adalah penjelasan rinci mengenai setiap langkah dalam prosedur penelitian:

1. Identifikasi masalah

Tahap ini dimulai dengan menemukan masalah pertanian yang signifikan, serangan penyakit pada tanaman padi. Masalah ini menjadi latar belakang penting yang menunjukkan betapa pentingnya mendeteksi dan mengklasifikasikan penyakit dengan cepat untuk meningkatkan produksi pertanian dan ketahanan pangan.

2. Studi literatur

Setelah mengidentifikasi masalah, pencarian referensi / literatur untuk mendapatkan informasi. Tujuan dari tinjauan ini adalah untuk membuat

dasar teori yang kuat, memahami konsep terkait seperti Deep Learning dan desain CNN, dan menemukan celah dalam penelitian yang ada.

3. Penentuan populasi dan sampel

Selanjutnya, membuat populasi yang terdiri dari semua gambar penyakit tanaman padi yang diambil dari platform Kaggle. Populasi tersebut terdiri dari 2042 gambar daun yang menampilkan berbagai jenis penyakit, seperti bercak coklat (*brown spot disease*), bercak daun (*blast disease*), gosong palsu (*false smut disease*), hawar daun bakteri (*bacterial blast disease*) dan juga daun yang sehat (*healthy*). Untuk memastikan bahwa data memenuhi standar kualitas yang diperlukan, pemilihan sampel dilakukan dengan teliti.

4. Implementasi dan pelatihan model

Setelah data siap, proses implementasi model VGG16 dan ResNet50 dilakukan dengan menggunakan *framework* TensorFlow dan Keras. Parameter-parameter model disesuaikan sesuai dengan kebutuhan penelitian, untuk memastikan performa maksimal selama proses pelatihan. Model yang telah diimplementasikan kemudian dilatih menggunakan dataset yang telah diproses. Selama proses pelatihan, dilakukan pemantauan terhadap metrik evaluasi, seperti akurasi, kehilangan (loss), presisi, recall, dan F1-score, untuk menilai efektivitas model.

5. Evaluasi model dan analisis hasil

Setelah pelatihan, model diuji dengan *dataset* yang telah disiapkan sebelumnya. Hasil evaluasi ini mencakup akurasi, presisi, recall, skor F1, dan waktu pemrosesan. Evaluasi ini sangat penting untuk menentukan model mana yang lebih efisien dan efektif dalam mengklasifikasikan

penyakit tanaman padi. Hasil dari evaluasi kedua model dianalisis untuk memahami perbedaan performa antara VGG16 dan ResNet50. Analisis ini memberikan wawasan mengenai kelebihan dan kekurangan masing-masing arsitektur dalam konteks aplikasi di lapangan.

6. Penulisan laporan

seluruh hasil penelitian disusun dalam sebuah laporan. Laporan ini mencakup deskripsi metodologi, analisis data, kesimpulan, serta rekomendasi untuk penelitian lanjutan. Dengan demikian, laporan ini tidak hanya menyajikan hasil penelitian, tetapi juga menawarkan panduan yang berguna bagi peneliti lain dan praktisi di bidang pertanian.

3.5 Perangkat penelitian

Perangkat penelitian merupakan komponen penting dalam pelaksanaan suatu penelitian, karena berfungsi sebagai alat utama untuk mengumpulkan, menganalisis, dan menginterpretasikan data. Perangkat penelitian yang digunakan dalam penelitian ini meliputi perangkat keras (*hardware*) dan perangkat lunak (*software*) yang dipilih sesuai dengan kebutuhan penelitian. Berikut deskripsi tiap – tiap perangkat:

Tabel 3. 1 Kebutuhan Perangkat Keras

No.	Nama perangkat	Deskripsi perangkat		
1	Laptop	Lenovo Legion Slim 5 16APH8		
2	Processor	AMD Ryzen 7840HS		
3	Graphical processing Unit (GPU)	NVIDIA GeForce RTX 4050		

4	Random access memory (RAM)	16 GB
5	Storage	512 GB SSD

Tabel 3.2 Kebutuhan Perangkat Lunak

No.	Nama perangkat	Deskripsi perangkat
1	Windows 11 64-bit	Sistem operasi
2	Anaconda Environment	Tools yang digunakan untuk pengelolaan dan membangun sistem serta membuat dan melatih model yang akan digunakan.
3	Python 3.9	Bahasa pemrograman yang akan digunakan untuk membangun sistem
4	OS	Pustaka <i>python</i> untuk membaca dan menulis sistem berkas pada sistem operasi
5	Numpy	Pustaka <i>python</i> untuk memanipulasi array multidimensi
6	Matplotlib dan Seaborn	Pustaka <i>python</i> untuk visualisasi data
7	OpenCV	Pustaka untuk pemrosesan gambar
8	Scikit-learn	Pustaka <i>python</i> yang menyediakan algoritma dan fungsi untuk analisis data, termasuk dalam <i>clustering</i>

3.6 Waktu penelitian

Tabel 3.3 Waktu Penelitian

NI	Tahapan	2024	2025	2025	2025	2025	
No.		Desember	Januari	Februari	Maret	April	
1	Pengajuan						
	Judul						
2	Pengumpulan						
	data						
3	Penyusunan						
	Proposal						
4	Seminar						
	proposal						
5	Analisis data						
	dan penelitian						
6	Penyusunan						
	skripsi						
7	Sidang meja						
	hijau						
8	Penyempurnaan						
	skripsi dan						
	penulisan						
	artikel jurnal						

BAB IV

HASIL DAN PEMBAHASAN

4.1 Hasil Penelitian

4.1.1 Dataset Pelatihan

Penelitian ini menggunakan dataset citra penyakit tananaman padi yang terdiri dari 4 kategori diantaranya *Brown spot disease* (Bercak coklat), *Blast disease* (Bercak daun), *False smut disease* (Gosong palsu), *Bacterial leaf blight disease* (Hawar daun bakteri) dan *Healthy* (Daun sehat). Dataset diambil melalui *platform Kaggle* dengan total sebanyak 2095 gambar. Data gambar yang diambil memiliki ukuran 244 x 244 dengan pencahayaan normal dan kualitas gambar yang perlu di perhatikan agar dapat meningkatkan kinerja pada proses pelatihan model.

4.1.2 Pelatihan Model

Pelatihan model terdiri dari beberapa tahap yang dimana proses ini dilakukan setelah mengumpulkan dataset untuk pelatihan model yang telah dijelaskan sebelumnya. Penelitian ini akan membandingkan performa dari kedua arsitektur yaitu VGG16 dan ResNet50. Berikut adalah beberapa proses dan tahap yang dilalui untuk pelatihan model yaitu :

1. Import Library

Import library merupakan suatu proses dalam memuat pustaka eksternal ke dalam program yang berfungsi agar dapat menggunakan modul – modul yang sudah tersedia di dalamnya. Perintah ini dilakukan dengan mengetik perintah import agar bisa mengakses berbagai fitur tanpa perlu menulis

ulang kodenya dari 0 yang akan menghemat waktu. Berikut adalah library yang di import untuk memperoses pelatihan ini :

```
import os
import numpy as np
import matplotlib.pyplot as plt
import seaborn as sns
import cv2
from tensorflow import keras
from sklearn.model_selection import train_test_split
from sklearn.preprocessing import LabelEncoder
from sklearn.metrics import confusion_matrix, classification_report
from tensorflow.keras.preprocessing.image import ImageDataGenerator
from keras.utils import to_categorical
from keras.models import Sequential
from keras.layers import Dense, Flatten, Dropout, GlobalAveragePooling2D
from keras.applications import VGG16
from keras.callbacks import EarlyStopping, ReduceLROnPlateau
```

Gambar 4.1.1 Import Library

Adapun *library* yang di *import* antara lain yaitu *import os* yang berfungsi mengelola sistem file dan direktori sekaligus membaca file dataset dan mengatur *path file. Import numpy as np* berfungsi sebagai manipulasi *array* numerik dan digunakan untuk menyimpan dan mengolah data dalam bentuk *array. Import matplotlib.pyplot as plt* berfungsi untuk visualisasi data dan digunakan untuk menampilkan kurva *training* ataupun gambar dataset. *import seaborn as sns* berfungsi sebagai visualisasi data berbasis *matplotlib* tetapi dengan tampilan yang lebih menarik dan membantu memvisualisasikan distribusi data atau *heatmap confusion matrix* hasil evaluasi model. *Import cv2* digunakan untuk pengolahan citra dan digunakan untuk membaca, mengedit dan memproses gambar.

Berikutnya ada from tensorflow import keras berfungsi untuk menggunakan fitur Keras dalam Tensorflow yang digunakan untuk membangun, melatih, dan mengelola model deep learning. from sklearn.model selection import train test split digunakan untuk membagi dataset menjadi data training dan testing misalnya 80% training 20% testing. from sklearn.preprocessing import LabelEncoder digunakan untuk mengkonversi label kategori menjadi angka agar bisa mengubah label dari kelas menjadi numerik agar bisa digunakan oleh model. from sklearn.metrics import confusion matrix, classification report digunakan untuk menghitung metrik evaluasi untuk model klasifikasi. from tensorflow.keras.preprocessing.image import *ImageDataGenerator* berfungsi untuk menggunakan augmentasi data gambar memperbanyak variasi gambar saat training. from keras.utils import to categorical digunakan untuk mengonversi label numerik menjadi onehot-encoding. from keras.models import Sequential digunakan untuk membuat model neural network secara berurutan. from keras.layers import Dense, Flatten, Dropout, GlobalAveragePooling2D berfungsi untuk menggunakan beberapa layer dalam deep learning. from keras.applications import VGG16, ResNet50 menggunakan model VGG16 dan ResNet50 yang telah dilatih sebelumnya (Pre-Trained Model) tanpa melatih dari awal. from keras.callbacks import EarlyStopping, ReduceLROnPlateau memiliki fungsi callbacks untuk mengontrol proses pelatihan model.

2. Memuat dan memproses dataset

Langkah berikutnya adalah memuat dan memproses dataset yang sudah dikumpulkan sebelumnya. Berikut adalah pembahasannya secara menyeluruh:

Gambar 4.1.2 Pemrosesan Dataset

Pada bagian *path dataset* terdapat *image_path* sebagai Path folder utama yang berisi dataset gambar. Kemudian ada *categories* merupakan daftar nama folder yang berisi gambar untuk setiap kategori penyakit padi. Kemudian fungsi *load_images* yang berfungsi untuk membaca, memproses, dan menyimpan gambar. Pada bagian membaca dan memproses gambar terjadi proses mengambil semua file yang ada dalam kategori dengan memastikan hanya file yang berupa gambar yang akan di proses yang kemudian akan di *Resize* menjadi 128 x 128 *pixel* agar ukuran gambar seragam yang kemudian akan gambar – gambar tersebut akan dikonversi

menjadi *Array Numpy* agar mudah digunakan dalam model. Terakhir menjalankan fungsi menampilkan jumlah data yang berhasil dimuat dan jumlah labelnya.

3. Datasets preprocessing

Langkah berikutnya adalah menampilkan sampel gambar dari dataset setelah *preprocessing* seperti pada gambar 4.1.3..

```
#menampilkan 9 gambar acak dari datasets
def display_sample_images(images, labels, class_names):
    plt.figure(figsize=(10, 10))
for i in range(9):
    idx = np.random.randint(len(images))
    plt.subplot(3, 3, i + 1)
    plt.imshow(images[idx])
    plt.title("Pred: " + class_names[labels[idx]])
    plt.axis('off')

plt.show()
```

Gambar 4.1.3 Data Pre-processing

Fungsi ini memiliki tujuan untuk memilih 9 gambar secara acak dari dataset yang telah di proses sebelumnya kemudian menampilkannya dalam *grid* 3x3 dengan memberikan judul gambar dengan nama kelas berdasarkan labelnya kemudian menghilangkan sumbunya agar tampilannya lebih rapi.

```
#Label encoding dan One-hot encoding
le = LabelEncoder()
labels_encoded = le.fit_transform(labels)
labels_encoded = to_categorical(labels_encoded)
```

Gambar 4.1.4 Proses Encoding

Pada gambar 4.1.4.. terjadi proses *Label encoding* dan *One-Hot encoding* yang dimana proses *LabelEncoder()* mengonversinya menjadi angka misalnya, "*Bacterial Blight Disease*" → 0, "*Blast Disease*" → 1 dan sampai seterusnya. Kemudian proses *to_categorical(labels_encoded)* mengonversi label numerik menjadi *One-Hot encoding* yang merupakan bagian yang penting untuk model *deep learning* yang menggunakan *Softmax* di *output layer*.



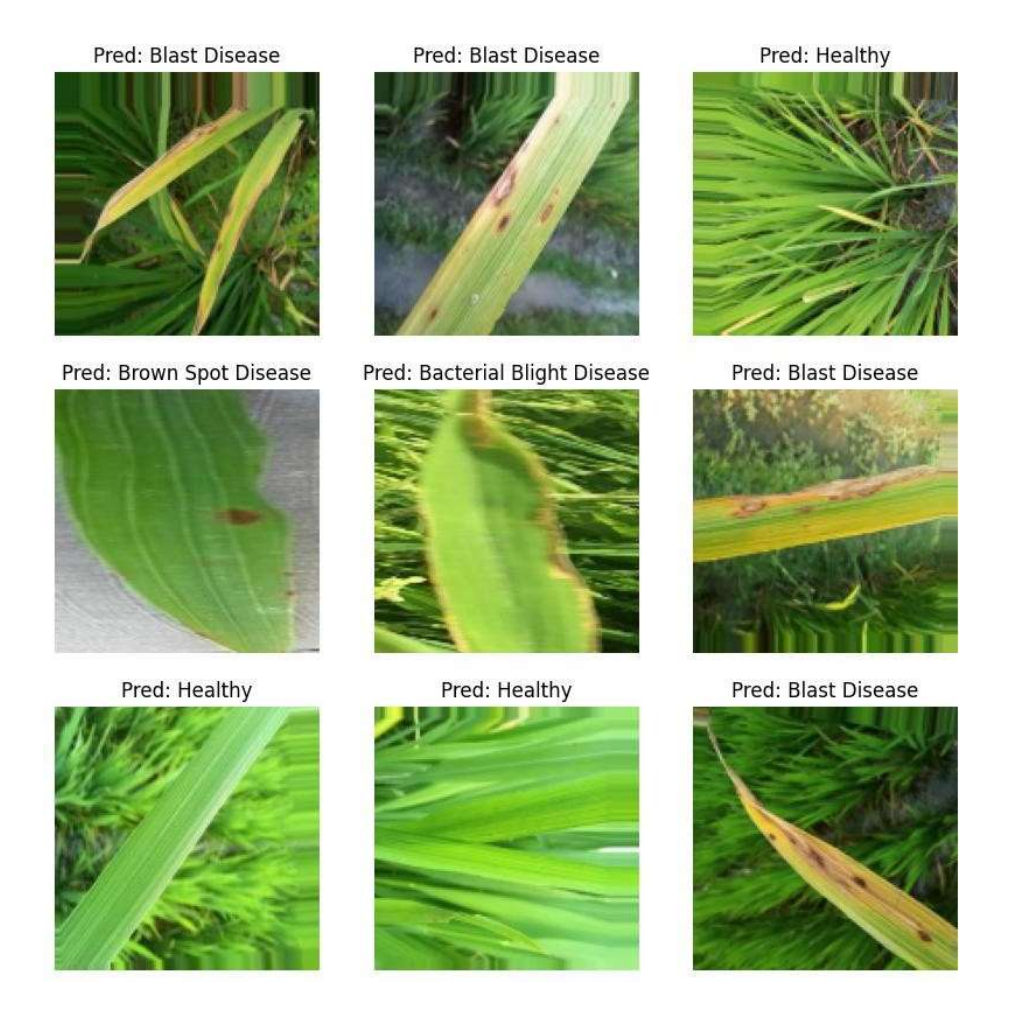
Gambar 4.1.5 Normalisasi Data

Kemudian pada gambar 4.1.5 membagi setiap *pixel* gambar dengan 255 agar nilainya berada dalam rentang 0-1 yang membantu mempercepat konvergensi saat pelatihan model.

```
#Menampilkan gambar dan mendapatkan nama kelas
class_names = le.classes_
display_sample_images(images, labels_encoded.argmax(axis=1), class_names)
```

Gambar 4.1.6 Mengkategorikan Gambar

Pada gambar 4.1.6 mendapatkan nama kelas yang telah diencode terdapat fungsi *display_sample_images()* agar menampilkan gambar dengan nama kelasnya, Hasilnya sebagai berikut!



Gambar 4.1.7 Menampilkan Gambar Berdasarkan Kelas

Kemudian pada gambar 4.1.8 dilanjutkan dengan membagi dataset menjadi 80% data *training* dan 20% untuk data testing dengan pembagian data yang konsisten setiap kali dijalankan.

```
1 X_train, X_test, y_train, y_test = train_test_split(
2 images, labels_encoded, test_size=0.2, random_state=42)
```

Gambar 4.1.8 Training test_split

4. Data Augmentation

Langkah selanjutnya adalah Augmentasi data atau peningkatan variasi data yang dimana pada proses ini yang pertama adalah memutar gambar maksimal 40 derajat secara acak kemudian menggeser gambar horizontal dan vertikal sebanyak 20% dari ukuran aslinya. Kemudian ada shear_range=0.2 yaitu menerapkan distorsi kemiringan (shear) hingga 20% memperbesar atau memperkecil gambar hingga 20% kemudian membalik gambar secara horizontal dan mengisi area kosong akibat transformasi dengan warna pixel terdekat dan fungsi datagen.fit(x_train) digunakan untuk menerapkan persiapan augmentasi pada dataset training.

```
# Data Augmentation
datagen = ImageDataGenerator(
    rotation_range=40, width_shift_range=0.2,
    height_shift_range=0.2, shear_range=0.2, zoom_range=0.2,
    horizontal_flip=True, fill_mode='nearest'
)
datagen.fit(X_train)
```

Gambar 4.1.9 Augmentasi Data

5. Model ResNet50

```
resnet_base = ResNet50(weights='imagenet', include_top=False, input_shape=(128, 128, 3))

model = Sequential()
model.add(resnet_base)
model.add(SobalAveragePooling2D())
model.add(Dense(512, activation='relu'))
model.add(Dense(256, activation='relu'))
model.add(Dense(256, activation='relu'))
model.add(Dense(len(categories), activation='softmax'))

model.add(Dense(len(categories), activation='softmax'))

model.compile(optimizer='adam', loss='categorical_crossentropy', metrics=['accuracy'])

model.compile(optimizer='adam', loss='categorical_crossentropy', metrics=['accuracy'])
```

Gambar 4.1.10 Model ResNet50

Pada gambar 4.1.10 menggunakan model ResNet50 yang telah dilatih di *ImageNet* sebagai *Feature extractor*, *weights="imagenet"* berfungsi memuat bobot *pretrained* dari dataset *ImageNet*. Kemudian, *include_top=False* menghapus *fully connected* bawaan ResNet50, agar bisa di gunakan untuk kasus dataset penyakit tanaman padi. *Input_shape=(128, 128, 3)* merupakan ukuran input gambar 128 x 128 pixel dengan 3 channel warna (RGB).

Tahap berikutnya yaitu membuat model dengan fungsi sequential() dengan menambahkan resnet base sebagai lapisan pertama dan menambahkan lapisan klasifikasi model.add(Global yaitu AveragePooling2D()) untuk menggantikan fully connected layer dari ResNet50 dengan mengubah fitur keluaran dari ResNet50 menjadi 1D vektor. Kemudian, menambahkan fully connected layer sebanyak 512 dituliskan dalam fungsi model.add(Dense(512, neuron yang activation='relu')) dan mencegah overfitting dengan membuang 50% neuron acak saat training model.add(Dropout(0.5)).

Kemudian, ditambahkan *fully connected layer* sebanyak 256 neuron dan dropout sebanyak 30%. Lalu dibuat layer output untuk klasifikasi *model.add(Dense(len(categories), activation='softmax'))* dengan jumlah kelas (kategori penyakit tanaman padi) dan *softmax* digunakan sebagai fungsi aktivasi karena penelitian ini merupakan *multi-class classification problem.* Terakhir, menggunakan *Adam Optimizer* untuk training dan *categorical crossentropy* digunakan karena penelitian ini memiliki 4 kelas

dan menggunakan *one-hot encoding* kemudian menggunakan akurasi sebagai metrik evaluasi.

6. Optimasi Training ResNet50

Gambar 4.1.11 Optimasi training model

Pada gambar 4.1.11 digunakan fungsi *Callbacks* untuk menghentikan *training* lebih awal jika model mulai *overfitting* dan menyesuaikan *learning* rate jika diperlukan. *Monitor_val='var_loss'* digunakan untuk memantau nilai *loss* pada data validasi yang dimana fungsi *patience=10* digunakan jika nilai *loss* tidak membaik selama 10 *epoch* berturut – turut maka proses training akan dihentikan. Kemudian, setelah training berhenti model akan menggunakan bobot terbaik yang diperoleh selama training.

Jika model kesulitan dalam memperbaiki loss, *learning rate* diturunkan agar bisa belajar dengan lebih baik. *Factor=0.2* akan mengurangi *learning rate* menjadi 20% dari nilai sebelumnya kemudian, jika dalam 5 *epoch* berturut – turut tidak membaik maka *learning rate* akan dikurangi dengan batas minimum *learning rate* yaitu 0.00001 agar model tetap bisa berjalan. Model akan dilatih dengan *Data Augmentation* dengan menggunakan 32 gambar per *batch* dalam satu iterasi dan data testing berupa *validation_data=(X_test, y_test)* tidak diaugmentasi yang akan digunakan untuk evaluasi model dengan model yang dilatih maksimal pada 50 *epochs*.

Gambar 4.1.12 Hasil epochs

Gambar 4.1.12 dapat dilihat bagaimana performanya pada data validasi hasil dari 10 *epochs* pertama. *Training loss & Accuracy* menunjukkan bahwa *loss* menurun yang dimana awalnya sangat tinggi dari 0.8950 menjadi 0.2930, artinya model semakin bisa menyesuaikan dengan data. Akurasi meningkat dari 71.83% menjadi 91.67% ini menunjukkan bahwa model mulai mengenali pola dalam dataset.

Pada *Validation loss & Accuracy* yang dimana awalnya *val_loss* sangat tinggi yaitu 5882.4849 dan tetap tinggi di *epochs* selanjutnya. Kemudian *val_accuracy* mengalami stagnan di angka 31-31%, lalu turun drastis menjadi 7.82% di *epoch 5* dan tetap buruk setelahnya yang dimana ini artinya adalah model gagal menggeneralisasi ke data validasi.

Gambar 4.1.13 Hasil epochs kedua

Kemudian terlihat pada gambar 4.1.13 setelah selesai 50 *epochs* dapat dilihat performa model sudah membaik dari sebelumnya dimana *Loss* turun menjadi 0.1174 yang artinya model sudah cukup baik dalam mengenali data *training* dengan akurasi sebesar 96.14% yang menunjukkan bahwa model dengan sangat baik mengenali pola pada dataset *training*.

Validation loss naik menjadi 94.13% di akhir epoch ini menunjukkan bahwa model bisa mengenali data validasi dengan baik. Pada bagian val_loss awalnya stabil tetapi ada beberapa lonjakan yang cukup aneh yaitu pada epoch 45 val_loss tiba – tiba naik ke angka 48.0884 dan accuracy turun drastis menjadi 35.21%. epoch ke – 46 val_loss turun menjadi 2.0755 dan val_accuracy kembali naik menjadi 53.79% kemudian, pada epoch 47 – 50 val_loss kembali normal disekitar 0.1446 – 0.2366 dan val_accuracy meningkat kembali menjadi 94.13% yang dimana ini artinya model hampir sempurna di training set, tetapi ada fluktuasi aneh pada validation loss dengan waktu training rata – rata 7 – 8 detik per epoch.

7. Model VGG16

```
vgg_base = VGG16(weights='imagenet', include_top=False, input_shape=(128, 128, 3))

model = Sequential()
model.add(vgg_base)
model.add(GlobalAveragePooling2D())
model.add(Dense(512, activation='relu'))
model.add(Dropout(0.5))
model.add(Dense(len(categories), activation='softmax'))

model.compile(optimizer='adam', loss='categorical_crossentropy', metrics=['accuracy'])
```

Gambar 4.1.14 Model VGG16

Model VGG16 yang akan dilatih sama seperti model ResNet50 diatas dimana model dilatih berdasarkan dengan yang telah dilatih pada *ImageNet*.

Dimana fungsi weights='ImageNet' memuat bobot pretrained dari ImageNet, kemudian menghilangkan fungsi fully connected layer dengan fungsi include_top=False bawaan agar bisa nembahkan lapisan yang baru.

Kemudian untuk model sequential ditambahkan vgg.base sebagai dasar model VGG16 dan fungsi GlobalAveragePooling2D() digunakan untuk meratakan fitur dari CNN agar tidak memiliki terlalu banyak parameter, dan ditambahkan dengan 512 neuron dengan aktivasi ReLu agar model dapat mempelajari pola yang kompleks dengan fungsi model.add(Dense(512, activation='relu')) lalu untuk mencegah overfiting maka membuang 50% dari lapisan neuron secara acak saat training dan menambahkan fungsi model.add(Dense(len(categories), activation='softmax')) untuk lapisan output sesuai dengan jumlah kelas pada dataset menggunakan softmax untuk klasifikasi.

Untuk kompilasi model digunakan *optimizer='adam'* yang cepat dan efisien untuk model *deep learning* dan *categorical_crossentropy* digunakan untuk klasifikasi multi kelas dan untuk mengevaluasi modelnya berdasarkan akurasi.

8. Optimasi Training VGG16

Gambar 4.1.15 Optimasi training VGG16

Pada gambar 4.1.15 digunakan fungsi *Callbacks* untuk menghentikan training lebih awal jika model mulai *overfitting* dan menyesuaikan *learning rate* jika diperlukan. *Monitor_val='var_loss'* digunakan untuk memantau nilai loss pada data validasi yang dimana fungsi *patience=10* digunakan jika nilai loss tidak membaik selama 10 *epoch* berturut – turut maka proses training akan dihentikan. Kemudian, setelah training berhenti model akan menggunakan bobot terbaik yang diperoleh selama training.

Jika model kesulitan dalam memperbaiki loss, *learning rate* diturunkan agar bisa belajar dengan lebih baik. *Factor=0.2* akan mengurangi *learning rate* menjadi 20% dari nilai sebelumnya kemudian, jika dalam 5 *epoch* berturut – turut tidak membaik maka *learning rate* akan dikurangi dengan batas minimum *learning rate* yaitu 0.00001 agar model tetap bisa berjalan. Model akan dilatih dengan *Data Augmentation* dengan menggunakan 32 gambar per *batch* dalam satu iterasi dan data testing berupa *validation_data=(X_test, y_test)* tidak diaugmentasi yang akan digunakan untuk evaluasi model dengan model yang dilatih maksimal pada 50 *epochs*.



Gambar 4.1.16 Hasil epochs VGG16

Pada gambar 4.1.16 adalah hasil dari 10 *epochs* pertama dalam *training* model VGG16 pertama, *loss* awalnya cukup tinggi berkisar di angka 2.2536

di *epoch* 1 yang dimana ini menunjukkan bahwa model masih kesulitan dalam memahami pola pada data latih dan pada *epoch* 10 secara bertahap *loss* menurun hingga 0.7247 yang menandakan model mulai belajar dengan baik, Kemudian akurasi meningkat dari 30.07% pada *epoch* 1 menjadi 72.63% pada *epoch* 10 yang dimana ini menunjukkan bahwa model sudah mulai mengenali pola dengan lebih baik karena menunjukkan akurasi yang signifikan.

Pada bagian *validation accuracy* naik dari 32.52% pada *epoch* 1 menjadi 81.66% pada *epoch* 10 yang menandakan bahwa model tidak hanya belajar dari data latih , tetapi juga cukup baik dalam mengenali data yang beum pernah dilihat. Untuk *validation loss* turun dari 1.4752 menjadi 0.5270 pada *epoch* 10 yang menunjukkan model semakin akurat dalam memprediksi data validasi , Namun terjadi fluktuasi pada *val_loss* terutama pada *epoch* 5 dan 7, dimana *val_loss* sempat naik menjadi 1.2459 pada *epoch* 5 kemudian turun menjadi 0.7035 pada *epoch* 8.

Epoch	40/50		10.00					86					ž
52/52	[=======]	- 14	s 261ms/step		loss:	0.3532		accuracy:	0.8745	<pre>- val_loss:</pre>	0.3864	 val_accuracy 	: 0.8582
Epoch													
	[======]	- 14	s 261ms/step		loss:	0.4054		accuracy:	0.8530	val_loss:	0.3949	 val_accuracy 	: 0.8802
Epoch													
	[=======]	- 14	s 262ms/step		loss:	0.3804		accuracy:	0.8775	val_loss:	0.4168	 val_accuracy 	: 0.8680
Epoch													
	[=======]	- 14	s 261ms/step		loss:	0.4551		accuracy:	0.8610	val_loss:	0.3873	 val_accuracy 	: 0.8704
Epoch													
	[=========]	- 14	s 262ms/step		loss:	0.3897		accuracy:	0.8708	<pre>- val_loss:</pre>	0.3999	 val_accuracy 	: 0.8680
Epoch													
	[=========]	- 14	s 261ms/step		loss:	0.3280		accuracy:	0.8922	<pre>- val_loss:</pre>	0.4094	 val_accuracy 	: 0.8680
Epoch													
	[========]	- 14	s 264ms/step		loss:	0.3713		accuracy:	0.8788	<pre>- val_loss:</pre>	0.3272	- val_accuracy	: 0.9022
Epoch													
	[========]	- 14	s 264ms/step		Loss:	0.3105		accuracy:	0.8953	val_loss:	0.4171	 val_accuracy 	: 0.8680
Epoch													
	[=======]	- 14	s 264ms/step		loss:	0.2678		accuracy:	0.9869	- val_loss:	0.4615	 val_accuracy 	: 0.8289
Epoch		2.0									10000000		mark services
	[========]	- 14	s 262ms/step		Loss:	0.2703		accuracy:	0.9118	- val_loss:	0.2822	 val_accuracy 	: 0.9218
Epoch													
52/52	[========]	- 14	s 264ms/step	•	Loss:	0.2598	•	accuracy:	0.9143	- val_loss:	U.31U8	- val_accuracy	: 0.9095

Gambar 4.1.17 Hasil epochs kedua VGG16

Kemudian pada gambar 4.1.17 hasil dari keseluruhan *epochs* 50 dapat dilihat bahwa *loss* menurun dari 0.3532 menjadi 0.2598 yang menandakan model terus belajar dan menyempurnakan kemampuannya. Pada *accuracy*

meningkat dari 87.45% menjadi 91.43%. Kemudian pada bagian *val_loss* terjadi fluktuasi tetapi menurun setelahnya, dari angka 0.3864 menjadi 0.3108.

Terdapat beberapa fluktuasi aneh ada *epoch* 47 – 48, dimana *val_loss* naik menjadi 0.4615 dan *val_accuracy* turun menjadi 82.89% tetapi kembali membaik di *epoch* berikutnya yaitu pada *epoch* 49 *val_loss* turun menjadi 0.2822 dan *val_accuracy* naik menjadi 0.9218, Hasilnya model masih generalisasi dengan baik dan hanya ada sedikit inkonsistensi dalam validasi dan untuk waktu *traning* per *epoch* rata – rata sekitar 13 – 14 detik.

4.1.3 Evaluasi Model

1. Testing Accuracy ResNet50

Setelah training selesai, selanjutnya adalah mengevaluasi seberapa baik model bekerja pada data yaitu dengan uji testing seperti yang terlihat pada gambar 4.1.18

```
# Evaluate Model
test_loss, test_accuracy = model.evaluate(X_test, y_test)
print(f'Test Accuracy: {test_accuracy * 100:.2f}%')
```

Proses ini menerapkan fungsi *test_loss*, *test_accuracy* = *model.evaluate(X_test, y_test)* dengan memasukkan data uji (X_test, y_test) ke dalam model yang dimana model akan menghitung *loss* dan *accuracy* pada data uji tanpa melakukan proses training lagi proses ini mirip dengan validasi, tetapi menggunakan data yang belum pernah dipakai sebelumnya. Kemudian ada *test loss* yaitu mengukur seberapa besar

kesalahan pada data uji dan *test_accuracy* yaitu mengukur presentase prediksi yang benar pada data uji.

Gambar 4.1.18 Hasil evaluasi model ResNet50

Berikut adalah hasil dari testing dari model ResNet50 mendapatkan akurasi yang tinggi dengan angka 94.13% artinya model mampu mengenali pola dengan sangat baik pada data uji dan tidak ada *overfitting* yang signifikan karena *accuracy* tetap tinggi, untuk *loss* mendapatkan nilai yang rendah yaitu 0.2125 yang menunjukkan bahwa prediksi model tidak jauh melenceng dari label aslinya, meskipun tida sempurna tetapi model cukup stabil dalam membuat keputusan.

Model ResNet50 menunjukkan performa yang sangat baik dalam mengenali data training dengan akurasi 96.13% dan loss sebesar 0.1174, tanpa indikasi overfitting yang ekstrem. *validation loss* dan *test loss* yang hampir sama yaitu 0.2125 mengonfirmasi bahwa model tetap stabil saat diuji dengan data baru. Jika terjadi overfitting, maka *test loss* jauh lebih tinggi dibanding *training loss*, namun dalam kasus ini, keduanya seimbang. Selain itu, akurasi pada *validation* dan *test set* yang sama, yaitu 94.13%, menunjukkan bahwa model tidak hanya menghafal data *training*, tetapi juga mampu mengenali pola dengan baik pada data.

Gambar 4.1.19 Hasil Evaluasi model VGG16

Berikutnya adalah hasil dari *testing* pada model VGG16 yang terdapat pada gambar 4.1.19 mendapatkan akurasi yang juga cukup tinggi yaitu 90.95% dari seluruh sampel dalam dataset uji. Dengan inin menunjukkan bahwa model dapat mengenali pola dalam gambar dengan baik dan memiliki kemampuan generalisasi yang baik. Nilai *loss* masih dalam batas wajar yang menunjukkan bahwa kesalahan prediksi yang terjadi tidak terlalu signifikan. Tetapi kemungkinan masih ada beberapa kategori yang sulit dibedakan oleh model. Berikut tabel perbandingan dari hasil testing kedua model seperti yang ditunjukkan pada tabel 4.1:

Tabel 4.1 Perbandingan antara kedua model

Model	Test loss	Test accuracy		
ResNet50	0.2125	94.13%		
VGG16	0.3108	90.95%		

Analisis perbandingan hasil testing dari kedua model yaitu dalam hal akurasi model ResNet50 lebih unggul jika dibandingkan dengan VGG16 dimana model ResNet50 mendapatkan akurasi sebesar 94.13% sedangkan model VGG16 mendapatkan akurasi sebesar 90.95% dalam hal ini artinya model ResNet50 lebih baik dalam mengenali pola dan membuat prediksi yang benar pada data uji. Kemudian, untuk *loss* model ResNet50 memiliki nilai yang rendah yaitu dengan angka 0.2125 dibandingkan dengan model VGG16 mendapatkan angka 0.3108, untuk hal ini nilai *loss* yang lebih kecil menunjukkan bahwa model lebih baik dalam meminimalkan kesalahan selama prediksi.

Kemudian pada bagian *generate prediction* yang di tunjukkan pada gambar... model yang sudah dilatih digunakan untuk memprediksi data uji yaitu X_test, mengubah hasil prediksi probabilitas menjadi kelas dengan fungsi *argmax* dan mengubah label yang sebenarnya yaitu y_test menjadi format yang sama untuk perbandingan.

```
# Generate predictions
y_pred = model.predict(X_test)
y_pred_classes = np.argmax(y_pred, axis=1)
y_true = np.argmax(y_test, axis=1)
```

Gambar 4.1.20 menunjukkan *output* pada model ResNet50 yang menunjukkan waktu *interfensi*/prediksi yang dimana model telah memproses 13 dari 13 *batch* data dengan total waktu yang dibutuhkan adalah 1 detik dan waktu rata – rata yang dibutuhkan per *batch* adalah 33 milidetik.

```
13/13 [=======] - 1s 33ms/step
```

Gambar 4.1.20 Waktu interfensi ResNet50

Selanjutnya pada model VGG16 menunjukkan *output* waktu interfensi/prediksi yaitu model telah memproses 13 dari 13 *batch* data dengan total waktu yang dibutuhkan adalah 1 detik dengan waktu rata – rata yang dibutuhkan per *batch* adalah 56 milidetik.



Gambar 4.1.21 Waktu interfensi VGG16

2. Confusion Matrix ResNet50

Selanjutnya adalah menganalisis performa model menggunakan confusion matrix yaitu matriks yang berfungsi untuk menunjukkan jumlah prediksi benar dan prediksi salah untuk setiap kelas

Gambar 4.1.22 Confusion matrix

Proses ini mengambil label asli dari data uji yaitu *y_true* dan prediksi model *y_pred_class* yang hasilnya adalah matriks N x N yang dimana N adalah jumlah kelas. Kemudian, untuk membuat tampilan yang lebih jelas digunakan *sns.heatmap()* dan fungsi *annot_True* untuk menampilkan angka didalam kotak heatmap dan menggunakan skema warna hijau diberikan nama kelas agar lebih informatif yaitu *xticklabels* dan *yticklabels*. Kemudian penambahan label dan judul pada sumbu X adalah kelas yang memprediksi model dan sumbu Y adalah kelas yang sebenarnya.

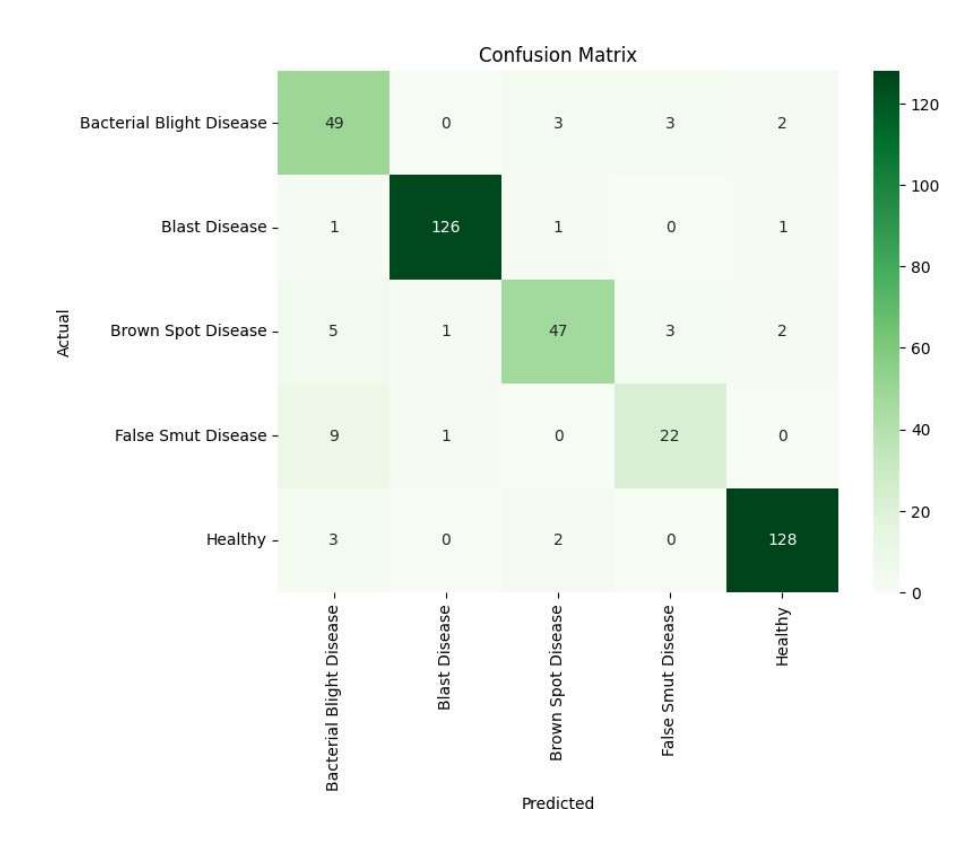


Gambar 4.1.23 Hasil confusion matrix ResNet50

Gambar 4.1.23 merupakan hasil dari *confusion matrix* dari model ResNet50 terlihat bahwa untuk *Bacterial Blight Disease*, model berhasil mengklasifikasikan dengan benar sebanyak 46 sampel, meskipun masih terjadi beberapa kesalahan dengan 3 sampel dikira *Brown Spot Disease*, 7 sampel diklasifikasikan sebagai *False Smut Disease*, dan 1 sampel dianggap sebagai *Healthy*. Sementara itu, *Blast Disease* memiliki performa paling akurat dengan 122 sampel diklasifikasikan dengan benar. Kesalahan yang terjadi relatif kecil, dengan masing-masing 3 sampel yang salah diklasifikasikan sebagai *Bacterial Blight Disease*, *False Smut Disease*, dan *Healthy*. Model menunjukkan kemampuan yang hampir sempurna dalam mengenali penyakit ini.

Pada *Brown Spot Disease*, model berhasil mengklasifikasikan 56 sampel dengan benar, hanya dengan 2 kasus yang salah dikategorikan sebagai *False Smut Disease*. Ini menunjukkan bahwa model memiliki akurasi tinggi dalam mendeteksi penyakit ini. *False Smut Disease* sendiri juga memiliki akurasi yang cukup baik dengan 30 sampel yang benar terdeteksi. Namun, masih ada 1 kasus yang salah dikategorikan sebagai *Bacterial Blight Disease* dan 1 kasus sebagai *Healthy*. Kategori *Healthy* memiliki akurasi yang hampir sempurna dengan 131 sampel diklasifikasikan dengan benar, hanya dengan 1 kesalahan yang salah dianggap sebagai *False Smut Disease*. Secara keseluruhan, model memiliki tingkat akurasi yang sangat tinggi dengan mayoritas penyakit diklasifikasikan dengan benar.

Sementara itu pada gambar 4.1.24 dibawah merupakan hasil dari confusion matrix dari model VGG16 yang terlihat bahwa model menunjukkan performa yang baik dalam mengenali Blast Disease, dengan 126 kasus yang diklasifikasikan dengan benar, hanya terdapat 1 kasus yang salah diklasifikasikan sebagai Bacterial Blight Disease, 1 kasus sebagai Brown Spot Disease, dan 1 kasus sebagai Healthy. Ini menunjukkan bahwa model mampu mengenali Blast Disease dengan tingkat keakuratan yang tinggi.



Gambar 4.1.24 Hasil confusion matrix VGG16

Blight Pada bagian Bacterial Disease, model berhasil mengklasifikasikan 49 kasus dengan benar, namun masih terdapat 3 kasus yang salah diklasifikasikan sebagai Brown Spot Disease, 3 kasus sebagai False Smut Disease, dan 2 kasus sebagai Healthy. Hal ini menunjukkan bahwa model terkadang mengalami kesulitan dalam membedakan Bacterial Blight Disease dengan Brown Spot Disease dan False Smut Disease. Brown Spot Disease, terdapat 47 kasus yang diklasifikasikan dengan benar, sementara 5 kasus salah diklasifikasikan sebagai Bacterial Blight Disease, 1 kasus sebagai Blast Disease, 3 kasus sebagai False Smut Disease, dan 2 kasus sebagai Healthy. Ini mengindikasikan bahwa Brown

Spot Disease memiliki beberapa kemiripan dengan kelas lainnya, terutama dengan Bacterial Blight Disease.

Kemudian, *False Smut Disease* diklasifikasikan dengan benar sebanyak 22 kasus, namun terdapat 9 kasus yang salah diklasifikasikan sebagai *Bacterial Blight Disease*, 1 kasus sebagai *Blast Disease*, dan 0 kasus salah sebagai *Brown Spot Disease* atau *Healthy*. Ini menunjukkan bahwa model mengalami kesulitan dalam membedakan *False Smut Disease* dari *Bacterial Blight Disease*. Terakhir, untuk tanaman sehat (Healthy), model berhasil mengklasifikasikan 128 kasus dengan benar, tetapi masih terdapat 3 kasus yang salah diklasifikasikan sebagai *Bacterial Blight Disease*, dan 2 kasus sebagai *Brown Spot Disease*. Ini menunjukkan bahwa model dapat mengenali tanaman sehat dengan baik, tetapi ada beberapa kasus di mana tanaman sehat dikira sebagai tanaman yang terkena penyakit tertentu.

Secara keseluruhan, model VGG16 menunjukkan performa yang cukup baik dengan mayoritas kelas memiliki tingkat klasifikasi yang akurat. Kesalahan klasifikasi yang terjadi terutama pada penyakit yang memiliki karakteristik visual yang mirip, seperti antara *Bacterial Blight Disease* dan *False Smut Disease*, serta *Brown Spot Disease* dan *Bacterial Blight Disease*.

4.1.4 Classification Report

Setelah model dilatih dan diuji untuk mengenali berbagai jenis penyakit pada tanaman padi berdasarkan citra yang diberikan Evaluasi model dilakukan dengan menggunakan *classification report* yang memberikan gambaran

mengenai tingkat akurasi, presisi, recall, serta F1-score untuk setiap kategori. Selain itu, *confusion matrix* digunakan untuk menganalisis distribusi prediksi model terhadap data sebenarnya, yang membantu dalam memahami pola kesalahan dan keakuratan klasifikasi. Berikut terlihat pada gambar 4.1.25

```
# Classification Report
class_report = classification_report(y_true, y_pred_classes, target_names=class_names)
print('Classification Report:')
print(class_report)

plt.figure(figsize=(12, 4))
plt.subplot(1, 2, 1)
plt.plot(history.history['loss'], label='Train Loss')
plt.plot(history.history['val_loss'], label='Validation Loss')
plt.legend()
plt.title('Loss')

plt.subplot(1, 2, 2)
plt.plot(history.history['accuracy'], label='Train Accuracy')
plt.plot(history.history['val_accuracy'], label='Validation Accuracy')
plt.legend()
plt.title('Accuracy')

plt.show()
```

Gambar 4.1.25 Classification report

Untuk melihat bagaimana model belajar selama proses *training*, visualisasi *grafik loss* dan *accuracy* juga disertakan. Grafik ini menunjukkan perubahan nilai *loss* dan akurasi dari tahap pelatihan hingga validasi, yang dapat digunakan untuk mengevaluasi stabilitas serta generalisasi model terhadap data baru. Dengan hasil evaluasi ini, kita dapat menilai seberapa efektif model dalam melakukan prediksi dan apakah masih terdapat area yang perlu diperbaiki untuk meningkatkan performa klasifikasi. Berikut hasilnya tampak pada gambar 4.1.26

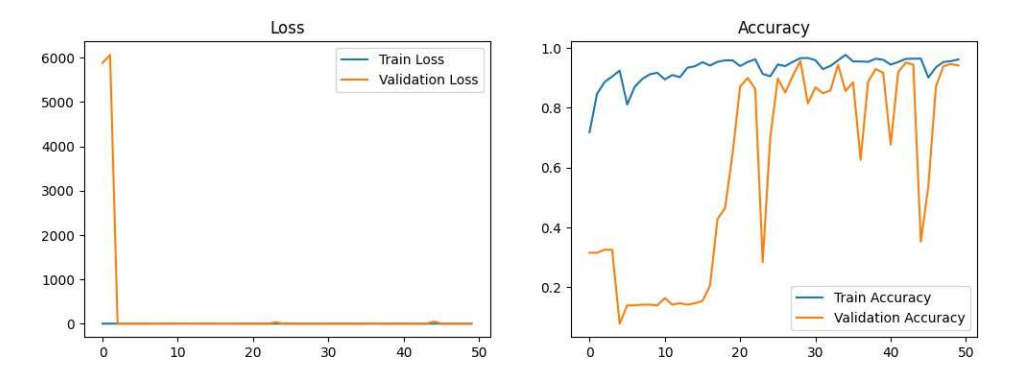
Classification Report:								
	precision	recall	f1-score	support				
Bacterial Blight Disease	0.90	0.81	0.85	57				
Blast Disease	1.00	0.95	0.97	129				
Brown Spot Disease	0.95	0.97	0.96	58				
False Smut Disease	0.70	0.94	0.80	32				
Healthy	0.98	0.98	0.98	133				
accuracy			0.94	409				
macro avg	0.91	0.93	0.91	409				
weighted avg	0.95	0.94	0.94	409				

Gambar 4.1.26 Classification report ResNet50

Hasil *classification report* untuk model ResNet50 menunjukkan bahwa model memiliki akurasi tinggi, yaitu 94%, dengan performa yang sangat baik dalam mengklasifikasikan penyakit tanaman padi dan tanaman sehat. *Precision* tertinggi dicapai oleh *Blast Disease* (1.00), yang berarti setiap prediksi penyakit ini selalu benar, sedangkan *False Smut Disease* memiliki *precision* terendah (0.70), menandakan masih ada beberapa kasus yang diklasifikasikan salah. Dari sisi *recall*, *False Smut Disease* memiliki nilai tinggi (0.94), menunjukkan bahwa model jarang melewatkan kasus penyakit ini, meskipun *precision*-nya lebih rendah. *F1-score* tertinggi dimiliki oleh *Healthy* (0.98) dan *Blast Disease* (0.97), yang menandakan bahwa model sangat andal dalam mendeteksi kedua kategori tersebut.

Sementara itu, *Bacterial Blight Disease* memiliki *recall* 0.81, yang berarti masih ada kasus yang salah diklasifikasikan ke kelas lain. Dengan nilai *macro average precision* 0.91, *recall* 0.93, dan *F1-score* 0.91, serta *weighted average* yang lebih tinggi (*precision* 0.95, *recall* 0.94, *F1-score* 0.94), model ini menunjukkan performa yang sangat baik secara keseluruhan. Namun, tantangan

utama terletak pada klasifikasi *False Smut Disease*, yang masih memiliki *precision* lebih rendah dibanding kelas lain. Meskipun begitu, model ini sudah cukup andal untuk digunakan dalam deteksi penyakit tanaman padi dengan hanya sedikit kesalahan klasifikasi.



Gambar 4.1.27 Grafik ResNet50

Grafik Loss dan Accuracy menunjukkan tren pelatihan dan validasi model selama 50 epoch. Pada grafik Loss, terlihat bahwa Train Loss tetap rendah sepanjang proses pelatihan, sedangkan Validation Loss mengalami lonjakan ekstrem pada awalnya sebelum turun mendekati nol. Ini bisa mengindikasikan adanya outlier atau masalah dalam normalisasi data pada awal pelatihan. Sementara itu, pada grafik Accuracy, Train Accuracy meningkat dengan cepat hingga mendekati 1, menunjukkan bahwa model berhasil belajar dari data pelatihan.

Namun, *Validation Accuracy* mengalami *fluktuasi* besar, terutama pada *epoch* awal hingga pertengahan, sebelum akhirnya stabil mendekati akurasi pelatihan. *Fluktuasi* ini bisa menunjukkan adanya *overfitting* atau masalah dalam stabilitas proses pelatihan. Meskipun pada akhirnya model tampaknya mencapai akurasi yang tinggi, perbedaan tren antara pelatihan dan validasi menunjukkan

bahwa model mungkin terlalu menyesuaikan diri dengan data latih dan kurang mampu melakukan generalisasi terhadap data baru.

Demikian dengan model VGG16 setelah di evaluasi menggunakan classification report dan juga grafik loss dan accuracy akan di jelaskan seperti gambar berikut :

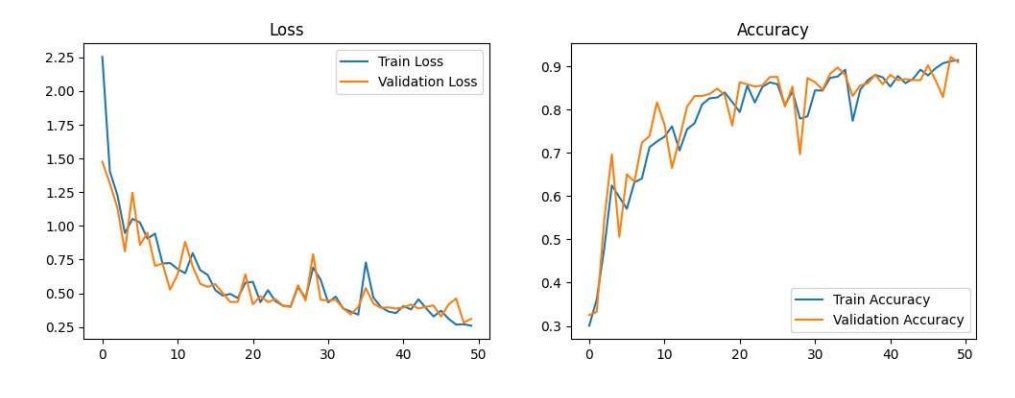
Classification Report:					
	precision	recall	f1-score	support	
Bacterial Blight Disease	0.73	0.86	0.79	57	
Blast Disease	0.98	0.98	0.98	129	
Brown Spot Disease	0.89	0.81	0.85	58	
False Smut Disease	0.79	0.69	0.73	32	
Healthy	0.96	0.96	0.96	133	
accuracy			0.91	409	
macro avg	0.87	0.86	0.86	409	
weighted avg	0.91	0.91	0.91	409	

Gambar 4.1.28 Classification report VGG16

Hasil Classification Report dari model VGG16 menunjukkan bahwa model memiliki akurasi keseluruhan sebesar 91%, dengan nilai precision, recall, dan f1-score yang cukup baik di sebagian besar kelas. Blast Disease dan Healthy memiliki performa terbaik dengan precision dan recall masing-masing 0.98 dan 0.96, menunjukkan model dapat mengenali kedua kelas ini dengan sangat baik. Bacterial Blight Disease memiliki recall yang tinggi (0.86), tetapi precision yang lebih rendah (0.73), menandakan bahwa model terkadang salah mengklasifikasikan kategori lain sebagai penyakit ini.

Brown Spot Disease memiliki precision 0.89 dan recall 0.81, menunjukkan performa yang cukup baik meskipun ada sedikit kesalahan dalam

mendeteksi kelas ini. False Smut Disease memiliki performa yang paling lemah dengan recall 0.69 dan f1-score 0.73, menandakan bahwa model sering gagal mengenali penyakit ini dengan baik. Nilai macro average sebesar 0.87 precision dan 0.86 recall menunjukkan bahwa model cukup seimbang dalam mengenali setiap kelas, sementara weighted average sebesar 0.91 menunjukkan bahwa kelas dengan lebih banyak sampel mendominasi performa keseluruhan model. Secara umum, model VGG16 menunjukkan kinerja yang baik dalam mendeteksi penyakit tanaman padi, meskipun ada beberapa kelemahan terutama dalam mengenali False Smut Disease.



Gambar 4.1.29 Grafik VGG16

Grafik Loss dan Accuracy dari model VGG16 menunjukkan proses pelatihan yang stabil dengan peningkatan performa seiring waktu. Pada grafik Loss, baik train loss maupun validation loss mengalami penurunan secara konsisten, menunjukkan bahwa model semakin baik dalam meminimalkan kesalahan prediksi. Pada awal pelatihan, loss cukup tinggi, tetapi dengan meningkatnya jumlah epoch, nilai loss turun dan akhirnya mendekati nilai minimum yang stabil. Grafik Accuracy menunjukkan peningkatan akurasi yang

signifikan di awal pelatihan, dengan *train accuracy* dan *validation accuracy* yang terus meningkat hingga mencapai sekitar 90%.

Perbedaan antara *train accuracy* dan *validation accuracy* relatif kecil, menunjukkan bahwa model tidak mengalami *overfitting* yang signifikan. Meskipun terdapat sedikit fluktuasi pada *validation loss* dan *accuracy*, tren keseluruhan menunjukkan bahwa model telah berhasil belajar dengan baik dan dapat melakukan klasifikasi dengan cukup akurat pada data validasi.

4.2 Pembahasan

4.2.1 Analisis Perbandingan Model

Hasil penelitian menunjukkan bahwa model ResNet50 menunjukkan kinerja yang lebih baik daripada VGG16, dengan akurasi pengujian sebesar 94.13% dibandingkan dengan 90.95% pada VGG16. Beberapa faktor mendukung hasil ini adalah sebagai berikut:

- Berdasarkan kedalaman arsitektur ResNet50 memiliki lebih banyak lapisan daripada VGG16, yang memungkinkan model ini mengekstrak fitur yang lebih kompleks dan mendalam.
- Adanya Residual Connections yang merupakan keunggulan besar ResNet50 karena membantu mengatasi masalah vanishing gradient, yang memungkinkan model untuk belajar dengan lebih efisien.
- 3. Generalization Power Berdasarkan hasil confusion matrix, model
 ResNet50 memiliki kemampuan generalisasi yang lebih baik

daripada VGG16, seperti yang ditunjukkan oleh jumlah kesalahan yang lebih sedikit dalam klasifikasi kelas tertentu.

4.2.2 Analisis Kesalahan (Error Analysis)

Hasil dari *confusion matrix* yang beberapa kelas masih mengalami kesalahan klasifikasi yang cukup signifikan. Kelas *false smut disease* memiliki tingkat kesalahan tertinggi, sering kali di klasifikasikan sebagai kelas lain. Ada beberapa kemungkinan yang menjadi penyebab kesalahan ini antara lain:

- Terdapat kemiripan visual false smut disease memiliki pola bercak yang mirip dengan brown spot disease dan blast disease, sehingga model mengalami kesulitan dalam membedakannya.
- Adanya ketidakseimbangan data jika jumlah sampel untuk kelas false smut disease lebih sedikit dibandingkan dengan kelas lainnya, model cenderung lebih sulit untuk mengenali pola kelas tersebut.
- Penambahan variasi dalam dataset dengan factor pencahayaan atau sudut pengambilan gambar yang mungkin dapat berkontribusi terhadap kesalahan klasifikasi.

4.2.3 Interpretasi Hasil

Berdasarkan hasil pengujian yang telah dilakukan, perbandingan performa arsitektur VGG16 dan ResNet50 dalam klasifikasi multi-kelas pada penyakit tanaman padi berbasis *Convolutional Neural Network* (CNN) dapat dianalisis dari beberapa aspek utama, yaitu akurasi, *loss function*, kecepatan konvergensi, dan kompleksitas model.

1. Akurasi Model

Dari hasil evaluasi, model ResNet50 menunjukkan hasil akurasi yang lebih tinggi jika dibandingkan dengan VGG16. Hal ini mengindikasikan bahwa ResNet50 memiliki kemampuan generalisasi yang lebih baik dalam mengklasifikasikan penyakit tanaman padi.

2. Loss Function

Nilai *loss function* selama proses *training* dan validasi juga dapat digunakan untuk mengukur kinerja model. Hasil pengujian model ResNet50 menunjukkan nilai *loss* yang lebih rendah jika dibandingkan dengan VGG16 yang berarti bahwa model ini mampu meminimalkan kesalahan dalam klasifikasi penyakit tanaman padi. Nilai *loss* yang lebih rendah pada model ResNet50 menandakan bahwa model ini lebih stabil dalam proses *training* dan memiliki Tingkat *overfitting* yang lebih rendah jika dibandingkan dengan VGG16.

3. Kecepatan konvergensi

Dalam proses *training*, ResNet50 membutuhkan waktu yang lebih sedikit untuk mencapai performa optimal dibandingkan dengan VGG16. Hal ini disebabkan oleh mekanisme *residual learning* yang memungkinkan model belajar lebih cepat dan lebih efisien. Sebaliknya, VGG16 memerlukan lebih banyak *epoch* untuk mencapai tingkat akurasi yang optimal, yang menunjukkan bahwa model ini lebih lambat dalam memahami pola data dibandingkan dengan ResNet50.

4. Kompleksitas Model

Jika dilihat dari segi kompleksitas, VGG16 memiliki arsitektur yang lebih sederhana dengan layer konvolusi yang berulang, sedangkan ResNet50 yang memiliki struktur lebih dalam dengan adanya residual blocks. Walaupun ResNet50 lebih kompleks, penggunaan residual connections memungkinkan model ini lebih efisien dalam menangani jaringan yang dalam, sedangkan VGG16 rentan terhadap permasalahan degradasi performa pada jaringan yang mendalam.

Berdasarkan hasil evaluasi yang telah dilakukan, dapat disimpulkan bahwa arsitektur ResNet50 memiliki keunggulan dibandingkan dengan VGG16 dalam hal akurasi, *loss function*, waktu yang dibutuhkan model untuk belajar, dan efisiensi model. Dengan demikian, dalam kasus klasifikasi multi-kelas penyakit tanaman padi, arsitektur ResNet50 lebih direkomendasikan dibandingkan dengan VGG16 karena mampu memberikan performa yang lebih baik dan lebih stabil dalam proses klasifikasi.

BAB V

KESIMPULAN

5.1 Kesimpulan

Dari penelitian yang telah dilakukan dapat diambil kesimpulan yaitu:

- Berdasarkan kinerja dari kedua arsitektur yang diukur melalui nilai accuracy, precision, recall, dan f1-score maka didapatkan bahwa model arsitektur ResNet50 lebih unggul jika dibandingan dengan dengan model arsitektur VGG16. Model arsitektur ResNet50 mendapatkan nilai accuracy sebesar 94,13% dengan nilai precision, recall, dan f1-score masing masing 0.95, 0.94 dan 0.94. sedangkan model arsitektur VGG16 mendapatkan nilai accuracy sebesar 91,95%, dengan nilai precision, recall, dan f1-score masing masing 0.91. Keduanya efektif dalam mengidentifikasi berbagai penyakit tanaman padi termasuk Bacterial Blight, Blast Disease, Brown Spot, False Smut, dan tanaman sehat.
- 2. Berdasarkan metrik evaluasi, model ResNet50 terbukti lebih efektif dengan akurasi 94,13% dibandingkan dengan model VGG16 dengan akurasi sebesar 91,95%. Model ResNet50 juga menunjukkan performa yang sangat baik dalam hal *precision* dan *recall* untuk hamper semua kategori penyakit, terutama untuk *Blast disease* dengan *f1-score* 0,97 dan tanaman sehat dengan *f1-score* 0,98.
- 3. Hasil perbandingan melalui metrik evaluasi yaitu *accuracy*, *precision*, *recall*, dan *f1-score* pada model ResNet50 di dapatkan accuracy sebesar 94% *precision weighted average* sebesar 95%, *recall*, dan *f1-score* masing-masing memperoleh *weighted average* sebesar 94%, dengan waktu

pemrosesan membutuhkan waktu 38ms/step untuk evaluasi dan 7 – 8 detik untuk waktu rata – rata training per *epoch* menunjukkan kemampuan interfensi yang cepat Dimana ini penting untuk aplikasi praktis dilapangan. Berikutnya pada model VGG16 mendapatkan *accuracy* sebesar 91% begitu pula dengan *precision*, *recall*, dan *f1-score* mendapatkan *weighted average* sebesar 91% dengan waktu pemrosesan membutuhkan waktu 56ms/step untuk evaluasi dan 13 – 14 detik untuk waktu rata – rata training per *epoch*.

4. Hasil dari penelitian ini telah berhasil mengembangkan model deep learning yang efisien untuk mengelola penyakit pada tanaman padi. Model terbaik yaitu model ResNet50 mencapai akurasi 94,13% dengan *loss* hanya 0.2125 dan waktu pemrosesan 38ms/step, menjadikan Solusi yang sangat layak untuk implementasi praktis.

5.2 Saran

- Adapun saran yang diberikan kepada penelitian lebih lanjut yaitu diharapkan kedepannya mengembangkan model yang dapat mengidentifikasi tahap perkembangan penyakit yang kemungkinan interfensi yang lebih tepat waktu.
- Mampu meningkatkan kemampuan model untuk mendeteksi infeksi ganda pada tanaman yang sama.
- Memperbanyak dataset tambahan untuk penyakit dengan jumlah sampel rendah seperti False Smut Disease dan menambahkan varietas penyakit padi lainnya.

DAFTAR PUSTAKA

- Adiningsi, S., & Saputra, R. A. (n.d.). JIP (Jurnal Informatika Polinema)

 IDENTIFIKASI JENIS DAUN TANAMAN OBAT MENGGUNAKAN METODE

 CONVOLUTIONAL NEURAL NETWORK (CNN) DENGAN MODEL VGG16.
- Basha, N. K., Ananth, C., Muthukumaran, K., Sudhamsu, G., Mittal, V., & Gared, F. (2024). Mask region-based convolutional neural network and VGG-16 inspired brain tumor segmentation. *Scientific Reports*, 14(1). https://doi.org/10.1038/s41598-024-66554-4
- Bella Dwi Mardiana, Wahyu Budi Utomo, Ulfah Nur Oktaviana, Galih Wasis Wicaksono, & Agus Eko Minarno. (2023). Herbal Leaves Classification Based on Leaf Image Using CNN Architecture Model VGG16. *Jurnal RESTI (Rekayasa Sistem Dan Teknologi Informasi)*, 7(1), 20–26. https://doi.org/10.29207/resti.v7i1.4550
- Cambay, V. Y., Barua, P. D., Hafeez Baig, A., Dogan, S., Baygin, M., Tuncer, T., & Acharya, U. R. (2024). Automated Detection of Gastrointestinal Diseases Using Resnet50*-Based Explainable Deep Feature Engineering Model with Endoscopy Images. *Sensors*, 24(23). https://doi.org/10.3390/s24237710
- Chen, Y., Wang, L., Ding, B., Shi, J., Wen, T., Huang, J., & Ye, Y. (2024). Automated Alzheimer's disease classification using deep learning models with Soft-NMS and improved ResNet50 integration. *Journal of Radiation Research and Applied Sciences*, 17(1), 100782. https://doi.org/10.1016/j.jrras.2023.100782
- Deng, C., Han, D., Feng, M., Lv, Z., & Li, D. (2022). Differential diagnostic value of the ResNet50, random forest, and DS ensemble models for papillary thyroid carcinoma and other thyroid nodules. *Journal of International Medical Research*, 50(4). https://doi.org/10.1177/03000605221094276
- Dhankhar, P. (n.d.). ResNet-50 and VGG-16 for recognizing Facial Emotions. International Journal of Innovations in Engineering and Technology. https://doi.org/10.21172/ijiet.134.18
- Elpeltagy, M., & Sallam, H. (2021a). Automatic prediction of COVID- 19 from chest images using modified ResNet50. *Multimedia Tools and Applications*, 80(17), 26451–26463. https://doi.org/10.1007/s11042-021-10783-6

- Elpeltagy, M., & Sallam, H. (2021b). Automatic prediction of COVID- 19 from chest images using modified ResNet50. *Multimedia Tools and Applications*, 80(17), 26451–26463. https://doi.org/10.1007/s11042-021-10783-6
- Habib Hawari, F., Fadillah, F., Rifqi Alviandi, M., & Arifin, T. (2022). KLASIFIKASI PENYAKIT PADI MENGGUNAKAN ALGORITMA CNN (CONVOLUTIONAL NEURAL NETWORK). *JURNAL RESPONSIF*, *4*(2), 184–189. https://ejurnal.ars.ac.id/index.php/jti
- Handayani, V. W., Yudianto, A., Mieke Sylvia, M. A. R., Rulaningtyas, R., & Caesarardhi, M. R. S. (2024). Classification of Indonesian adult forensic gender using cephalometric radiography with VGG16 and VGG19: a Preliminary research. Acta Odontologica Scandinavica, 83, 308–316. https://doi.org/10.2340/aos.v83.40476
- Kualitas Buah Salak dengan Transfer Learning Arsitektur VGG, K., & Luthfiarta, A. (2021). VGG16 Transfer Learning Architecture for Salak Fruit Quality Classification. *Jurnal Informatika Dan Teknologi Informasi*, 18(1), 37–48. https://doi.org/10.31515/telematika.v18i1.4025
- Li, Y., Gao, P., Luo, Y., Luo, X., Xu, C., Chen, J., Zhang, Y., Lin, G., & Xu, W. (2024).

 Automatic Detection and Classification of Natural Weld Defects Using Alternating

 Magneto-Optical Imaging and ResNet50. Sensors, 24(23).

 https://doi.org/10.3390/s24237649
- Mannepalli, P. K., Pathre, A., Chhabra, G., Ujjainkar, P. A., & Wanjari, S. (2024). Diagnosis of bacterial leaf blight, leaf smut, and brown spot in rice leafs using VGG16. *Procedia Computer Science*, 235, 193–200. https://doi.org/10.1016/j.procs.2024.04.022
- Memon, M. S., Qabulio, M., Kumar, P., Soomro, A. K., & Memon, S. (2024a). Identification of Leaf Diseases of Different Crops using modified ResNet50. *The Asian Bulletin of Big Data Management*, 4(02). https://doi.org/10.62019/abbdm.v4i02.166
- Memon, M. S., Qabulio, M., Kumar, P., Soomro, A. K., & Memon, S. (2024b). Identification of Leaf Diseases of Different Crops using modified ResNet50. *The Asian Bulletin of Big Data Management*, 4(02). https://doi.org/10.62019/abbdm.v4i02.166

- Mudzakir, I., & Arifin, T. (2022). Klasifikasi Penggunaan Masker dengan Convolutional Neural Network Menggunakan Arsitektur MobileNetv2. *EXPERT: Jurnal Manajemen Sistem Informasi Dan Teknologi*, 12(1), 76. https://doi.org/10.36448/expert.v12i1.2466
- Murimi, M. M. (n.d.). *IDENTIFICATION OF MAIZE LEAF DISEASES USING SUPPORT VECTOR MACHINE AND CONVOLUTIONAL NEURAL NETWORKS ALEXNET AND RESNET50*.
- Pamungkas, W. G., Wardhana, M. I. P., Sari, Z., & Azhar, Y. (2023). Leaf Image Identification: CNN with EfficientNet-B0 and ResNet-50 Used to Classified Corn Disease. *Jurnal RESTI (Rekayasa Sistem Dan Teknologi Informasi)*, 7(2), 326–333. https://doi.org/10.29207/resti.v7i2.4736
- Rizki, A. M., & Marina, N. (2019). KLASIFIKASI KERUSAKAN BANGUNAN SEKOLAH MENGGUNAKAN METODE CONVOLUTIONAL NEURAL NETWORK DENGAN PRE-TRAINED MODEL VGG-16. *Jurnal Ilmiah Teknologi Dan Rekayasa*, 24(3), 197–206. https://doi.org/10.35760/tr.2019.v24i3.2396
- Sarker, I. H. (2021). Deep Learning: A Comprehensive Overview on Techniques, Taxonomy, Applications and Research Directions. In SN Computer Science (Vol. 2, Issue 6). Springer. https://doi.org/10.1007/s42979-021-00815-1
- Swain, S., & Tripathy, A. K. (2024). Automatic detection of potholes using VGG-16 pre-trained network and Convolutional Neural Network. *Heliyon*, 10(10). https://doi.org/10.1016/j.heliyon.2024.e30957
- Tamara, W., Khair, H., Informasi, S., & Kaputama Binjai, S. (2024). Jurnal JISIILKOM (Jurnal Inovasi Sistem Informasi & Ilmu Komputer) Penerapan Metode Case Based Reasoning Mendiagnosa Penyakit Tanaman Padi. In *Jurnal JISIILKOM* (Vol. 2, Issue 2). Online.
- Udayananda, G. K. V. L., Shyalika, C., & Kumara, P. P. N. V. (2022). Rice plant disease diagnosing using machine learning techniques: a comprehensive review. In SN Applied Sciences (Vol. 4, Issue 11). Springer Nature. https://doi.org/10.1007/s42452-022-05194-7

- Wan, J., Li, B., Wang, K., Teng, X., Wang, T., & Mao, B. (2024). An Improved ResNet50 for Environment Image Classification. *Procedia Computer Science*, 242, 1000–1007. https://doi.org/10.1016/j.procs.2024.08.246
- Weny Indah Kusumawati, & Adisaputra Zidha Noorizki. (2023). Perbandingan Performa Algoritma VGG16 Dan VGG19 Melalui Metode CNN Untuk Klasifikasi Varietas Beras. *Journal of Computer, Electronic, and Telecommunication*, 4(2). https://doi.org/10.52435/complete.v4i2.387
- Windiawan, R., Suharso, A., & Artikel, S. (n.d.). *Identifikasi Penyakit pada Daun Kopi Menggunakan Metode Deep Learning VGG16 INFO ARTIKEL ABSTRAK*. https://doi.org/10.35891/explorit
- Xu, H., Yu, Y., Chang, J., Hu, X., Tian, Z., & Li, O. (2024). Precision lung cancer screening from CT scans using a VGG16-based convolutional neural network. Frontiers in Oncology, 14. https://doi.org/10.3389/fonc.2024.1424546

LAMPIRAN

Source Code

ResNet50

```
import os
import numpy as np
import matplotlib.pyplot as plt
import seaborn as sns
import cv2
from tensorflow import keras
from sklearn.model selection import train test split
from sklearn.preprocessing import LabelEncoder
from sklearn.metrics import confusion matrix, classification report
from tensorflow.keras.preprocessing.image import ImageDataGenerator
from keras.utils import to categorical
from keras.models import Sequential
from keras.layers import Dense, Flatten, Dropout, GlobalAveragePooling2D
from keras.applications import ResNet50
from keras.callbacks import EarlyStopping, ReduceLROnPlateau
#import path gambar
image path = r"C:\Users\Lenovo\Downloads\Rice Diseases\Rice Diseases"
categories = ["Bacterial Blight Disease", "Blast Disease", "Brown Spot
Disease", "False Smut Disease", "Healthy"]
def load images (image path, categories):
    img size = (128, 128)
    images = []
    labels = []
    #iterasi kategori dan pengecekan data
    for category in categories:
        category_path = os.path.join(image_path, category)
        # mengecek kategori apakah ada atau tidak
        if not os.path.exists(category path):
            print(f"Path not found: {category path}")
            continue
        #membaca dan memproses gambar
        for filename in os.listdir(category path):
            if filename.endswith(".jpg") or filename.endswith(".jpeg") or
filename.endswith(".png"):
                img path = os.path.join(category path, filename)
                img = cv2.imread(img path)
                img = cv2.cvtColor(img, cv2.COLOR BGR2RGB)
                img = cv2.resize(img, img size)
                images.append(img)
                labels.append(category)
    #konversi dari numpy ke Array
    return np.array(images), np.array(labels)
```

```
#menampilkan Jumlah data
images, labels = load images(image path, categories)
print(len(images))
print(len(labels))
#menampilkan 9 gambar acak dari datasets
def display sample images (images, labels, class names):
    plt.figure(figsize=(10, 10))
    for i in range(9):
        idx = np.random.randint(len(images))
        plt.subplot(3, 3, i + 1)
        plt.imshow(images[idx])
        plt.title("Pred: " + class names[labels[idx]])
        plt.axis('off')
    plt.show()
#Label encoding dan One-hot encoding
le = LabelEncoder()
labels_encoded = le.fit_transform(labels)
labels_encoded = to_categorical(labels_encoded)
#Normalisasi Gambar
images = images / 255.0
#Menampilkan gambar dan mendapatkan nama kelas
class names = le.classes
display_sample_images(images, labels_encoded.argmax(axis=1), class_names)
X train, X test, y train, y test = train test split(
    images, labels encoded, test size=0.2, random state=42)
# Data Augmentation
datagen = ImageDataGenerator(
    rotation_range=40, width_shift_range=0.2,
    height shift range=0.2, shear range=0.2, zoom range=0.2,
    horizontal flip=True, fill mode='nearest'
)
datagen.fit(X train)
resnet base = ResNet50(weights='imagenet', include top=False,
input shape=(128, 128, 3))
model = Sequential()
model.add(resnet base)
model.add(GlobalAveragePooling2D())
model.add(Dense(512, activation='relu'))
model.add(Dropout(0.5))
model.add(Dense(256, activation='relu'))
model.add(Dropout(0.3))
model.add(Dense(len(categories), activation='softmax'))
model.compile(optimizer='adam', loss='categorical crossentropy',
metrics=['accuracy'])
```

```
# Model Training with callbacks
early stopping = EarlyStopping(monitor='val loss', patience=10,
restore best weights=True)
reduce lr = ReduceLROnPlateau(monitor='val loss', factor=0.2, patience=5,
min 1r=0.00001)
history = model.fit(datagen.flow(X train, y train, batch size=32),
                    validation data=(X test, y test),
                    epochs=50)
                     callbacks=[early_stopping, reduce_lr])
# Evaluate Model
test loss, test accuracy = model.evaluate(X test, y test)
print(f'Test Accuracy: {test_accuracy * 100:.2f}%')
# Generate predictions
y pred = model.predict(X test)
y pred classes = np.argmax(y pred, axis=1)
y_true = np.argmax(y_test, axis=1)
# Confusion Matrix
conf_matrix = confusion_matrix(y_true, y_pred_classes)
plt.figure(figsize=(8, 6))
sns.heatmap(conf matrix, annot=True, fmt='d', cmap='Greens',
            xticklabels=class names, yticklabels=class names)
plt.xlabel('Predicted')
plt.ylabel('Actual')
plt.title('Confusion Matrix')
plt.show()
# Classification Report
class report = classification_report(y_true, y_pred_classes,
target names=class names)
print('Classification Report:')
print(class report)
plt.figure(figsize=(12, 4))
plt.subplot(1, 2, 1)
plt.plot(history.history['loss'], label='Train Loss')
plt.plot(history.history['val loss'], label='Validation Loss')
plt.legend()
plt.title('Loss')
plt.subplot(1, 2, 2)
plt.plot(history.history['accuracy'], label='Train Accuracy')
plt.plot(history.history['val accuracy'], label='Validation Accuracy')
plt.legend()
plt.title('Accuracy')
plt.show()
```

VGG16

```
import os
import numpy as np
import matplotlib.pyplot as plt
import seaborn as sns
import cv2
from tensorflow import keras
from sklearn.model selection import train test split
from sklearn.preprocessing import LabelEncoder
from sklearn.metrics import confusion matrix, classification report
{\tt from\ tensorflow.keras.preprocessing.image\ import\ ImageDataGenerator}
from keras.utils import to categorical
from keras.models import Sequential
from keras.layers import Dense, Flatten, Dropout, GlobalAveragePooling2D
from keras.applications import ResNet50
from keras.callbacks import EarlyStopping, ReduceLROnPlateau
#import path gambar
image path = r"C:\Users\Lenovo\Downloads\Rice Diseases\Rice Diseases"
categories = ["Bacterial Blight Disease", "Blast Disease", "Brown Spot
Disease", "False Smut Disease", "Healthy"]
def load images (image path, categories):
    img size = (128, 128)
    images = []
    labels = []
    #iterasi kategori dan pengecekan data
    for category in categories:
        category path = os.path.join(image path, category)
        # mengecek kategori apakah ada atau tidak
        if not os.path.exists(category path):
            print(f"Path not found: {category path}")
            continue
        #membaca dan memproses gambar
        for filename in os.listdir(category_path):
            if filename.endswith(".jpg") or filename.endswith(".jpeg") or
filename.endswith(".png"):
                img path = os.path.join(category path, filename)
                img = cv2.imread(img path)
                img = cv2.cvtColor(img, cv2.COLOR BGR2RGB)
                img = cv2.resize(img, img size)
                images.append(img)
                labels.append(category)
    #konversi dari numpy ke Array
    return np.array(images), np.array(labels)
#menampilkan Jumlah data
images, labels = load images(image path, categories)
print(len(images))
print(len(labels))
```

```
#menampilkan 9 gambar acak dari datasets
def display sample images (images, labels, class names):
    plt.figure(figsize=(10, 10))
    for i in range(9):
        idx = np.random.randint(len(images))
        plt.subplot(3, 3, i + 1)
        plt.imshow(images[idx])
        plt.title("Pred: " + class names[labels[idx]])
        plt.axis('off')
    plt.show()
#Label encoding dan One-hot encoding
le = LabelEncoder()
labels_encoded = le.fit_transform(labels)
labels_encoded = to_categorical(labels_encoded)
#Normalisasi Gambar
images = images / 255.0
#Menampilkan gambar dan mendapatkan nama kelas
class names = le.classes
display sample images(images, labels encoded.argmax(axis=1), class names)
X_train, X_test, y_train, y_test = train_test_split(
    images, labels encoded, test size=0.2, random state=42)
# Data Augmentation
datagen = ImageDataGenerator(
    rotation_range=40, width_shift_range=0.2,
    height_shift_range=0.2, shear_range=0.2, zoom_range=0.2,
    horizontal flip=True, fill mode='nearest'
)
datagen.fit(X train)
vgg base = VGG16(weights='imagenet', include top=False, input shape=(128,
128, 3))
model = Sequential()
model.add(vgg base)
model.add(GlobalAveragePooling2D())
model.add(Dense(512, activation='relu'))
model.add(Dropout(0.5))
model.add(Dense(len(categories), activation='softmax'))
model.compile(optimizer='adam', loss='categorical_crossentropy',
metrics=['accuracy'])
# Model Training with callbacks
early stopping = EarlyStopping(monitor='val loss', patience=10,
restore_best_weights=True)
reduce_lr = ReduceLROnPlateau(monitor='val_loss', factor=0.2, patience=5,
min lr=0.00001)
history = model.fit(datagen.flow(X train, y train, batch size=32),
                    validation_data=(X_test, y_test),
                    epochs=50)
#
                     callbacks=[early stopping, reduce lr])
```

```
# Evaluate Model
test_loss, test_accuracy = model.evaluate(X_test, y_test)
print(f'Test Accuracy: {test accuracy * 100:.2f}%')
# Generate predictions
y pred = model.predict(X test)
y_pred_classes = np.argmax(y_pred, axis=1)
y_true = np.argmax(y_test, axis=1)
# Confusion Matrix
conf_matrix = confusion_matrix(y_true, y_pred_classes)
plt.figure(figsize=(8, 6))
sns.heatmap(conf matrix, annot=True, fmt='d', cmap='Greens',
            xticklabels=class_names, yticklabels=class_names)
plt.xlabel('Predicted')
plt.ylabel('Actual')
plt.title('Confusion Matrix')
plt.show()
# Classification Report
class_report = classification_report(y_true, y_pred_classes,
target names=class names)
print('Classification Report:')
print(class_report)
plt.figure(figsize=(12, 4))
plt.subplot(1, 2, 1)
plt.plot(history.history['loss'], label='Train Loss')
plt.plot(history.history['val loss'], label='Validation Loss')
plt.legend()
plt.title('Loss')
plt.subplot(1, 2, 2)
plt.plot(history.history['accuracy'], label='Train Accuracy')
plt.plot(history.history['val accuracy'], label='Validation Accuracy')
plt.legend()
plt.title('Accuracy')
plt.show()
```

SK Pembimbing Skripsi



MAJELIS PENDIDIKAN TINGGI PENELITIAN & PENGEMBANGAN PIMPINAN PUSAT MUHAMMADIYAH

UNIVERSITAS MUHAMMADIYAH SUMATERA UTARA FAKULTAS ILMU KOMPUTER DAN TEKNOLOGI INFORMASI

UMSU Terakreditasi A Berdasarkan Keputusan Badan Akreditasi Nasional Perguruan Tinggi No. 89/SK/BAN-PT/Akred/PT/III/2019
Pusat Administrasi: Jalan Mukhtar Basri No. 3 Medan 20238 Telp. (061) 6622400 - 56224557 Fax. (061) 6625474 - 6631003

PENETAPAN DOSEN PEMBIMBING PROPOSAL/SKRIPSI MAHASISWA NOMOR: 939/II.3-AU/UMSU-09/F/2024

Assalamu'alaikum Warahmatullahi Wabarakatuh

Dekan Fakultas Ilmu Komputer dan Teknologi Informasi Universitas Muhammadiyah Sumatera Utara, berdasarkan Persetujuan permohonan judul penelitian Proposal / Skripsi dari Ketua / Sekretaris.

Program Studi : Teknologi Informasi Pada tanggal : 04 Desember 2024

Dengan ini menetapkan Dosen Pembimbing Proposal / Skripsi Mahasiswa.

Nama : Krisna Aditya
NPM : 2109020048
Semester : VII (Tujuh)
Program studi : Teknologi Informasi

Judul Proposal / Skripsi : Analisis Perbandingan Performa Arsitektur VGG16 Dan

RESNET50 Dalam Klasifikasi Multi-Kelas Pada Penyakit Tanaman Padi Berbasis Convolutional Neural Network (CNN)

Dosen Pembimbing : Mhd. Basri, S.Si.,M.Kom.

Dengan demikian di izinkan menulis Proposal / Skripsi dengan ketentuan

- Penulisan berpedoman pada buku panduan penulisan Proposal / Skripsi Fakultas Ilmu Komputer dan Teknologi Informasi UMSU
- Pelaksanaan Sidang Skripsi harus berjarak 3 bulan setelah dikeluarkannya Surat Penetapan Dosen Pembimbing Skripsi.
- Proyek Proposal / Skripsi dinyatakan "BATAL" bila tidak selesai sebelum Masa Kadaluarsa tanggal: 04 Desember 2025
- 4. Revisi judul......

Wassalamu'alaikum Warahmatullahi Wabarakatuh.

Ditetapkan di : Medan

Pada Tanggal : 03 Jumadil Akhir 1446 H

04 Desember 2024 M



Dekan

De

Cc. File



Bimbingan Proposal



MAJELIS PENDIDIKAN TINGGI PENELITIAN & PENGEMBANGAN PIMPINAN PUSAT MUHAMMADIYAH

UNIVERSITAS MUHAMMADIYAH SUMATERA UTARA FAKULTAS ILMU KOMPUTER DAN TEKNOLOGI INFORMASI

UMSU Terakreditasi A Berdasarkan Keputusan Badan Akreditasi Nasional Perguruan Tinggi No. 89/SK/BAN-PT/Akred/PT/III/2019 umsumedan

Berita Acara Pembimbingan Proposal

Nama Mahasiswa NPM

: Krisna Aditya : 2109020048

Program Studi : Teknologi Informasi Konsentrasi

Nama Dosen Pembimbing

: Deep Learning : Mhd. Basri, S.Si., M.Kom. Judul Penelitian : Analisis Perbandingan Performa Arsitektur Vgg16 Dan Resnet50 Dalam Klasifikasi Multi-Kelas Pada Penyakit Tanaman Padi Berbasis Convolutional Neural

Bas I, Parballis Later Gelatang, typian Jan ant	THE
NP-1	1 1
Bab II , pernytest kajim fuerare, bennuc Penelin toidalah	7
took (), Johnsman projector prenetions	#
uem Spac Son typo, om dafrar Austra	The state of the s
Proposal	The
	Bab II , Pernytet kajim puerates, benne Remelin tordahulu took III , Johnstean progedur prenetitum tiem Gine San typo , om daftar puirates I Proporal

Medan,

Diketahui oleh:

Ketua Program Studi Teknologi Informasi

Disetujui oleh:

Dosen Pembimbing

(Fatma Sari Hutagalung, S.Kom., M.Kom)

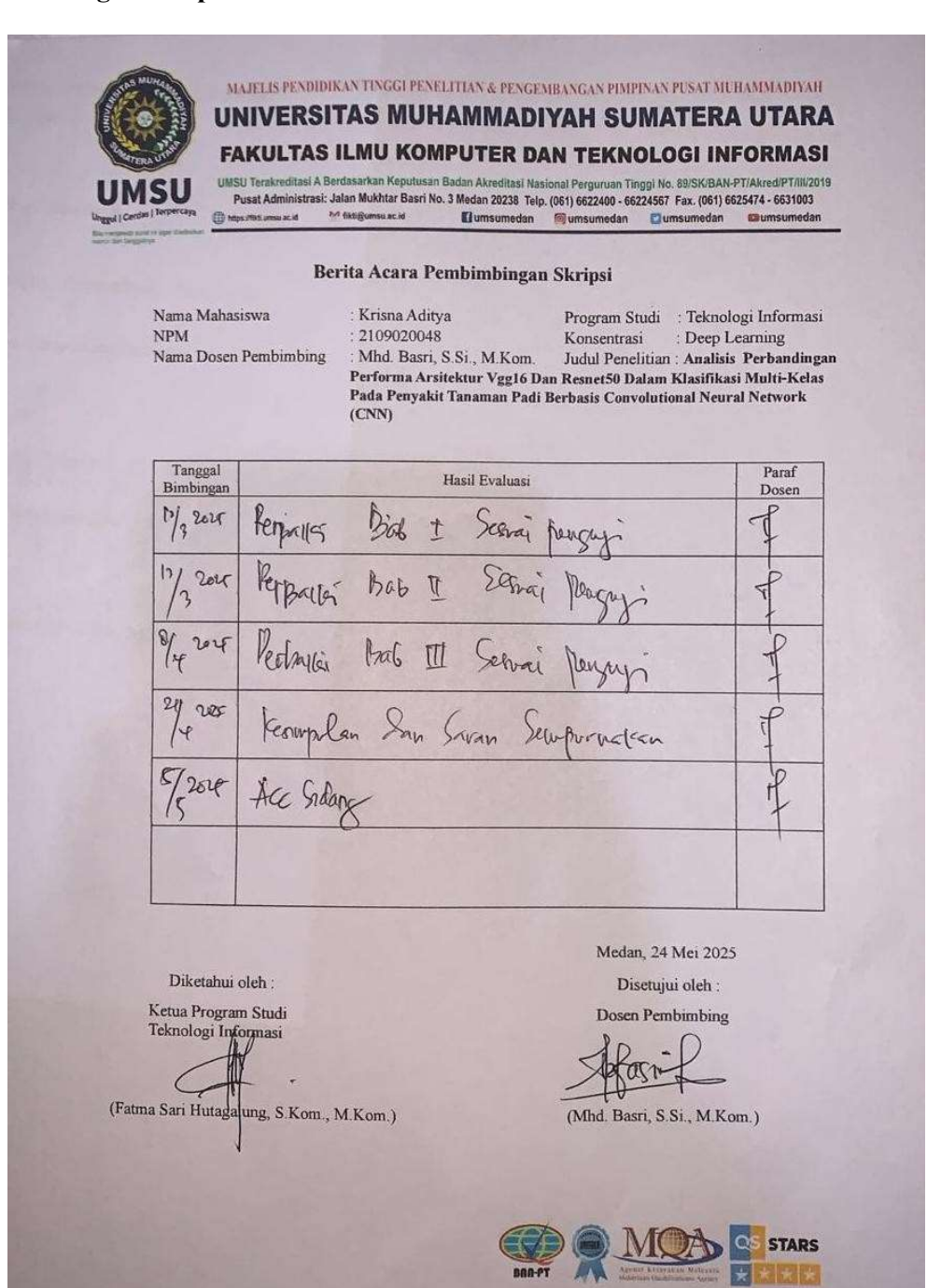
(Mhd. Basri, S.Si., M.Kom)







Bimbingan Skripsi





LETTER OF ACCEPTANCE (LoA)

Dear Mr/Ms/Br

Krisna Aditya, Mhd Basri

In

Place

We hereby inform you that the manuscript with the following details has been declared accepted for publication in the Tsabit Journal of Computer Science, ISSN: 3062-8504 (Online), Volume 1 Number 2 December 2025 Edition.

Title Comparative Analysis Of The Performance Of VGC ResNet50 Architectures In Multi-Class Classification Plant Diseases Based On Convolutional Neural N (CNN)	
Author	Krisna Aditya, Mhd Basri
Correspondent Email	mhd.basri@umsu.ac.id

Thus we have created this certificate so that it can be used as necessary.



Medan, 09 September 2025

Editor in Chief

Oris Krianto Sulaiman, S.T., M.Kom.



TURSKRIPSIKRISNA_ADITYA2109020048-1759937129913

ORIGINALITY REPORT			
19% SIMILARITY INDEX	15% INTERNET SOURCES	9% PUBLICATIONS	6% STUDENT PAPERS
PRIMARY SOURCES			
1 reposito Internet Source	ry.umsu.ac.id		1%
elibrary. Internet Source	unikom.ac.id		1%
3 kupangk Internet Source	kota.bps.go.id		1%
4 dicoding			1%
jip.poline	ema.ac.id		<1%
6 ejurnal.s	seminar-id.com		<1%
7 Submitte Sumater Student Paper	a Utara	as Muhammadi	yah <1%
8 reposito Internet Source	ry.adzkia.ac.id		<1%
9 123dok. Internet Source			<1%
10 docplaye			<1%
doaj.org			<1%

"Automatic Detection and Classification of Natural Weld Defects Using Alternating Magneto-Optical Imaging and ResNet50", Sensors, 2024

Publication

20	medicaljournalssweden.se Internet Source	<1%
21	Muhammad Ulfi, Muhammad Ibadurrahman Arrasyid Supriyanto, Chalsi Mala Sari, Setio Ardy Nuswantoro. "Identifikasi Penyakit pada Tanaman Padi Menggunakan Convolutional Neural Network (CNN)", Jurnal Sains Komputer dan Teknologi Informasi, 2025 Publication	<1%
22	ejournal.stmikgici.ac.id Internet Source	<1%
23	www.coursehero.com Internet Source	<1%
24	Submitted to Telkom University Student Paper	<1%
25	Submitted to Universitas Gunadarma Student Paper	<1%
26	digilib.uns.ac.id Internet Source	<1%
27	teknologipintar.org Internet Source	<1%
28	www.frontiersin.org Internet Source	<1%
29	www.scilit.net Internet Source	<1%

30	Rayhan Dzikri Fauzi, Muhammad Fachrie. "SISTEM PREDIKSI TINGKAT KEMATANGAN BUAH TOMAT MENGGUANAKAN ARSITEKTUR VGG16", Djtechno: Jurnal Teknologi Informasi, 2024 Publication	<1%
31	Submitted to STT PLN Student Paper	<1%
32	eprints.walisongo.ac.id Internet Source	<1%
33	jurnal.iaii.or.id Internet Source	<1%
34	www.researchgate.net Internet Source	<1%
35	Anda Putra. "Klasifikasi Penyakit Daun Cabai Dengan Metode CNN Untuk Deteksi Awal.", Jurnal Profesi Insinyur Universitas Lampung, 2025 Publication	<1%
36	Chengwen Deng, Dongyan Han, Ming Feng, Zhongwei Lv, Dan Li. "Differential diagnostic value of the ResNet50, random forest, and DS ensemble models for papillary thyroid carcinoma and other thyroid nodules", Journal of International Medical Research, 2022 Publication	<1%
37	jutif.if.unsoed.ac.id Internet Source	<1%
38	pemrogramanmatlab.com Internet Source	<1%

39	repository.its.ac.id Internet Source	<1%
40	www.nature.com Internet Source	<1%
41	jurnal.unw.ac.id Internet Source	<1%
42	Arimbi Puspitasari, Diana Sava Salsabila, Dwi Roliawati. "Penerapan ResNet-50 CNN untuk Optimalisasi Klasifikasi pada Data Fashion", INDONESIAN JOURNAL ON DATA SCIENCE, 2025 Publication	<1%
43	Submitted to Binus University International Student Paper	<1%
	Ryan Ali Mas'ud, Junta Zeniarja. "Optimasi Convolutional Neural Networks untuk Deteksi Kanker Payudara menggunakan Arsitektur DenseNet", Edumatic: Jurnal Pendidikan Informatika, 2024	<1%
	Erdina Turnip, Anief Fauzan Rozi. "Analisis Perbandingan Arsitektur Convolutional Neural Network pada Klasifikasi Jenis Penyakit Daun Padi", ProTekInfo(Pengembangan Riset dan Observasi Teknik Informatika), 2024 Publication	<1%
	Ines Heidiani Ikasari, Perani Rosyani, Resti Amalia. "Klasifikasi Jenis Buah Menggunakan Metode CNN", RIGGS: Journal of Artificial Intelligence and Digital Business, 2025 Publication	<1%

Submitted to Universitas Jember

	Jiacheng Wan, Bingchan Li, Kun Wang, Xixi Teng, Tao Wang, Bo Mao. "An Improved ResNet50 for Environment Image Classification", Procedia Computer Science, 2024 Publication	<1%
	Submitted to The Islamia University Bahawalpur Student Paper	<1%
	Dhyanna Lisa Rahmadona Putri, Supatman . "KLASIFIKASI CITRA JENIS HIJAB MENGGUNAKAN DENSENET-121", Jurnal Informatika dan Teknik Elektro Terapan, 2025 Publication	<1%
-51	kc.umn.ac.id Internet Source machinelearning.mipa.ugm.ac.id	<1%
_ <u>52</u>	ojs.uma.ac.id	<1%
54	repository.ittelkom-pwt.ac.id	<1%
55	e-journal.uajy.ac.id Internet Source	<1%
— 56—	santika.upnjatim.ac.id	<1%
57	Submitted to University of Muhammadiyah	<1%
	Malang Student Paper	<1%

58	ejournal.unisbablitar.ac.id Internet Source	<1%
59	journal.unublitar.ac.id Internet Source	<1%
60	repository.nurulfikri.ac.id Internet Source	<1%
61	repository.uin-suska.ac.id Internet Source	<1%
	Muhammad Khatama Insani, Dwi Budi Santoso. "Perbandingan Kinerja Model Pre- Trained CNN (VGG16, RESNET, dan INCEPTIONV3) untuk Aplikasi Pengenalan Wajah pada Sistem Absensi Karyawan", Jurnal Indonesia: Manajemen Informatika dan Komunikasi, 2024 Publication	<1%
	Muhammad Kholilurrahman, Wahyul Amien Syafei, Oky Dwi Nurhayati. "Klasifikasi Image Processing Pada Citra Warna Daun Padi Menggunakan Metode Convolutional Neural Network", Jurnal Ilmiah Sains, 2023	<1%
	SATRIA SATRIA, Sumijan, Billy Hendrik. "Implementasi Convolutional Neural Netowork Untuk Klasifikasi Citra KTP-EI", Jurnal CoSciTech (Computer Science and Information Technology), 2024 Publication	<1%
-65	Submitted to Syiah Kuala University	
Ξ	Student Paper Submitted to Universitas Muslim Indonesia	<1%
<u> 66 </u>	Student Paper	<1%

67	jurnal.stkippgritulungagung.ac.id Internet Source	<1%
68	Galih Hermawan. "Klasifikasi Pengemudi Terganggu Berdasarkan Citra Menggunakan ResNet-50", Jurnal Informatika Komputer, Bisnis dan Manajemen, 2024 Publication	<1%
69	Tommy Sarawan, Kusrini Kusrini. "KLASIFIKASI PENGENALAN WAJAH SISWA PADA SISTEM KEHADIRAN DENGAN MENGGUNAKAN METODE CONVOLUTIONAL NEURAL NETWORK (CNN)", Djtechno: Jurnal Teknologi Informasi, 2025 Publication	<1%
70	text-id.123dok.com Internet Source	<1%
71	Submitted to Konsorsium Turnitin Relawan Jurnal Indonesia Student Paper	<1%
72	Submitted to Padjadjaran University Student Paper	<1%
73	Submitted to Universitas Muhammadiyah Makassar Student Paper	<1%
74	Veysel Yusuf Cambay, Prabal Datta Barua, Abdul Hafeez Baig, Sengul Dogan, Mehmet Baygin, Turker Tuncer, U. R. Acharya. "Automated Detection of Gastrointestinal Diseases Using Resnet50*-Based Explainable Deep Feature Engineering Model with Endoscopy Images", Sensors, 2024 Publication	<1%

<mark>75</mark>	ejurnal.ars.ac.id Internet Source	<1%
76	jurnal.umk.ac.id Internet Source	<1%
77	simantik.panca-sakti.ac.id Internet Source	<1%
78	Meddy Nurpratama, Nana Supriatna Sonjaya, Agus Yudianto, Ismail Agung. "Studi Orientasi Pasar dan Inovasi Produk Terhadap Kinerja Pemasaran UMKM di Kabupaten Indramayu", Jurnal EMT KITA, 2024	<1%
79	ejournal.nusamandiri.ac.id Internet Source	<1%
80	jurnal.upnyk.ac.id Internet Source	<1%
81	ojs.unud.ac.id Internet Source	<1%
82	pubmed.ncbi.nlm.nih.gov Internet Source	<1%
83	Muh Ikbal Fauzi. "KLASIFIKASI IMAGE TINGGI TANAMAN JAGUNG DENGAN MENGGUNAKAN ALGORITMA CONVOLUTION NEURAL NETWORK (CNN)"KLASIFIKASI IMAGE TINGGI TANAMAN JAGUNG DENGAN MENGGUNAKAN ALGORITMA CONVOLUTION NEURAL NETWORK (CNN)", Jurnal Informatika dan Teknik Elektro Terapan, 2024 Publication	<1%
84	blog.csdn.net Internet Source	<1%

85	Anasthasya Averina, Helen Hadi, Joko Siswantoro. "Analisis Sentimen Multi-Kelas Untuk Film Berbasis Teks Ulasan Menggunakan Model Regresi Logistik", Teknika, 2022	<1%
86	docs.google.com Internet Source	<1%
87	jurnal.atmaluhur.ac.id Internet Source	<1%
88	mlflow.org Internet Source	<1%
89	www.mdpi.com Internet Source	<1%
	Muhammad Albani, Rahmat Rizal Andhi. "Klasifikasi Uang Rupiah Kertas Tidak Layak Edar Menggunakan CNN Xception Transfer Learning Berbasis Website", INOVTEK Polbeng - Seri Informatika, 2023 Publication	<1%
	Sarifah Agustiani, Yoseph Tajul Arifin, Agus Junaidi, Siti Khotimatul Wildah, Ali Mustopa. "Klasifikasi Penyakit Daun Padi menggunakan Random Forest dan Color Histogram", Jurnal Komputasi, 2022	<1%
	Siti Hajar, Murinto Murinto, Anton Yudhana. "Identifikasi Jenis Daun untuk Ecoprint Mengunakan Metode Convolutional Neural Network", Jurnal Sains dan Informatika, 2025 Publication	<1%

93	Yefta Tolla, Kusrini. "Deteksi Stres dan Depresi Unggahan Media Sosial dengan Machine Learning", JURNAL FASILKOM, 2025 Publication	<1%
94	ind.acousticbiotech.com Internet Source	<1%
95	journal.arteii.or.id Internet Source	<1%
96	jurnal.itscience.org Internet Source	<1%
97	library.binus.ac.id Internet Source	<1%
98	repo.stimata.ac.id Internet Source	<1%
99	repositorio.unican.es Internet Source	<1%
100	repository.ibs.ac.id Internet Source	<1%
101	repository.trisakti.ac.id Internet Source	<1%
102	snhrp.unipasby.ac.id Internet Source	<1%
103	www.contohjurnal.net Internet Source	<1%
104	Dhini Septhya, Rahmaddeni, Susanti, Agustin. "Penerapan Algoritma Convolutional Neural Network Untuk Klasifikasi Penyakit Kanker Kulit", The Indonesian Journal of Computer Science, 2024 Publication	<1%



111	doku.pub Internet Source	<1%
112	ejournal.akakom.ac.id Internet Source	<1%
113	ejournal.unida.gontor.ac.id Internet Source	<1%
114	ejurnal.teknokrat.ac.id Internet Source	<1%
115	eprints.umsb.ac.id Internet Source	<1%
116	erlinasitumeang.wordpress.com Internet Source	<1%
117	idus.us.es Internet Source	<1%
118	journal.mahesacenter.org Internet Source	<1%
119	jurnal.goretanpena.com Internet Source	<1%
120	repositori.uma.ac.id Internet Source	<1%
121	repositori.usu.ac.id Internet Source	<1%
122	repository.radenintan.ac.id Internet Source	<1%
123	repository.uisi.ac.id Internet Source	<1%
124		

126

I Wayan Suardi. "Perbandingan Nilai Akurasi Analisa Sentiment Pada Kata Kunci Pemilu 2024", The Indonesian Journal of Computer Science, 2025

<1%

Publication

127 A

Alfitriana Riska, Purnawansyah, Herdianti Darwis, Wistiani Astuti. "Studi Perbandingan Kombinasi GMI, HSV, KNN, dan CNN pada Klasifikasi Daun Herbal", The Indonesian Journal of Computer Science, 2023

<1%

- Publication
- Lo Mei Ly Vebriyanti, Shantika Martha, Wirda Andani, Setyo Wira Rizki. "Analisis Kelayakan Kredit Menggunakan Classification Tree dengan Teknik Random Oversampling", Euler : Jurnal Ilmiah Matematika, Sains dan

<1%

Teknologi, 2024

129

Raihan Raihan, Cecep Nurul Alam, Wildan Budiawan Zulfikar. "Deteksi Pneumonia pada Citra Akhir X – Ray Dada Menggunakan Convolutional Neural Networks Berdasarkan Fitur Prewitt Operator", INTERNAL (Information System Journal), 2025 Publication

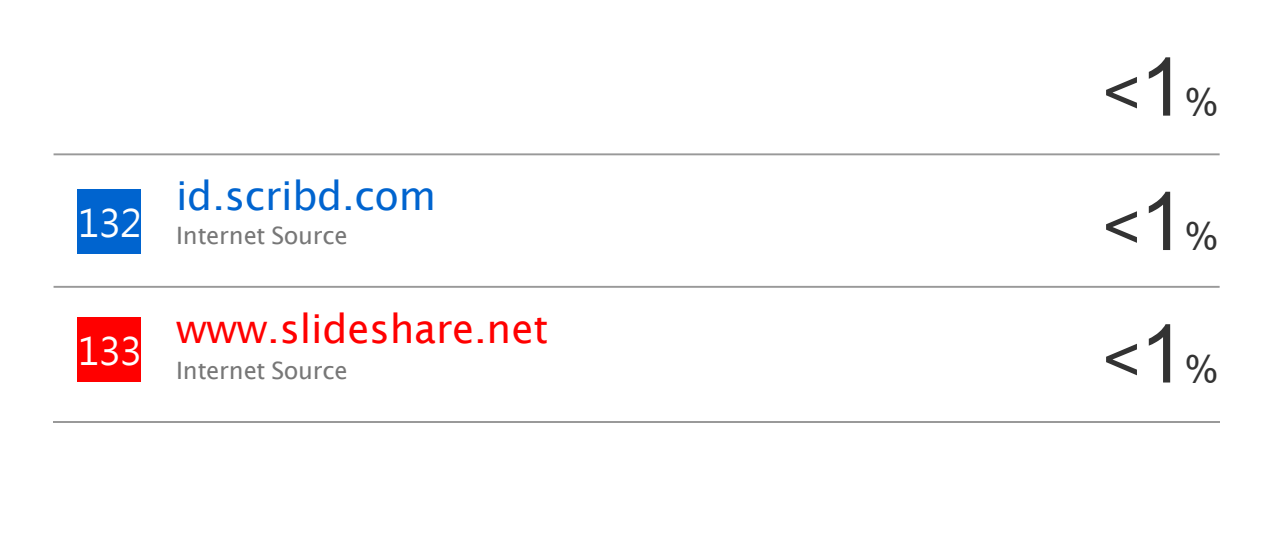
<1%

130

T. Mariprasath, Kumar Reddy Cheepati, Marco Rivera. "Practical Guide to Machine Learning, NLP, and Generative AI: Libraries, Algorithms, and Applications", River Publishers, 2024 Publication

<1%

131



Exclude quotes

On On Exclude matches

Off

Exclude bibliography